

ТИПОВЫЕ СТРОИТЕЛЬНЫЕ КОНСТРУКЦИИ, ИЗДЕЛИЯ  
И УЗЛЫ

СЕРИЯ 1.020-1/87

КОНСТРУКЦИИ КАРКАСА МЕЖВИДОВОГО ПРИМЕНЕНИЯ  
ДЛЯ МНОГОЗАЖЛХ ОБЩЕСТВЕННЫХ ЗДАНИЙ,  
ПРОИЗВОДСТВЕННЫХ И ВСПОМОГАТЕЛЬНЫХ ЗДАНИЙ  
ПРОМЫШЛЕННЫХ ПРЕДПРИЯТИЙ

ЗАПИСЬ 0-3

УКАЗАНИЯ ПО РАСЧЕТУ ПРОЧНОСТИ  
УСТОЙЧИВОСТИ И ДЕФОРМАТИВНОСТИ ЗДАНИЙ  
С ДИАФРАГМАМИ ЖЕСТКОСТИ

Зх.32826 л.1/70

ТИПОВЫЕ СТРОИТЕЛЬНЫЕ КОНСТРУКЦИИ, ИЗДЕЛИЯ  
И УЗЛЫ

СЕРИЯ 1.020-1/87

КОНСТРУКЦИИ КАРКАСА МЕЖВИДОВОГО ПРИМЕНЕНИЯ  
ДЛЯ МНОГОЭТАЖНЫХ ОБЩЕСТВЕННЫХ ЗДАНИЙ,  
ПРОИЗВОДСТВЕННЫХ И ВСПОМОГАТЕЛЬНЫХ ЗДАНИЙ  
ПРОМЫШЛЕННЫХ ПРЕДПРИЯТИЙ

ВЫПУСК 0-3

УКАЗАНИЯ ПО РАСЧЕТУ ПРОЧНОСТИ, УСТОЙЧИВОСТИ  
И ДЕФОРМАТИВНОСТИ ЗДАНИЙ С ДИАФРАГМАМИ  
ЖЕСТКОСТИ

РАЗРАБОТАНЫ

ЦНИИЭП ТОРГОВО-БЫТОВЫХ ЗДАНИЙ

И ТУРИСТСКИХ КОМПЛЕКСОВ

ДИРЕКТОР ИНСТИТУТА

НАЧАЛЬНИК ОТДЕЛА

ЗАМ.ДИРЕКТОРА

НАЧАЛЬНИК ОТДЕЛА

ГЛАВЕНГЕР ПРОЕКТА

в. николаев  
б. в. вильямс  
и. в. вильямс  
а. а. аланыч  
в. савранская  
с. в. савранская

УТВЕРЖДЕНЫ  
ГОССТРОЕМ СССР  
ПРОТОКОЛ от  
12.12.90 N 4-15

ЦНИИСК ИМ. КУЧЕРЕНКО В. А.

ДИРЕКТОР ИНСТИТУТА

ЗАВ.ОТДЕЛОМ

ЗАВ.ЛАБОРАТОРИИ

и. складнев  
в. сидоров  
р. матевосян

Вх. 32826 л.2

ОБОЗНАЧЕНИЕ ДОКУМЕНТА	НАИМЕНОВАНИЕ	СТР.	2
			ПОСЛЕДНЯЯ СТАНДАРТИЗИРОВАННАЯ ДАТА
I.020-1/87. 0-3 - 01ПЗ	Общие положения. Раздел 1	3	
I.020-1/87. 0-3 - 02ПЗ	Статический расчет здания. Раздел 2	7	
I.020-1/87. 0-3 - 03ПЗ	Проверки предельных состояний. Раздел 3	14	
I.020-1/87. 0-3 - 04ПЗ	Предварительный подбор диафрагм. Раздел 4	21	
I.020-1/87. 0-3 - 05ПЗ	Прочность сборных диафрагм. Раздел 5	24	
I.020-1/87. 0-3 - 06ПЗ	Расчет дисковых перекрытий. Раздел 6	61	
I.020-1/87. 0-3 - 07ПЗ	Автоматизированный метод расчета железобетонных стержневых систем. Раздел 7	64	
I.020-1/87. 0-3 - 08ПЗ	Ограничения температурных деформаций. Раздел 8	66	

БХ 328261.3

ЧАСТЬ 1: ВСТНОСИ	2
ГЛАВНЫЙ СПИСОК	БЕЛЫШИН
ГЛАВНЫЙ РЕДАКТОР	САЦ
ГИП	ВОДОЛЕСКА
ГАЛ	ИЛЬИНОВА
ЧРСЭС	ЧАЦ
РАЗРД	СИЧКОВ

СТАДИЯ	Лист	Листов
Р		1

СОДЕРЖАНИЕ

ЦНИИЭП

ФОРМАТ А4

ФОРМАТ А4

## I. ОБЩЕЕ ПОЛОЖЕНИЯ.

**I.I. Ва**с托ящие "Указания" включают методические рекомендации по определению усилий в элементах пространственных несущих систем жар-жасно-панельных зданий, проектируемых с применением сборных типовых железобетонных изделий серии I.020-I/87, доформаций здания, а также проверке прочности конструкций и их соединений.

"Указания" разработаны в соответствии со СНиП: 2.03.01-84 "Бетонные и железобетонные конструкции"; 2.01.07-85 "Нагрузки и воздействия"; 2.02.01-83 "Основания зданий и сооружений"; 2.01.07-85 "Нагрузки и воздействия" (дополнения раздела 10. Прогибы и перемещения.)

**I.2.** При выборе расчетных моделей и методов для зданий со связью каркасом серии I.020-I/87 допускается пренебречь стыков рамой с колоннами каркаса и не учитывать сопротивления, оказываемого рамой каркаса горизонтальным перемещениям. Пространственная неподвижность здания обеспечивается вертикальными дифрагмами жесткости.

**I.3. Типовые сборные диаграммы жесткости образуются путем заполнения каркаса сборки при диафрагменными панелями.**

В отдельных случаях могут применяться ноколичные железобетонные диафрагмы и ядра жесткости, а также диафрагмы жесткости в виде несущих железобетонных, кирпичных или каменных наружных или внутренних стен, а также комплексных конструкций, образованных путем заполнения сборного железобетонного каркаса кирпичными перегородками. В дальнейшем подобные конструкции будем сокращенно называть "нетицовые диафрагмы жесткости". Технико-экономическая целесообразность нетицовых диафрагм жесткости определяется известными ресурсами и индустриальной базой района строительства.

Bx. 32826 1. 1

сборного железобетонного каркаса кирпичными перегородками. В дальнейшем подобные конструкции будем сокращенно называть "кирпичные диафрагмы жесткости". Технико-экономическая целесообразность применения кирпичных диафрагм жесткости определяется местными ресурсами и индустриальной базой района строительства.

Вх. 32826 л. 4

нач.отд	всъесся	32
нхонтр	САЛЬЗИНА	Г.Р.
гахонст	ЩЩ	Г.П.
тланучс	ПАНЬШИН	Л.С.
гип	КОЛАДИЕВА	Л.С.
провер	НИКСНОРОВА	Л.С.
разраб	СИМОНОВ	С.С.

I.020-I/87. 0-3-01ПЗ

ОБЩИЕ ПОЛОЖЕНИЯ

РАЗДЕЛ 1

стадия	ФСТ	листов
Р	I	4
ЦНИИЭП		
ЭОРН	2-	
автострой		
желдор		
автостроиц		
желдорусл		

Как типовые, так и нетиповые диафрагмы могут иметь сложную в плане форму поперечного сечения открытого или замкнутого (так называемые "ядра жесткости") профиля.

I.4. Типовые и в большинстве случаев нетиповые диафрагмы жесткости являются составными конструкциями (рис. I), включаящими колонны каркаса и сборные, монолитные или кирпичные (каменные) стены. Эти элементы объединены связями (закладными изделиями, анкерами, перемычками и т.п.), которые обеспечивают их совместную работу. Достаточную несущую способность связей необходимо проверять расчетом.

Податливость связей оказывает влияние на распределение усилий между элементами диафрагм и на перемещения здания. Следует также учитывать податливость горизонтальных растворных швов сборных диафрагм жесткости, снижающих жесткость становых панелей.

I.5. Практически всегда значения внутренних усилий в конструкциях и полных перемещений несущей системы зависят от деформаций основания здания.

I.6. При проектировании зданий со связевым каркасом серии I.020-I/87 необходимо выполнить статические расчеты пространственной несущей системы и произвести проверки прочности и жесткости конструкций. В результате статических расчетов находят усилия в диафрагмах жесткости и связях при действии горизонтальных и вертикальных нагрузок, а также перемещения здания. По рассчитанным значениям усилий проверяют несущую способность конструктивных элементов и связей, а перемещения сопоставляют с допустимыми значениями.

I.7. При компоновке пространственной несущей системы зданий диафрагмы жесткости целесообразно размещать таким образом, чтобы обеспечивалась максимальная свобода объемно-планировочных решений - в огражденных лестничных клеток, лестнично-лифтовых узлов и т.п. Наиболее эффективны диафрагмы с развитым в плане поперечным сечением

Бх. 32826 л. 5

I.020-I/87. 0-3-ОПЗ

лист  
2

и ядра жесткости при переменной по высоте жесткости или с частичными обрывами в соответствии с характером изменения нагрузок.

**1.8.** Число диафрагм жесткости, устанавливаемых в одном температурном блоке, должно быть не менее трех. При этом геометрические оси диафрагм не должны пересекаться в одной точке. На рис.2 приведены примеры правильной (а) и неправильной (б) компоновки конструктивной схемы здания.

**1.9.** Существует принципиальная возможность проектирования зданий с конструктивными решениями, не предусмотренными типовыми монтажными схемами, в частности – зданий, в верхних этажах которых не установлены диафрагмы жесткости, и малоэтажных зданий без диафрагм жесткости. В этих случаях необходимо выполнить расчет прочности и жесткости каркаса и разработать при необходимости дополнительные изделия фундаментной несущей способности и деформативности указанных несущих систем на основе действующих нормативных документов. Встречает ряд загружений, особенно при назначении расчетных длин скатых элементов крыши. При проектировании таких зданий можно применять методы расчета, основанные на уточненных моделях и позволяющие учесть налинейное деформирование конструкций, а также соответствующее прогрессивное обесечение, разработанное в ЦНИИЭП торгово-бытовых зданий и туристских комплексов.

Основные положения методики представлены в документе 0713 настоящих "Указаний".

нр. подп.	подпись и дата
1	1984

Бх 32826 л. б

I.020-I/87. 0-3-003

л.с.7

3

6

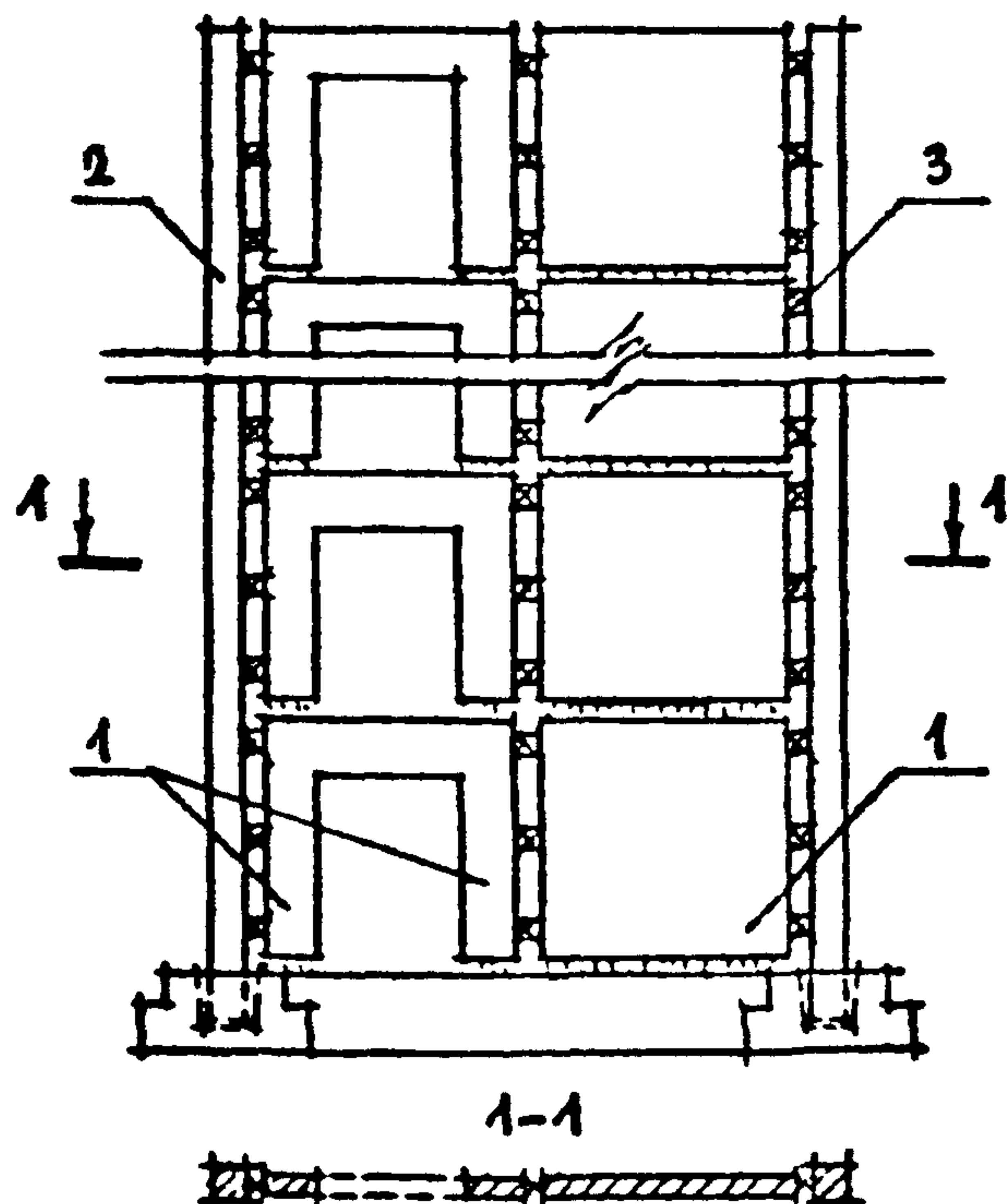


Рис. 1. Обобщенная конструктивная схема диафрагмы.

1 - СТЕНКИ ЖЕСТКОСТИ; 2 - ДИАФРАГМЕННЫЕ КОЛОННЫ КАРКАСА; 3 - ЗАКЛАДНЫЕ УЗЛЫ

ИМЯ И ПОЧАСТЬ ПОДПИСЬ И ДАТА	В.И.А.Н. 1984

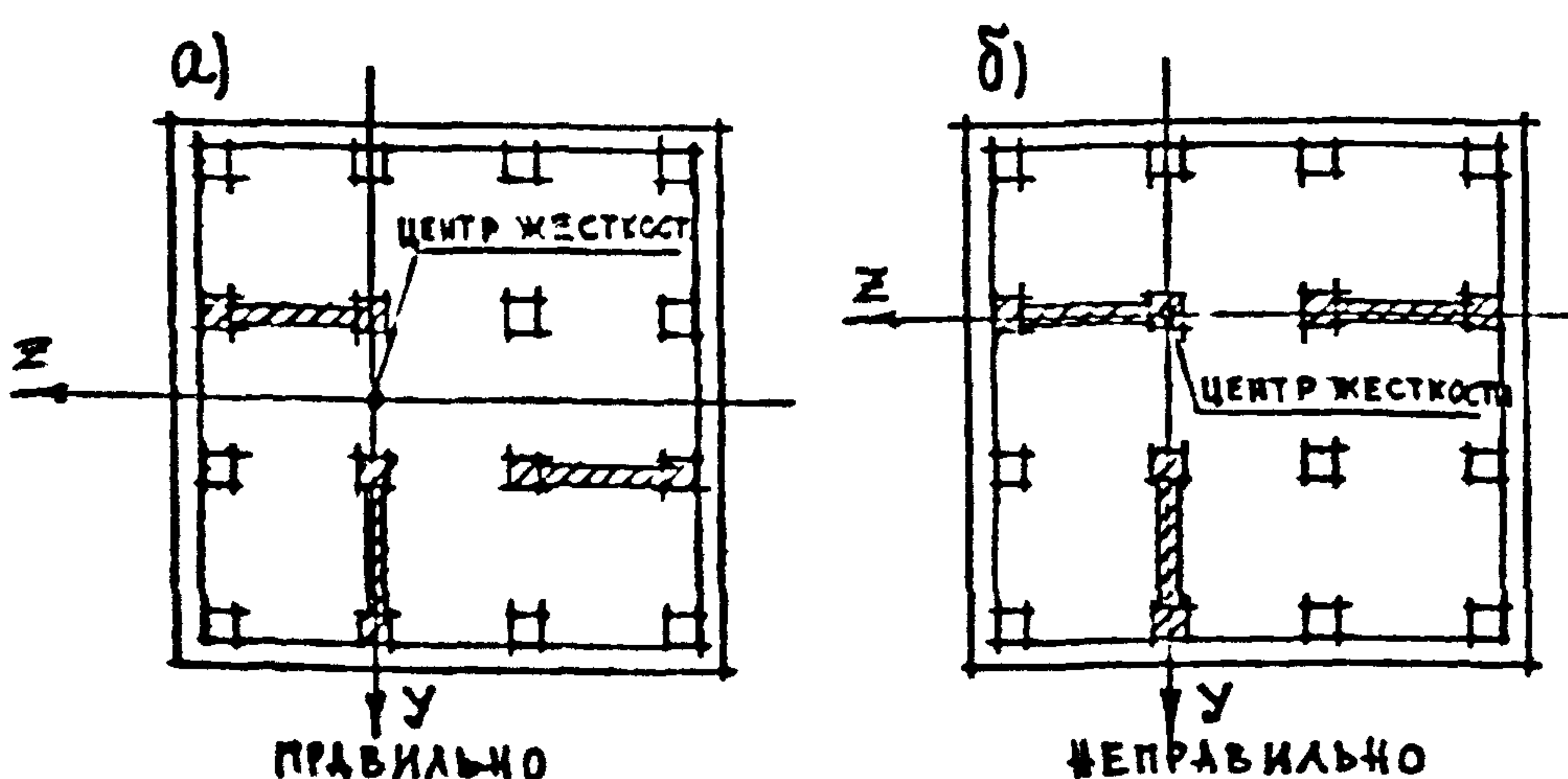


Рис. 2. Примеры правильной (а) и неправильной (б) компоновки конструктивной схемы здания

Бх. 32826 л/7

4.020-1|67. 0-3-01П3

Лист	4
------	---

## 2. СТАТИЧЕСКИЙ РАСЧЕТ ЗДАНИЯ.

2.1. Перечисленные в п.п. I.2, I.4, I.5 документа ОПЭЗ конструктивные особенности и факторы, влияющие на напряженно-деформированное состояние элементов несущей системы, можно учесть, применяя различные расчетные модели (в том числе - дискретные) и выполняя расчеты с помощью стандартных программ для ЭВМ, реализующих метод конечных элементов или другие универсальные методы строительной механики.

2.2. Структура настоящих "Указаний" ориентирована на преимущественное использование дискретно-континуальной расчетной модели здания, и даны рекомендации по подготовке исходных данных и проверке несущей способности конструктивных элементов. Данная модель, уступаяшая дискретным в общности, применительно к рассматриваемым конкретным задачам проектирования обеспечивает достаточную для практических целей точность при существенном сокращении объема исходной информации и трудоемкости инженерных расчетов. Статические расчеты детально описаны в технической литературе (Рекомендации по расчету каркасно-панельных общественных зданий с применением ЭВМ. - М.:Стройиздат, 1986; В.И.Лепский и др.-Полносборные конструкции общественных зданий. - М.: Стройиздат, 1986; П.Ф.Дроздов и др.-Проектирование и расчет многоэтажных гражданских зданий и их элементов. - М.:Стройиздат, 1986), в настоящих "Указаниях" приведены только принципиальные расчетные положения и дополнительные материалы, не находящие отражения в перечисленных источниках.

2.3. Статический расчет здания на основе дискретно-континуальной модели рекомендуется выполнять, используя программы для ЭВМ, разрабо-

Бх. Зд. 826/18

ПОДПИСЬ И ДАТА	И.020-И/87. 0-3-02ПЭ
Нач.отд. ВОЛЬЧЕНКО	
НКС-ПР САЦВИНА	
ГАУКСИТ	Ф.И.О.
ГАИАУЧНОСТИ	ПАНЬШИН
ГИП	КОДАЧЕВА
ПРОВЕР.	Ч.К.ВИАРДА
РАЗРАБ	СИМОНОВ
СТАТИЧЕСКИЙ РАСЧЕТ ЗДАНИЯ РАЗДЕЛ 2	СТАДИЯ
	МСТ
	Ч-СТОВ
	Р
	1
	7
	ПОДПИСЬ И.020-И/87 выполнена закончено и приостановлена ЦНИИЭП

танные с учетом специфических конструктивных особенностей типового связевого каркаса серии I.020-I/87. Алгоритм, реализованный в программе, позволяет учесть податливость стыков сборных элементов, продольный изгиб несущих конструкций, деформации основания.

2.4. Расчетная схема здания принимается в виде пространственной стержневой системы, состоящей из вертикальных элементов – столбов, в швах между которыми сосредоточены связи сдвига. При формировании расчетной схемы рекомендуется каждый конструктивный элемент – колонну, входящую в состав сборной диафрагмы жесткости, вертикальный ряд стен жесткости или пристенков стены с проемами – рассматривать как самостоятельный столб. Пример расчетной схемы представлен на рис.3.

Основными характеристиками столбов служат величины их осевых и изгибных жесткостей, при определении которых следует учитывать податливость горизонтальных растворных швов. Значения жесткостей типовых элементов каркаса можно принимать равными:

Элемент	осевая жесткость $T_c$	изгибная жесткость $T_{c\cdot M}^2$
Колонна сечением 400x400 мм	$5 \times 10^5$	$7 \times 10^3$
Участок стелки длиной 1 м	$3,8 \times 10^5$	$3,15 \times 10^4$

Связи сдвига, объединяющие столбы расчетной схемы, являются закладные изделия сборных железобетонных конструкций, надпроемные перекладки и др. элементы. Деформативные свойства связей сдвига характеризуются коэффициентами податливости, значения которых для соединения стелки с колонной составляют  $4,75 \times 10^{-5} \text{ м}^2/\text{тс}$ , а для соединения стелки со стелкой  $3 \times 10^{-5} \text{ м}^2/\text{тс}$ .

2.5. В общем случае необходимо учитывать действие на здание горизонтальных и вертикальных нагрузок.

Вх. 32826 л.9

I.020-I/87. 0-3-02ПЗ

Лист  
2

Горизонтальные (ветровые) нагрузки распределены по высоте здания неравномерно в соответствии с эпюрой ветрового давления (рис.4а). Расчетную эпюру без заметных погрешностей результатов можно представить трапецией (рис.4б), параметры которой равны:

$$\gamma = M_w (6 - 2\mu) / h^2 \quad (2.1)$$

$$\alpha = (4\mu - 6) / (6 - 2\mu) \quad (2.2)$$

$$\mu = Q_w h / M_w \quad (2.3)$$

где:  $M_w$ ;  $Q_w$  – значения соответственно момента и поперечной силы в уровне основания от ветровых нагрузок;

$h$  – высота здания.

Вертикальные нагрузки приложены к отдельным столбам, их значения включают собственный вес конструкций и временные нагрузки на перекрытиях. В большинстве случаев вертикальные нагрузки допускается принимать равномерно распределенными по высоте здания, считая их центральными для каждого столба.

2.6. В РАМКАХ ДАННОЙ МОДЕЛИ ВОЗМОЖЕН РАСЧЁТ здания с переменной по высоте жесткостью несущих конструкций, что для проектных решений на основе типовых изделий имеет место при обрыве части диафрагм на определенных уровнях (см. рис.5). Общий подход к формированию расчетной схемы здания и сбору нагрузок при этом сохраняется таким же, как в п.п. 2.4, 2.5 с включением дополнительной информации по участкам с различной жесткостью элементов. Аналогично выполняется расчет зданий, решенных в виде двух разновысотных объемов (рис.6).

2.7. Учет влияния деформируемого основания осуществляется при расчёте здания путем введения в расчетную схему фиктивного участка конечной длины (рис.7), для которого жесткости столбов и связей назначаются из условия равенства деформаций в начале фиктивного участка реальным деформациям фундаментов.

Бл. 328 к. 1/1

I.020-I/87. 0-3-0213

лист  
3

Типовое конструктивное решение фундаментов под диафрагмы исключает возможность взаимных сдвигов столбов, составляющих диафрагму, и на величины значений внутренних усилий в конструктивных элементах и перемещения здания оказывает влияние только крен фундамента. В этом случае рекомендуется связи сдвига в пределах фактического участка принять абсолютно жесткими и, задавшись его длиной, определить изгибную жесткость фактической диафрагмы, приравняв угол ее поворота крену фундамента, рассчитанному по формуле (10) обязательного приложения 2 СНиП 2.02.01-83. Для случая действия ветровой нагрузки значение крена следует принимать с коэффициентом условий работы 0,3 в соответствии с указанными разделами 10 СНиП 2.01.07-85.

ФИО РУКОВОДИТЕЛЯ:	
подпись и дата:	
н.п. подп.:	

Бх. 32826 л.11

1.020-1/87. 0-3-0013

лист  
4

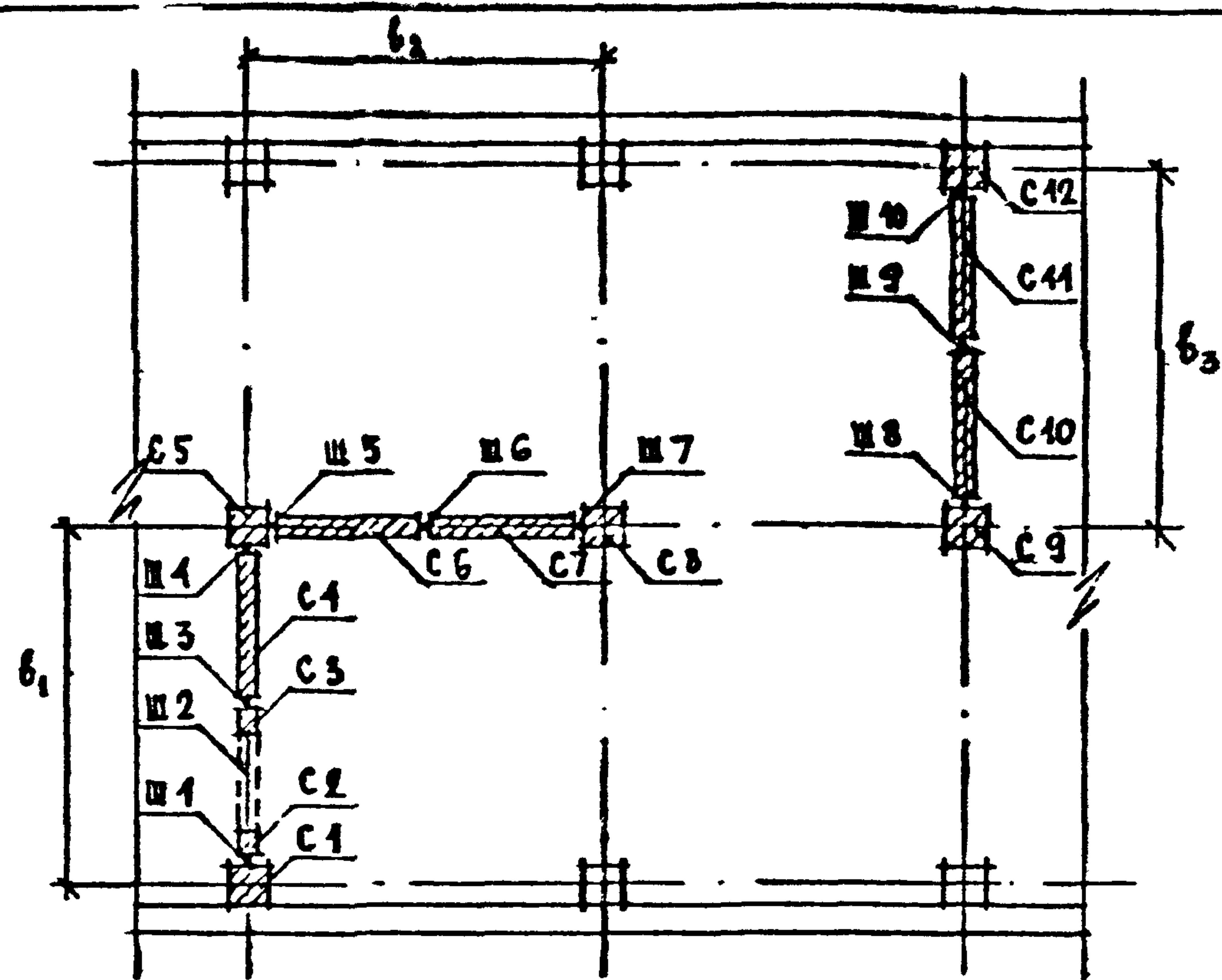


Рис. 3. РАСЧЕТНАЯ СХЕМА ЗДАНИЯ.  
C1-C12 - СТОЛБЫ РАСЧЕТНОЙ СХЕМЫ  
M1-M10 - ШВЫ РАСЧЕТНОЙ СХЕМЫ

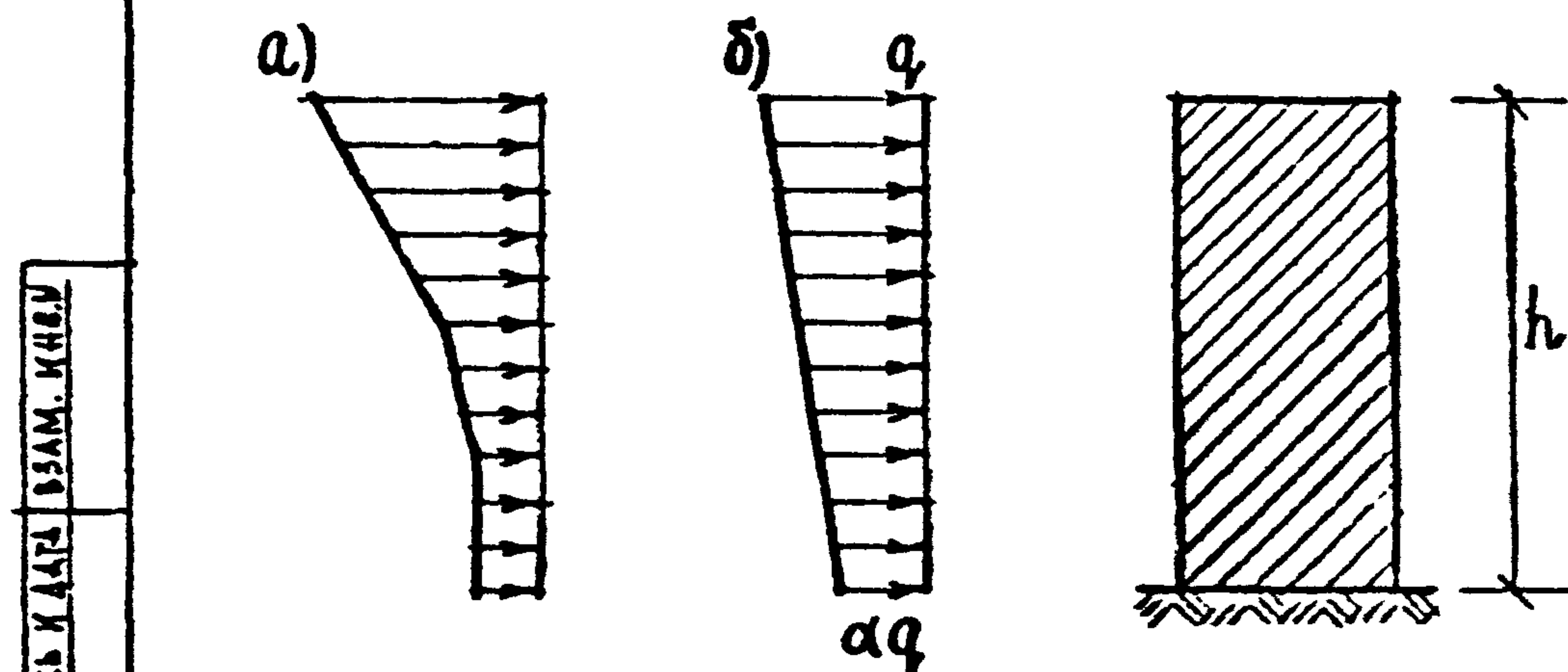


Рис. 4. ДЕЙСТВИТЕЛЬНАЯ (а) И РАСЧЕТНАЯ (б)  
ЗАПОРЫ ВЕТРОВЫХ НАГРУЗОК.

Вх. 32826 л. 12

1.020-4|87. 0-3 - 02п3

ДКС  
5

12

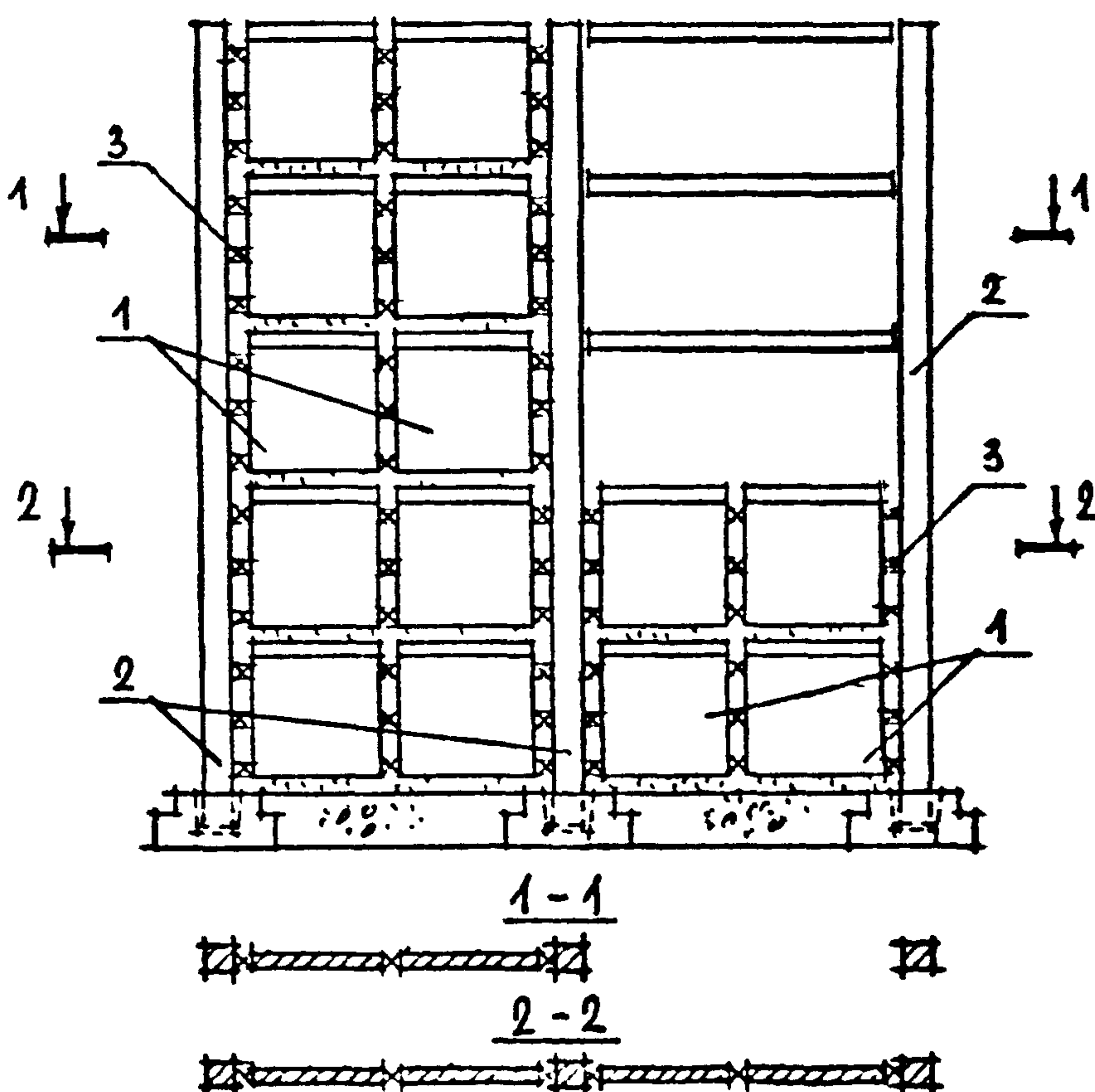


Рис. 5. Конструктивная схема диафрагмы переменной жесткости.  
1-стенки жесткости; 2-диафрагменные колонны; 3-закладные изделия

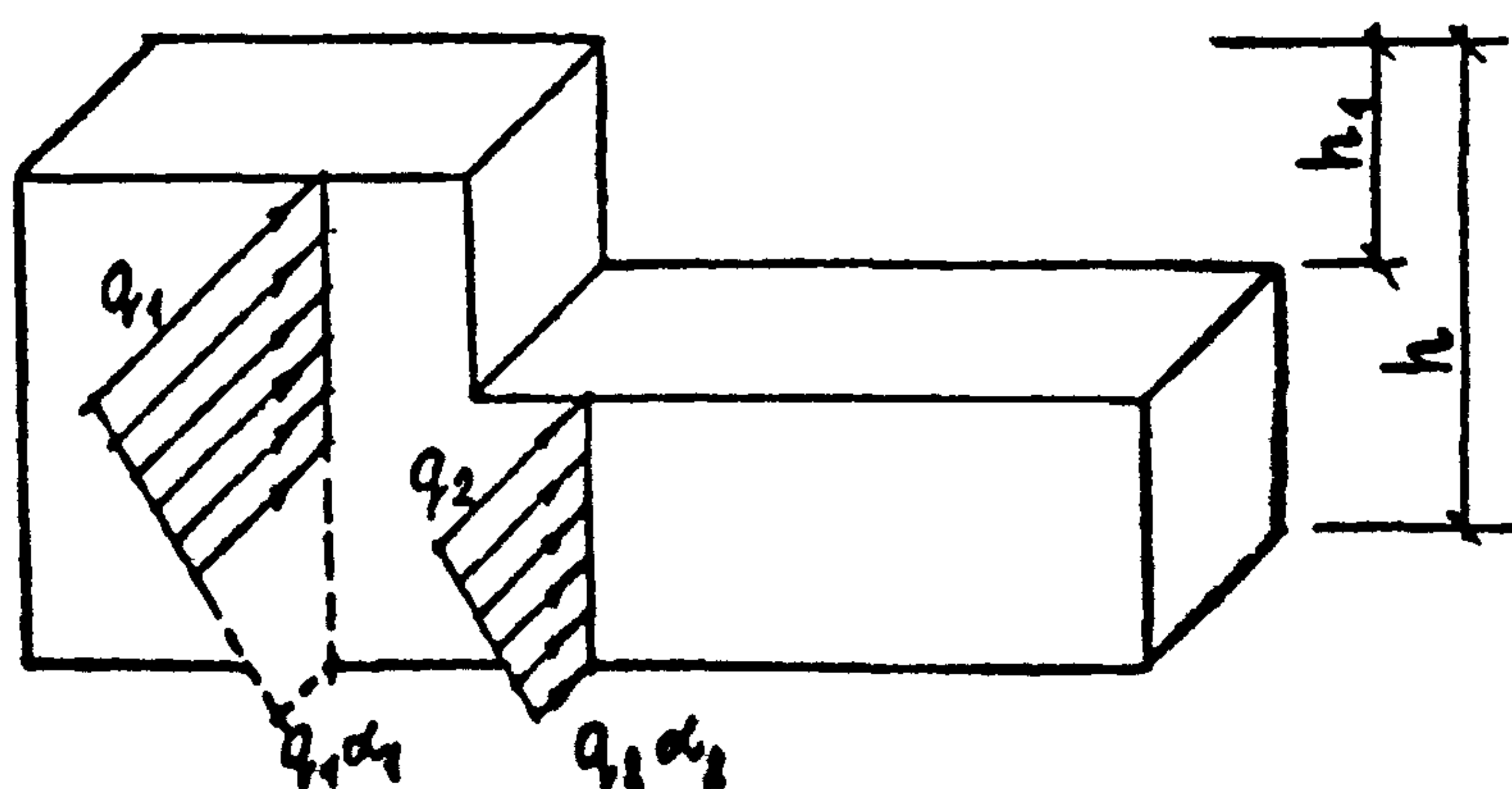


Рис. 6. Схема здания переменной высоты.  
Бз. 32826. л 13

1.020 - 1/07. 0-3-0213

ИМСТ

6

КНГ. НЕОЛИПСИХ АЛАН. ИМСТ

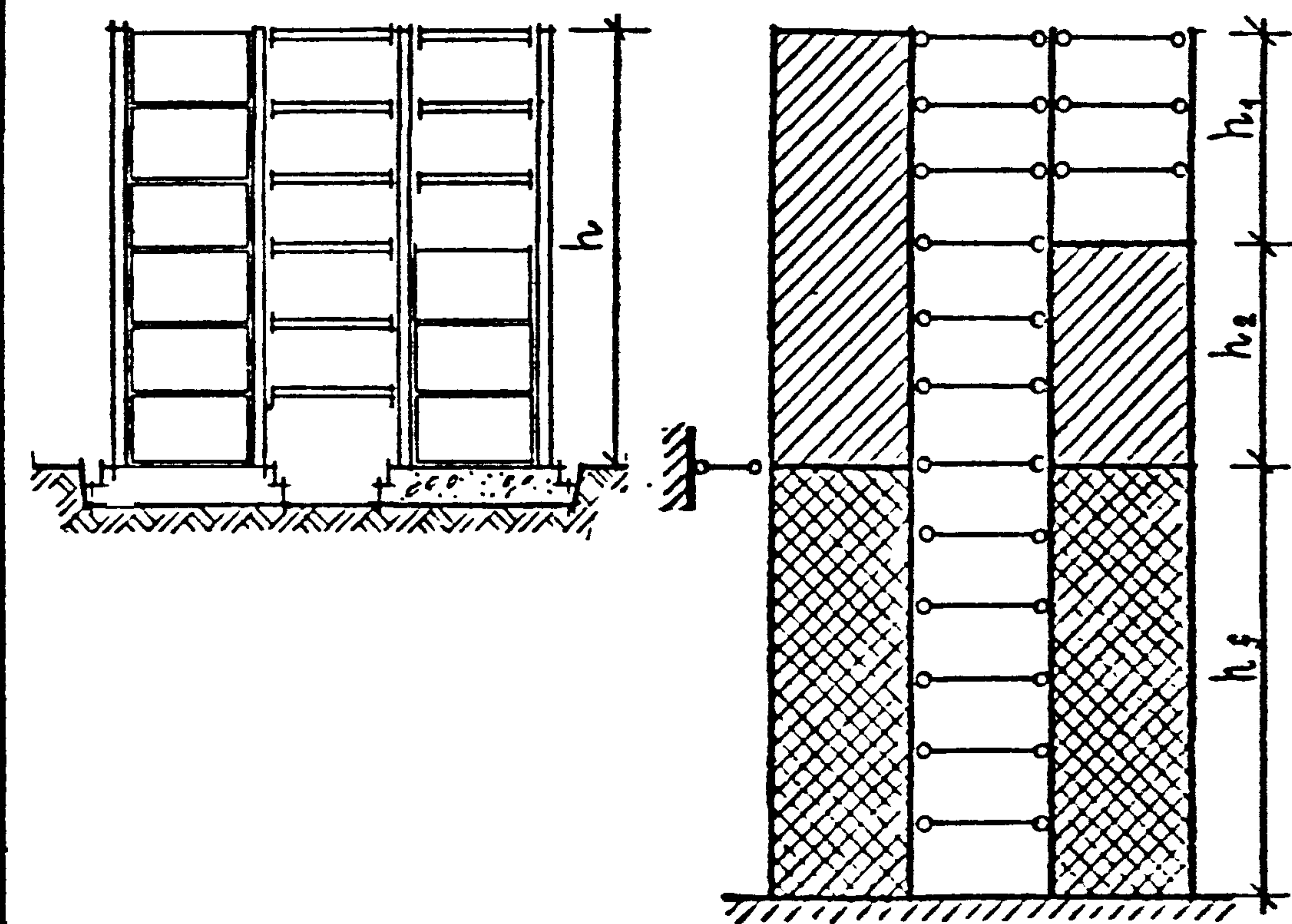


Рис. 7. РАСЧЕТНАЯ СХЕМА ЗДАНИЯ ПРИ УЧЕТЕ  
ПОДАТЛИВОСТИ ОСНОВАНИЯ.

ЧИСЛО ПОДАТЛИВОСТИ ОСНОВАНИЯ

Бх. 32826 л. 14

1.020-1/87. 0-3-02П3

Лист  
7

### **3. ПРОВЕРКИ ПРЕДЕЛЬНЫХ СОСТОЯНИЙ.**

**3.1.** После того, как в результате статических расчетов определены усилия в конструкциях и перемещения здания, необходимо проверить прочность элементов и жесткость несущей системы здания.

Проверки прочности выполняют для диафрагм по нормальным сечениям при внеконтренному сжатию и на сдвиг по поперечным силам, а также для закладных изделий и перемычек при действии сдвигавших усилий в вертикальных швах.

3.2. Прочность нормальных сечений при внецентреном сжатии проверяется для плоских двухколонных диафрагм, при этом в составе диафрагмы сложного поперечного сечения выделяются все возможные расчетные плоские диафрагмы. Так, для угловой диафрагмы на рис.3 прочность проверяется для двух расчетных плоских диафрагм, включаящих столбы С1 ... С5 и С5 ... С8 соответственно. В программах МЯЭВМ предусмотрено вычисление значений продольной силы и изгибающего момента для двухколонных диафрагм, необходимых для выполнения проверки прочности.

Кривизна корыtkовых сечений внецентренно сжатых диафрагм характеризуется графиком несущей способности (рис.8), параметрами которого служат значения:  $N_a$  – предельной продольной силы, воспринимаемой диафрагмой при центральном сжатии;  $N_b$ ,  $M_b$  – предельные продольная сила и изгибающий момент, соответствующие гранище между первым и вторым случаями eccentricенного сжатия;  $N_c$ ,  $M_c$  – предельная продольная сила, действующая с эксцентриситетом, равным расстоянию от оси диафрагмы до оси сжатой колонны, и соответствующий изгибающий момент.

Конфигурация расчетного грабляка несущей способности, представлен-

Bx 32826 A. 15

Сила и изгибающий момент, соответствующие гранище первого и второго случаев эксцентрического сжатия; $N_c$ , $M_c$ - предельная продольная сила, действующая с эксцентриситетом, равным расстоянию от оси диaphragмы до оси сжатой колонны, и соответствующий изгибающий момент.		
Конфигурация расчетного графика несущей способности, представлен-		
		<i>Bx 32826 л. 15</i>
наимен	сталь	<i>22</i>
мех.пр	санвильд	<i>52</i>
саженст	сац	<i>22/22</i>
карант	приемн	<i>45</i>
г.ж	кран, а/т	<i>15</i>
т.спец	авто	<i>15</i>
р.з.рас	симв.с	<i>15</i>
ПРОВЕРКА ПРЕДЕЛЬНЫХ СОСТОЯНИЙ РАЗДЕЛ 3		
сталь	лист	листов
<i>Р</i>	<i>I</i>	<i>2</i>
ЦНИИЭП		
		титано- алюминиево- магниево- титаново- композитов

ного на рис.8 сплошной линией, соответствует конструктивным решениям, в которых диафрагменная колонна не воспринимает растягивающих усилий – например, для сечений по обрезу фундамента при типовых узлах сопряжения колонны с фундаментом. Если узлы сопряжения диафрагменной колонны с фундаментом выполнены по индивидуальному проекту и могут передавать растягивающие усилия, несущая способность диафрагмы увеличивается, и график имеет конфигурацию, показанную на рис.8 пунктиром.

Прочность рассматриваемой плоской диафрагмы обеспечена, если точка расчетных усилий с координатами  $(N; K \cdot M)$ , где  $N$  и  $M$  – внутренние усилия в данной диафрагме, расположена внутри графика несущей способности (рис.8). Выполняя проверку прочности, значение изгибающего момента  $M$ , определенное в результате статического расчета здания, следует умножить на коэффициент условий работы  $K_1$ , если продольное усилие  $N$  соответствует диапазону  $N_a > N > N_b$ , или  $K_2$ , если продольное усилие  $N$  соответствует диапазону  $N_g > N > N_c$ .

Значения коэффициентов условий работы зависят от относительной высоты  $\beta$  диафрагмы, которая равна:

$$\beta = h / b \quad (3.1)$$

где:  $h$  – высота здания;

$b$  – высота поперечного сечения (для плоской диафрагмы) или длина контура поперечного сечения (для диафрагм сложной конфигурации).

Например, для показанной на рис.3 углковой диафрагмы  $b = b_1 + b_2$ , для плоской –  $b = b_3$ .

Коэффициенты условий работы рассчитывают по формулам:

$$K_1 = (\beta + 0,25) / (\beta - 0,25) \quad (3.2)$$

$$K_2 = I + (K_1 - I) (N - N_a) / (N_g - N_o) \quad (3.3)$$

Бх. 32826 л. 16

I.020-I/87. 0-3-03E3

МСТ  
2

Параметры графиков несущей способности типовых сборных диафрагм для сечения по обрезу фундамента без учета работы диафрагменной колонны на растяжение приведены в документе О5ПЗ.

При расчете плоских и пространственных многоколонных диафрагм (рис.9) возможны случаи, когда точка расчетных усилий для рассматриваемой в их составе двухколонной диафрагмы выходит за пределы графика ее несущей способности, однако прочность многоколонной диафрагмы в целом обеспечена. Эти случаи соответствуют малым или отрицательным значениям продольных сил, а точка расчетных усилий при этом лежит ниже линии ОС графика несущей способности (на рис. 8 - точка  $L_1$ ). Тогда необходимо дополнительно выполнить для диафрагмы в целом проверку условий:

$$M_{sy} \leq N_s (b_y - c_y) \quad (3.4)$$

$$M_{sz} \leq N_s (b_z - c_z) \quad (3.5)$$

где:  $N_s$ ;  $M_{sy}$ ;  $M_{sz}$  - суммарные значения продольной силы и изгибающих моментов в диафрагме;

$b_y$ ;  $b_z$  - расстояние между крайними колоннами;

$c_y$ ;  $c_z$  - расстояние от растянутой колонны до центра тяжести диафрагмы.

3.3. Прочность горизонтального сечения диафрагмы на сдвиг обеспечена при соблюдении условия:

$$Q_s \leq 0,5 N_s + R_t A_s \quad (3.6)$$

где:  $Q_s$  - значение суммарной поперечной силы в диафрагме;

$N_s$  - суммарная продольная сила в диафрагме;

$R_t$  - сопротивление бетона колонн растяжению;

$A_s$  - суммарная площадь поперечного сечения диафрагменных колонн.

Проверка условия (3.6) производится для диафрагмы в целом, при этом расчетное значение суммарной поперечной силы  $Q_s$  является равнодействующей поперечных сил в столбах расчетной схемы диафрагмы

$B_x = 32826 \text{ л.17}$

I.020-I/87. 0-3-03ПЗ

МСТ  
3

(см.п.2.4), а значение продольной силы  $N_s$  - сумой продольных сил столбов.

Условие (3.6) следует проверять в уровне пола верхнего этажа здания.

3.4. Прочность закладных изделий и перемычек по вертикальному ряду обеспечена, если приращение сдвигавших сил в них в пределах этажа меньше несущей способности закладных изделий данного этажа или перемычек, приведенной в таблице:

высота этажа, м	высота проема, м	несущая способность, тс перемычки	закладные изделия
3,3	2,14	29,5	45
3,6	2,14	38,5	60
3,6	2,47	26,0	60
4,2	2,14	57,5	60
4,2	2,47	32,5	60

3.5. Проверка обеспеченности несущей системы здания по второй группе предельных состояний сводится к контролю прогибов от ветровой нагрузки.

Прогиб  $f$  здания не должен превышать  $0,0015 h$ , где  $h$  - высота здания.

Прогиб  $f_s$  (см.рис.10) верхнего этажа высотой  $h_s$  не должен превышать следующих предельных значений:

- при податливом креплении к каркасу стен и перегородок при любом их конструктивном решении -  $0,002 h_s$ ;
- при жестком креплении к каркасу стен и перегородок из кирпича, гипсобетона или железобетонных панелей -  $0,0015 h_s$ ;

Бх. 32826 л.18

I.020-I/87. 0-3-03ПЗ

МСТ  
4

- при жестком креплении к каркасу стен и перегородок, облицованных естественным камнем, из керамических блоков или из стекла (витражи) -  $0,001 h_s$ .

Прогиб следует определять в плоскости наружных стен или перегородок, целостность которых должна быть обеспечена. Если стена или перегородка прижимает к диафрагме жесткости, то значение прогиба энзака, определенное статическим расчетом здания, необходимо умножить на коэффициент, равный  $I + 0,5 b / l$ , где  $b$  - высота сечения диафрагмы,  $l$  - пролет смежной конструктивной ячейки (см.рис.10).

3.6. Средние и краевые значения давления под подошвой фундамента диафрагмы должны удовлетворять требованиям п.п. 2.41 и 2.49 СНиП 2.02.01-83.

3.7 В институте разработана программа для ПЭВМ - программа „Приказ-91”, осуществляющая статический расчет здания на основе дискретно-континуальной модели и необходимые проверки прочности и деформаций в соответствии с вышеизложенными методами.

подпись и дата	имя
н.р. год.	

№ 32826 л. 19

I.020-I/87. 0-3-03ИЗ

МСТ

5

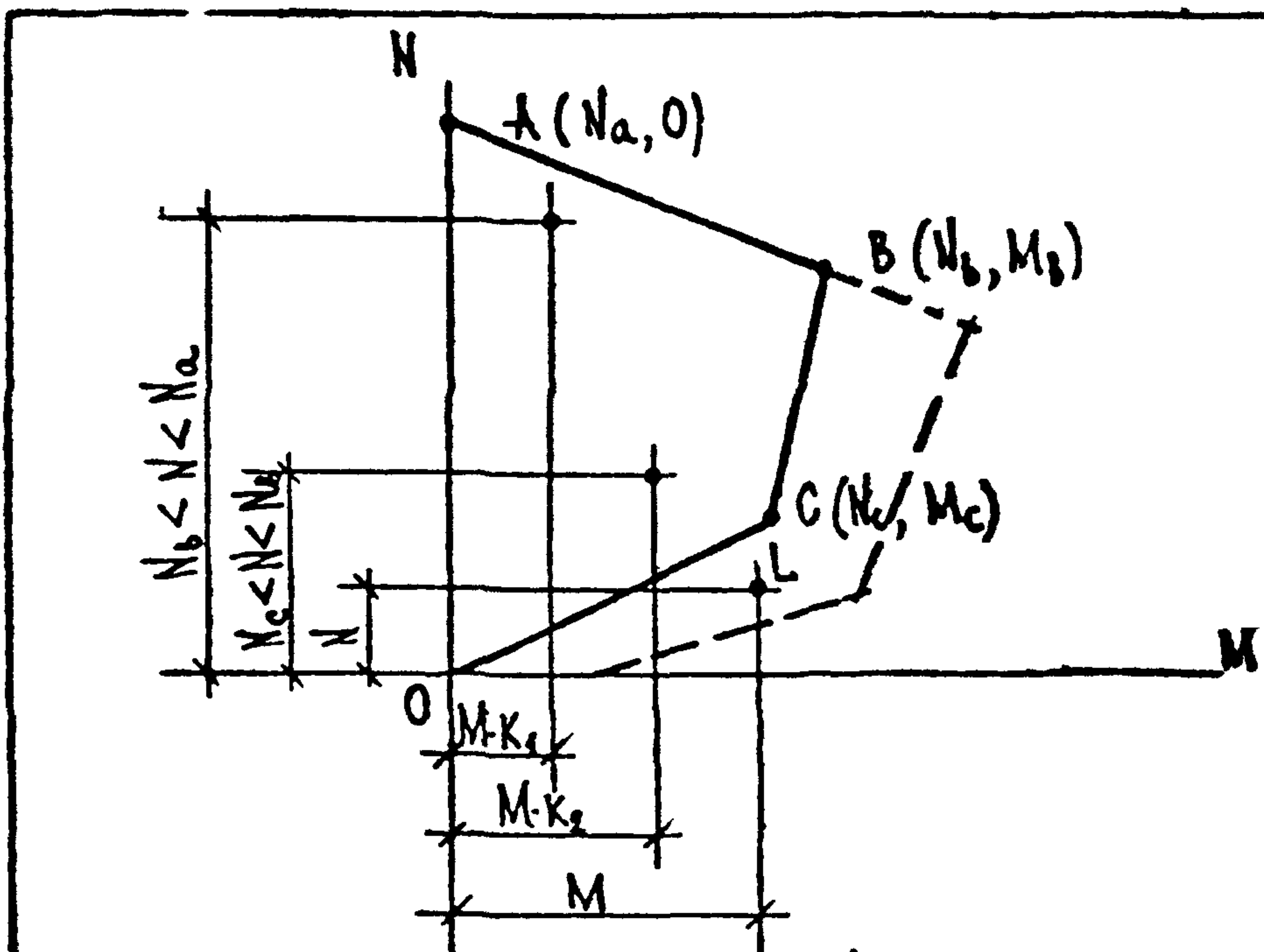


Рис. 8. ГРАФИК НЕСУЩЕЙ СПОСОБНОСТИ ВНЕЦЕНТРЕННО СЖАТОЙ ДИАФРАГМЫ.

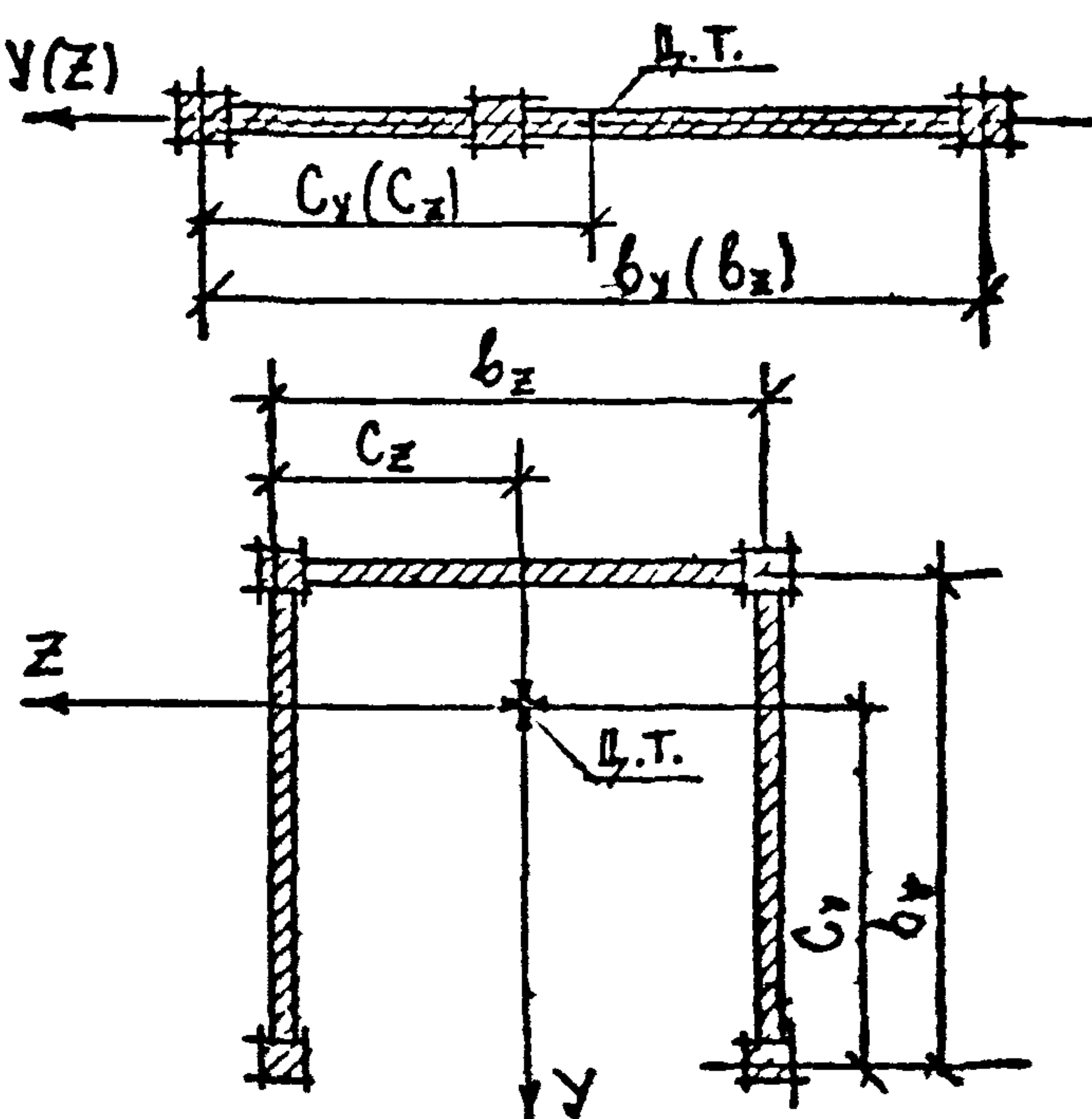
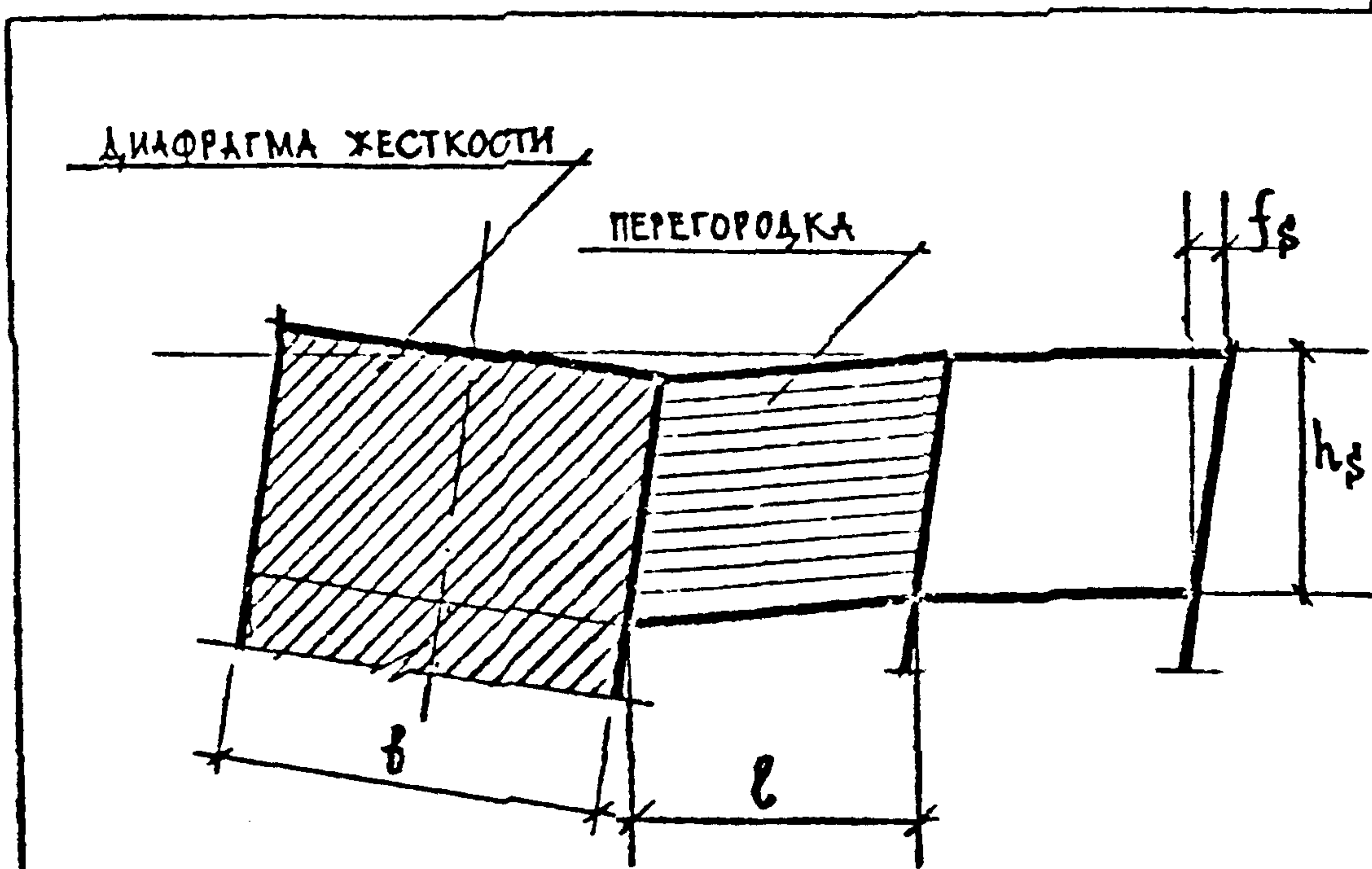


Рис. 9. К РАСЧЕТУ МНОГОКОЛОННЫХ ДИАФРАГМ  
Вх 32826 д 20

1.020-1/87. 0-3-03п3

ДКСТ
6

20



ФИС. 10. СХЕМА ДЕФОРМАЦИЙ  
ВЕРХНЕГО ЭТАЖА ЗДАНИЯ.

М.Н.ЮЛЯ ИДИЛСА НАУЧНО-ПРАКТИЧЕСКАЯ  
БИБЛИОТЕКА

Бх. ЗК826 д.21

1.020-1/87. 0-3-03ПЗ

АНСТ

7

#### 4. ПРЕДВАРИТЕЛЬНЫЙ ПОДБОР ДИАФРАГМ.

Необходимое количество  $n$  диафрагм можно определить приближенно по формуле:

$$n = M / M_{\text{дал}}$$

где:  $M$  – суммарный момент от внешних нагрузок;

$M_{\text{дал}}$  – предельно допустимый момент, воспринимаемый одной диафрагмой.

Предельно допустимый момент, воспринимаемый диафрагмой при внецентрическом сжатии (см.п.3.2), равен

$$M_{\text{дал}} = M_{us} / K_L$$

где:  $M_{us}$  – несущая способность внецентрически сжатой диафрагмы;

$K_L$  – коэффициент условий работы  $K_1$  или  $K_2$ , вычисленный по формуле (3.2) или (3.3) соответственно.

В качестве предельно допустимого момента диафрагмы принимается наименьшее из двух значений, определенных при действии максимальной и минимальной продольной силы. На рис.П представлена схема определения несущей способности диафрагмы с использованием графиков, приведенных в разделе 5; пунктиром показан график несущей способности, отвечающей принятой в проекте несущей способности диафрагменной колонны. Окончательный конструктивный вариант несущей системы здания должен быть проверен расчетом по всем предельным состояниям по указаниям разделов 2 и 3.

Пример расчета. Определить ориентировочное количество диафрагм для 7-этажного здания, предназначенного для строительства в IV ветровом районе. Размеры здания в плане 60x18 м (см.рис.П2), высота этажа – 3,6 м; высота здания  $h = 27$  м; ветровой момент  $M = 2420 \text{ тсм}$ .

$B_x \approx 826 \times 22$

подпись и дата	взам.	нач.отд	всё южная	гл. научнис	СЛИВИНА	I.020-I/67. 0-3-0413	стадия	амст	листов
		ГАКОНСТ	ШАУ	ПАНЕШИН		P	1	3	
		ГЛ. НАУЧНIS							том 1-2 выпуск 1 здание № помещение код 100000
		ГИП	КОСЛАШВИ						
		ПРОВЕР.	НИКОНОРОВ						
		РАЗРАБ	СИМОНОВ						

ПРЕДВАРИТЕЛЬНЫЙ  
ПОДБОР ДИАФРАГМ  
РАЗДЕЛ 4

ЦНИИЭП

Предполагая установку диафрагм в среднем модуле, определяем продольные силы в диафрагмах:  $N_{max} = 700$  тс и  $N_{min} = 380$  тс\*. Несущая способность диафрагменных колонн принимается равной 340 тс. Используя материалы раздела 5 для глухой 6-метровой диафрагмы и построив методом интерполяции расчетный график, отвечающий прочности колонны 340 т, находим параметры расчетного графика, необходимые для расчета коэффициентов условий работы —  $N_g = 560$  тс,  $N_c = 340$  тс, а также значения несущей способности диафрагмы при максимальной и минимальной продольной силах соответственно  $M_{us}(N_{max}) = 1020$  тсм и  $M_{us}(N_{min}) = 1080$  тсм.

Пределы допустимые моменты в диафрагме  $M_{DAL}$  с учетом коэффициентов условий работы, вычисленных по формулам (3.2) и (3.3) при относительной высоте диафрагмы  $\beta = h/b = 27:6 = 4,5$ , равны:

при  $N_{max} = 700$  тс —

$$K_1 = (\beta + 0,25) / (\beta - 0,25) = (4,5 + 0,25) : (4,5 - 0,25) = 1,12;$$

$$M_{DAL} = M_{us} / K_1 = 1020 : 1,12 = 910 \text{ тсм};$$

при  $N_{min} = 380$  тс —

$$K_2 = I + (K_1 - I)(N - N_c) / (N_b - N_c) =$$

$$= I + (1,12 - I) (380 - 340) : (560 - 340) = 1,02;$$

$$M_{DAL} = M_{us} : K_2 = 1080 : 1,02 = 1060 \text{ тсм}.$$

Расчетное значение предельного момента в диафрагме  $M_{DAL} = 910$  тсм.

При действии на здание суммарного момента ветровых нагрузок

$M = 2420$  тсм, необходимое количество диафрагм равно:

$$n = M / M_{DAL} = 2420 : 910 = 2,66 \approx 3 \text{ шт.}$$

---

\* Примечание: Сбор вертикальных нагрузок на диафрагмы произведен с учетом расчетной унифицированной нагрузки на перекрытиях 800 кг/м<sup>2</sup>.

Бх. 32826 л. 23

I.020-I/87. 0-3-0403

МСТ  
2

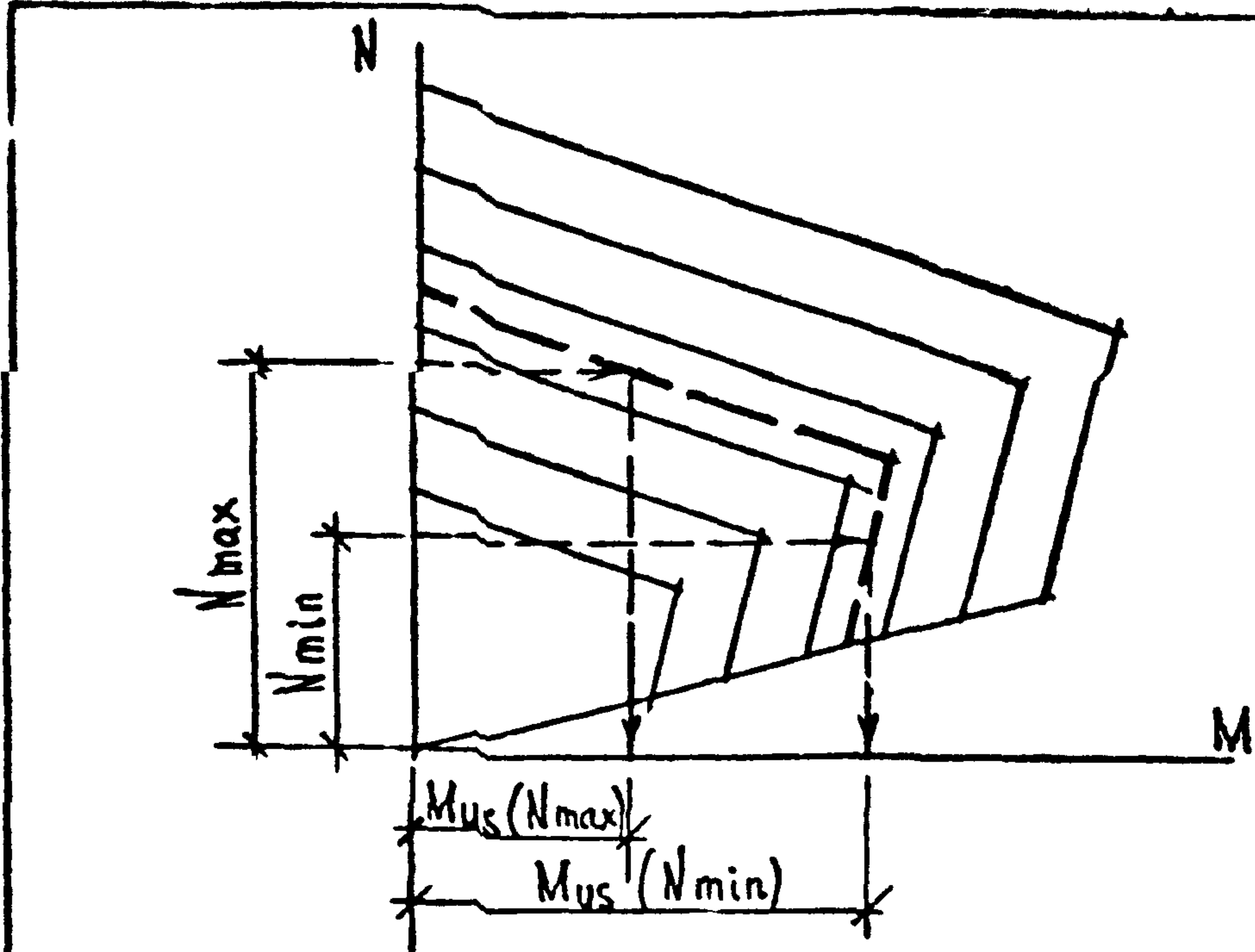


Рис. 11. ОПРЕДЕЛЕНИЕ ПРЕДЕЛЬНО ДОПУСТИМЫХ МОМЕНТОВ ДИАФРАГМ.

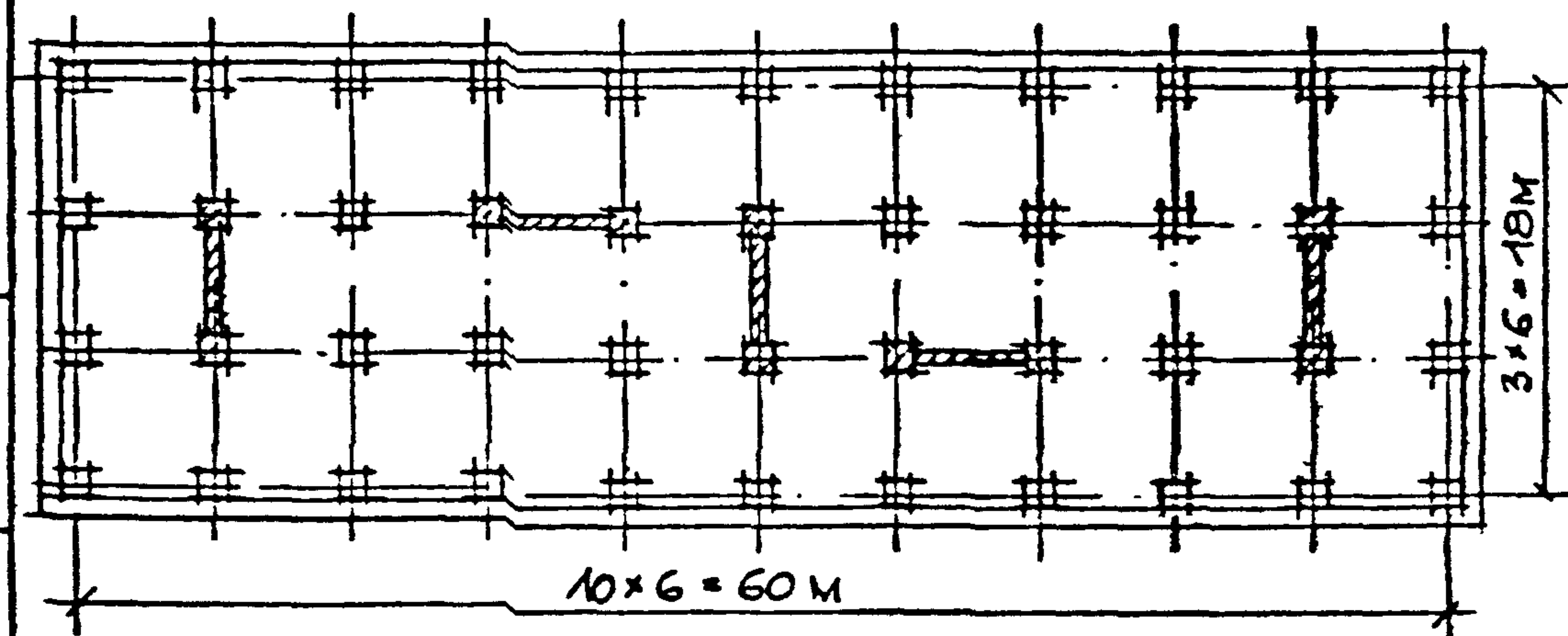


Рис. 12.

Бр. 32826 л. 24

1020 - 1/87. 0-3-04 ПЗ

Лист  
3

## 5. ПРОЧНОСТЬ СБОРНЫХ ДИАФРАГМ.

В настоящем разделе представлены графики несущей способности сборных диафрагм жесткости при внеконтреннонном сжатии. Различные ветви графика соответствуют обозначенной на них несущей способности колонн. Параметры графиков (см.п.3.2) вычислены для сечений по обрезу фундаментов без учета растяжения в колоннах по формулам (см.рис.13):

$$N_a = S_w l_w + \sum S_c$$

$$N_b = S_c + S_w l_b$$

$$M_b = S_c b + S_w l_b \gamma_b - N_b \cdot c$$

$$N_c = S_c$$

$$M_c = S_c (b - c).$$

где  $S_c$  – несущая способность колонны при сжатии;

$S_w$  – распределенная несущая способность стеки;

$l_b, \gamma_b$  – высота сжатой зоны в стеке диафрагмы и плече внутренней пары, отвечающие границе между первым и вторым случаями внеконтренного сжатия;

$c$  – расстояние от оси менее сжатой колонны до оси диафрагмы;

$l_w$  – длина стеки;

$b$  – расстояние между осями диафрагменных колонн.

Графики рассчитаны для диафрагм с высотой этажа до 4,2 м включительно. В этом диапазоне несущая способность стеки может быть принята для всех высот одинаковой и равной  $S_w = 80$  тс/м.

При построении графиков принималось, что правая колонна на схеме диафрагмы расположена в сжатой зоне и несущая способность обеих колонн одинакова.

Бх.32826 л 25

ИЗДАНИЕ				I.020-I/87. 0-3-0543
РЕДАКЦИЯ И ДАТА	ЕСТЬЧИСЛЯ	7.12.87		
УЧСНТР	САМВИНА	Л.С.		
ГЛАВЭНСТР	БИЦ	Л.И.		
ГАНАУЧ С.	ПАНЬШИН	Л.И.		
ГИП	КОЛАДАШЕВА	Л.И.		
ПРОЕКТ.	НИКОНОРСКА	Л.И.		
РАЗРАБ	СИМОНОВ	Л.И.		
			ПРОЧНОСТЬ СБОРНЫХ ДИАФРАГМ РАЗДЕЛ 5	СТАРИЯ ЛИСТ ЛИСТОВ Р Т 37 Торгово- выставочных зданий и птицефабрик комплексов
			ЦНИИЭП	

25

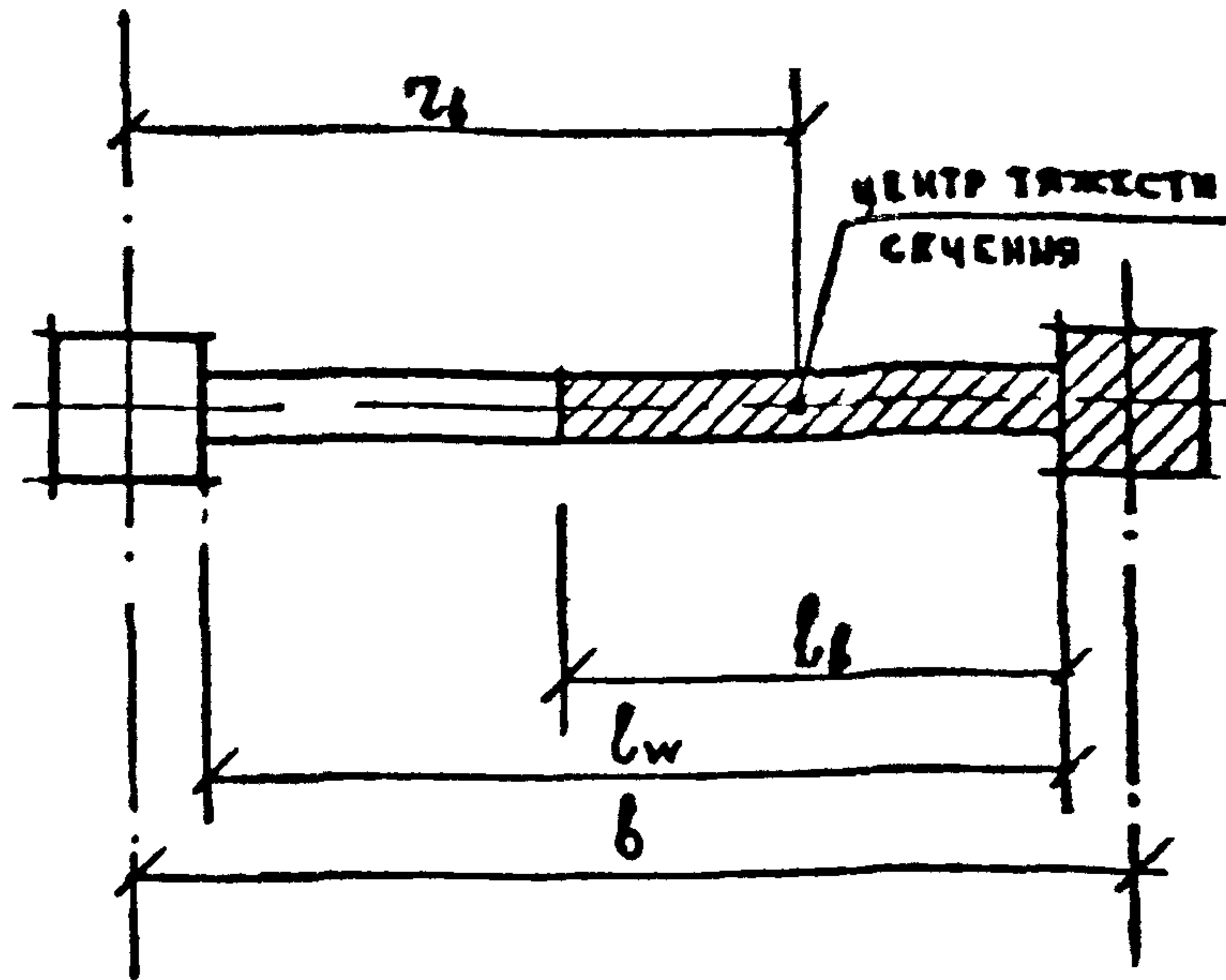


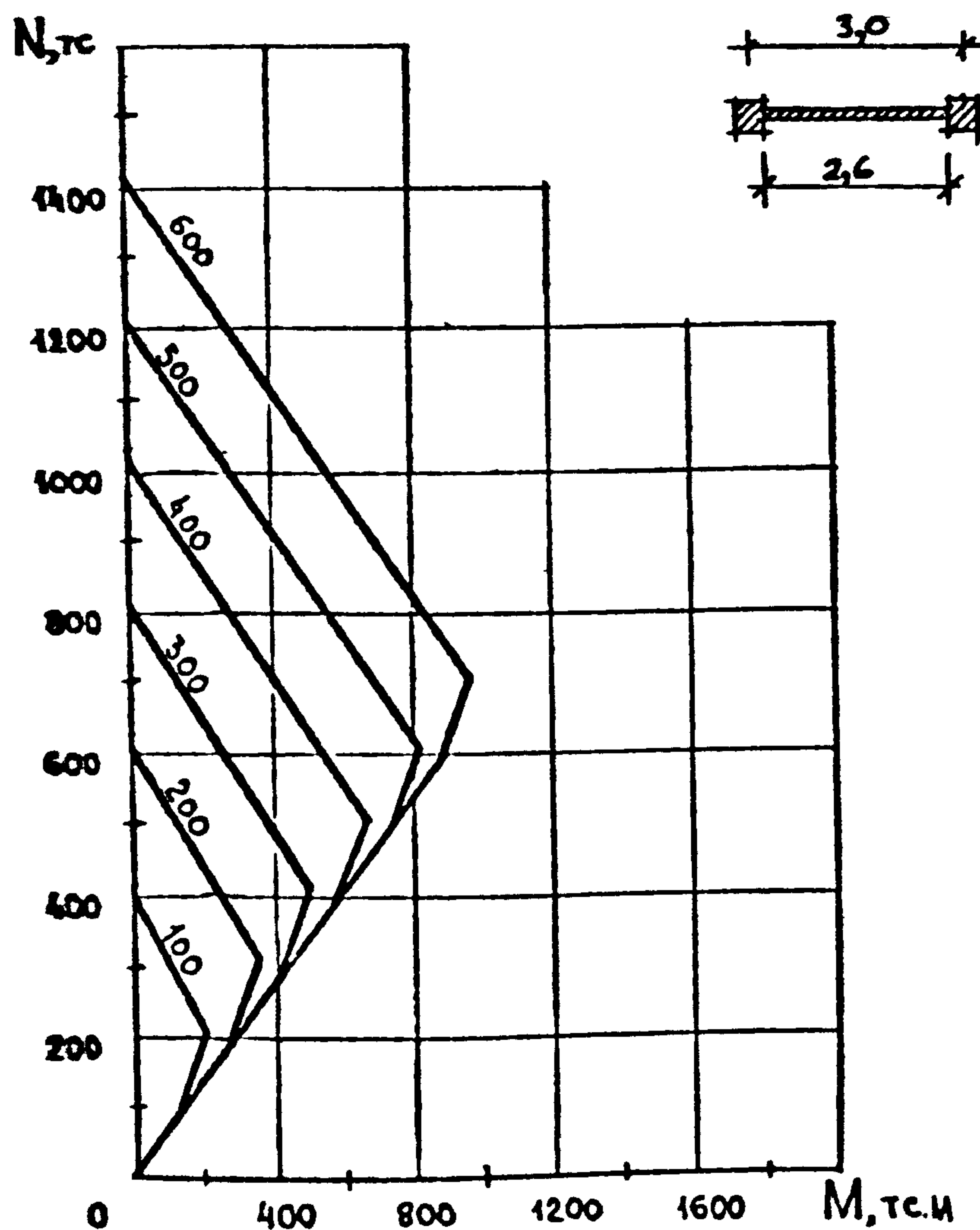
Рис. 13

ХА. В. ПОЛА ПОЛУЧАЕТ МАГИСТРАЛЬНЫЙ

Бх-32826 л. 26

4.020 - 1/87. 0-3 - 0513

Лист  
2



Имя, фамилия, отчество и дата приема в архив, №

Прочность колонн, кН

$N_a$ , кН

$N_b$ , кН

$M_b$ , кНм

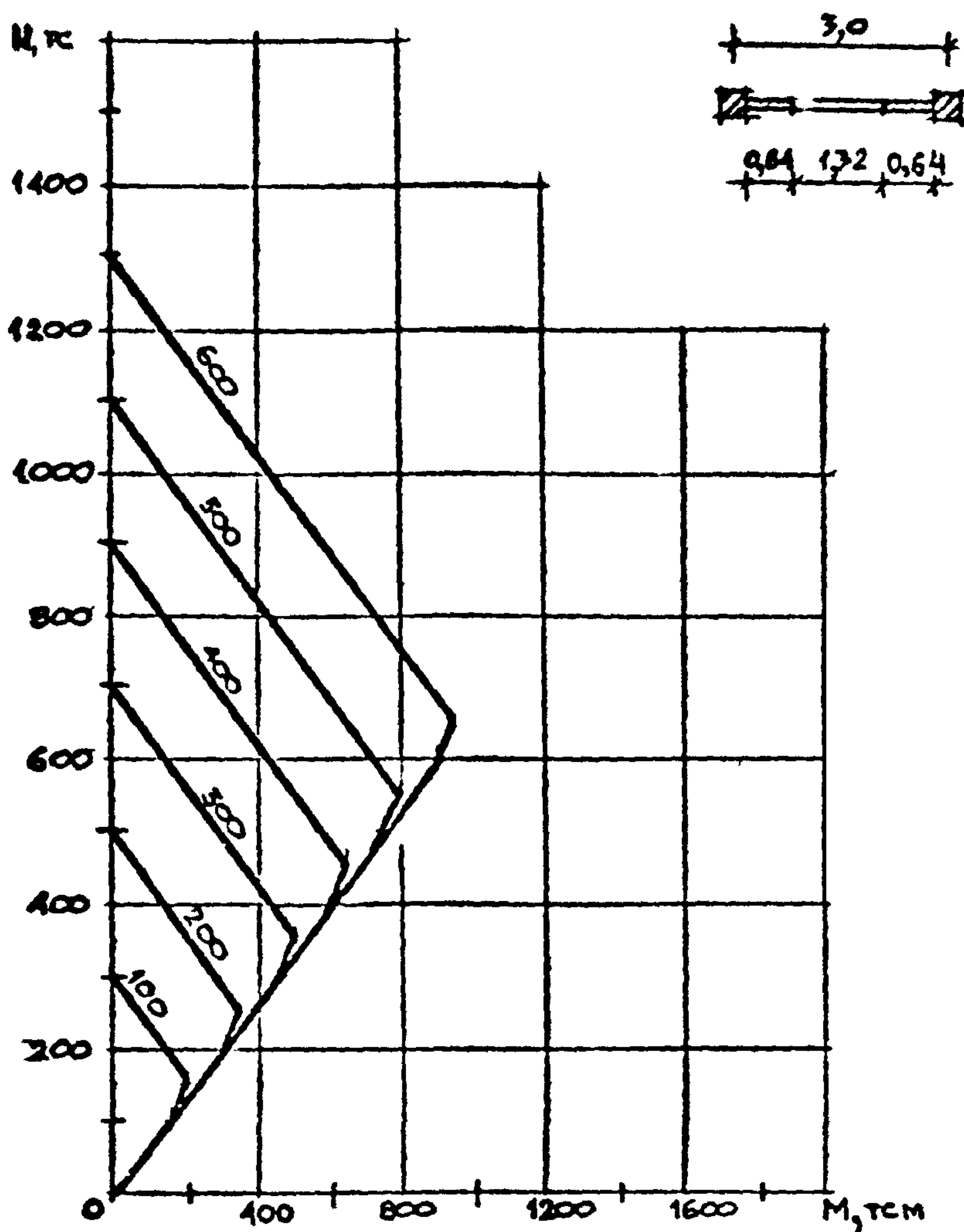
$N_c$ , кН

$M_c$ , кНм

Бх. 32826 л. 27  
1.020 - 1/87. 0-3-05ПЗ

АМКТ  
3

27



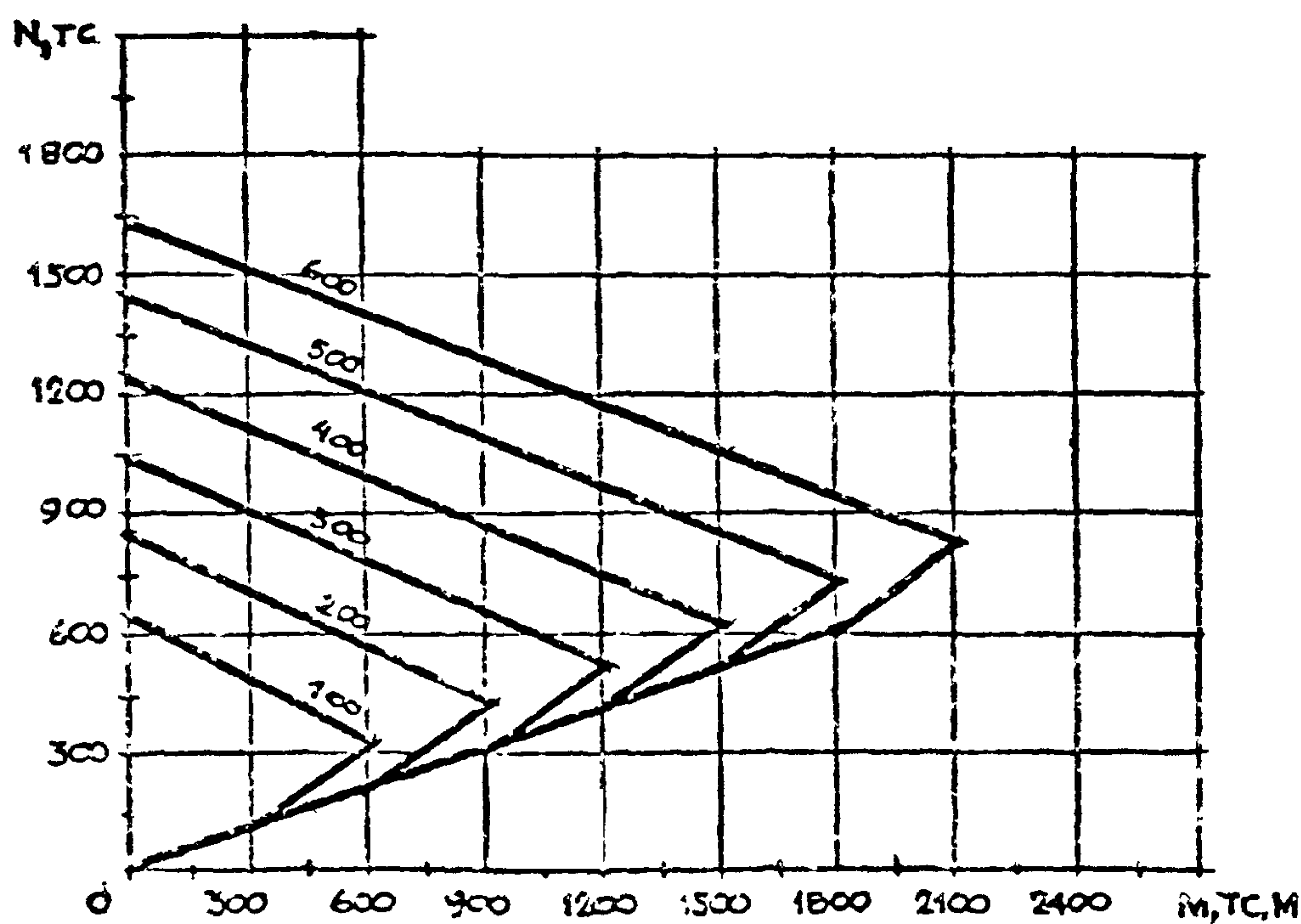
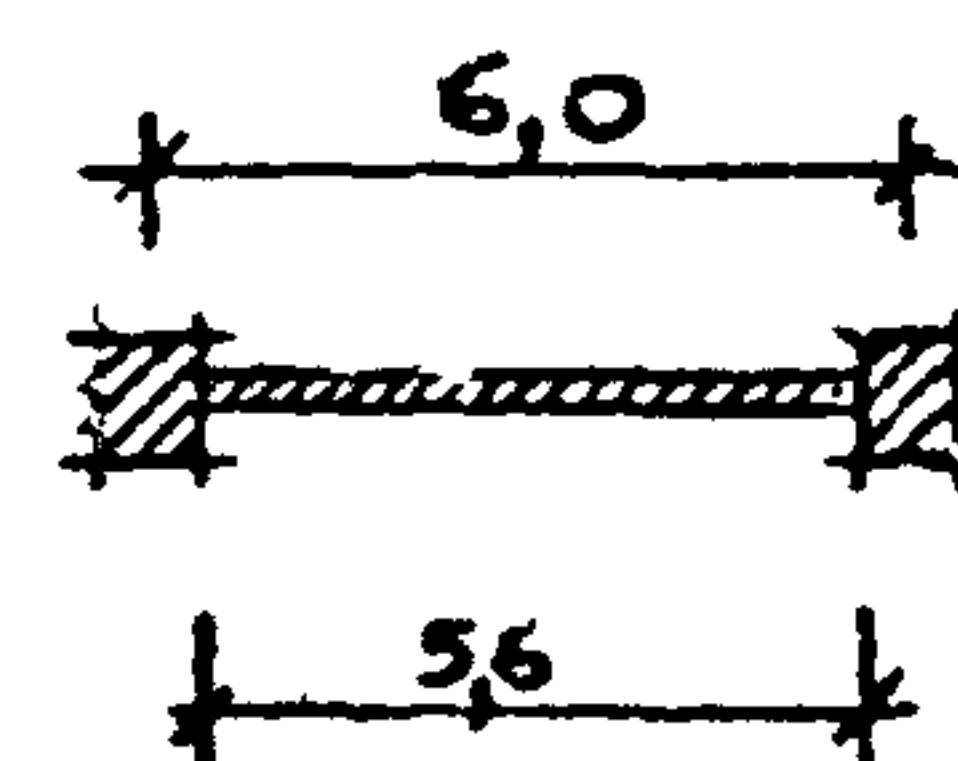
Прочность колонны, тс	$N_a$ , тс	$N_b$ , тс	$M_b$ , тсм	$N_c$ , тс	$M_c$ , тсм
100	302	151	200	100	150
200	502	251	350	200	300
300	702	351	500	300	450
400	902	451	650	400	600
500	1102	551	800	500	750
600	1302	651	950	600	900

ЧИСЛЫ ДЛЯ ПОЛУЧЕНИЯ ИНДИКАТОРНОЙ КАРТЫ

 $B \times 328,26 \approx 28$ 

1.020 - 1/87. 0-3-05П3

АНСТ  
4



ПОДПИСЬ К ДАННЫМ

Прочность колонны, кс	$N_a$ , кн	$N_s$ , кн	$M_b$ , кнм	$N_c$ , кн	$N_c$ , кнм
-----------------------	------------	------------	-------------	------------	-------------

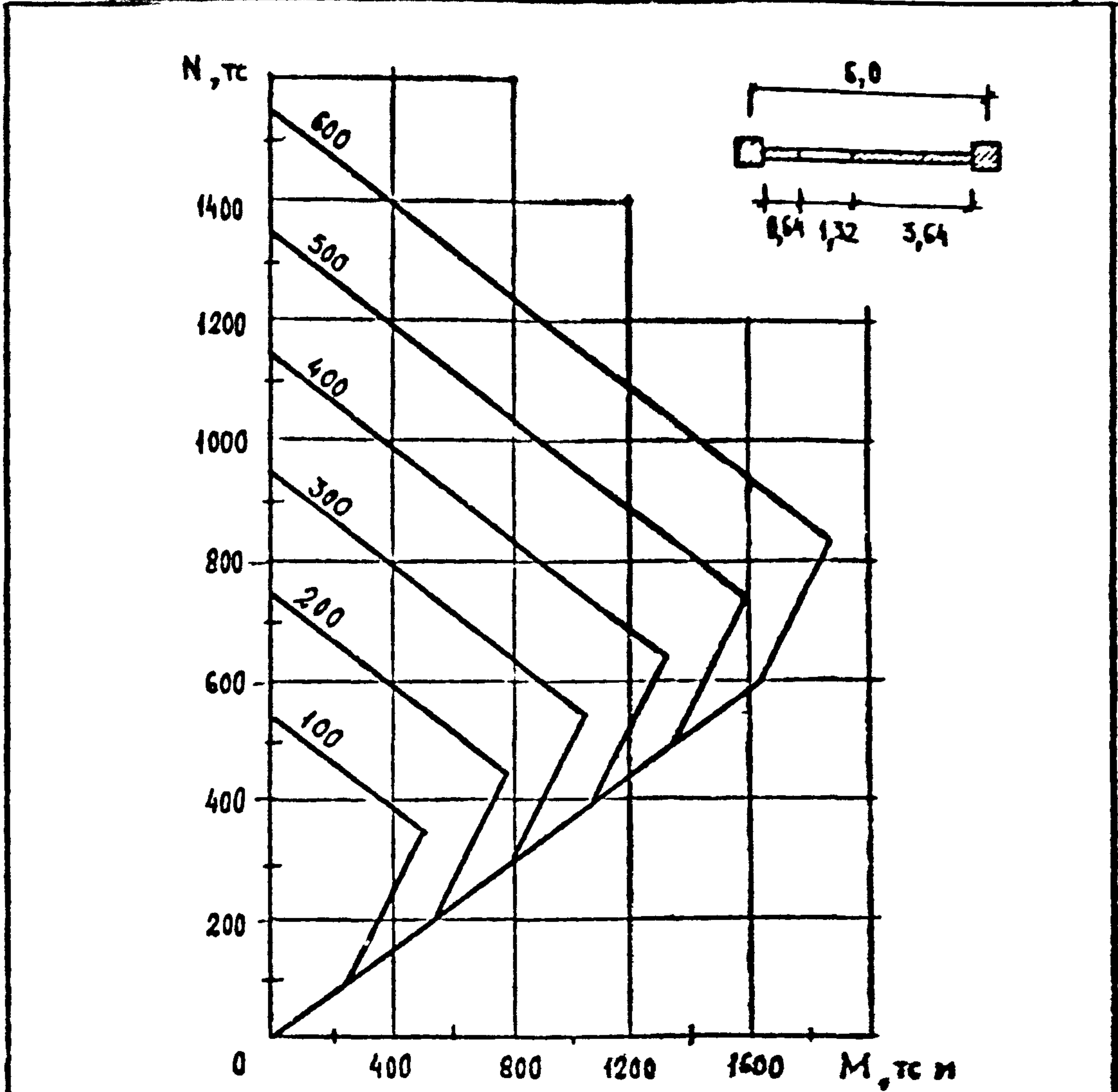
100	648	324	613	100	300
200	848	424	913	200	600
300	1048	524	1213	300	900
400	1248	624	1513	400	1200
500	1448	724	1813	500	1500
600	1648	824	2113	600	1800

Бх. 32826 л. 29

020-1/87. С-3-05П3

АНСТ  
5

29



ИМ. А. ГУДКОВА · МОЛДОВА · УДАЧА

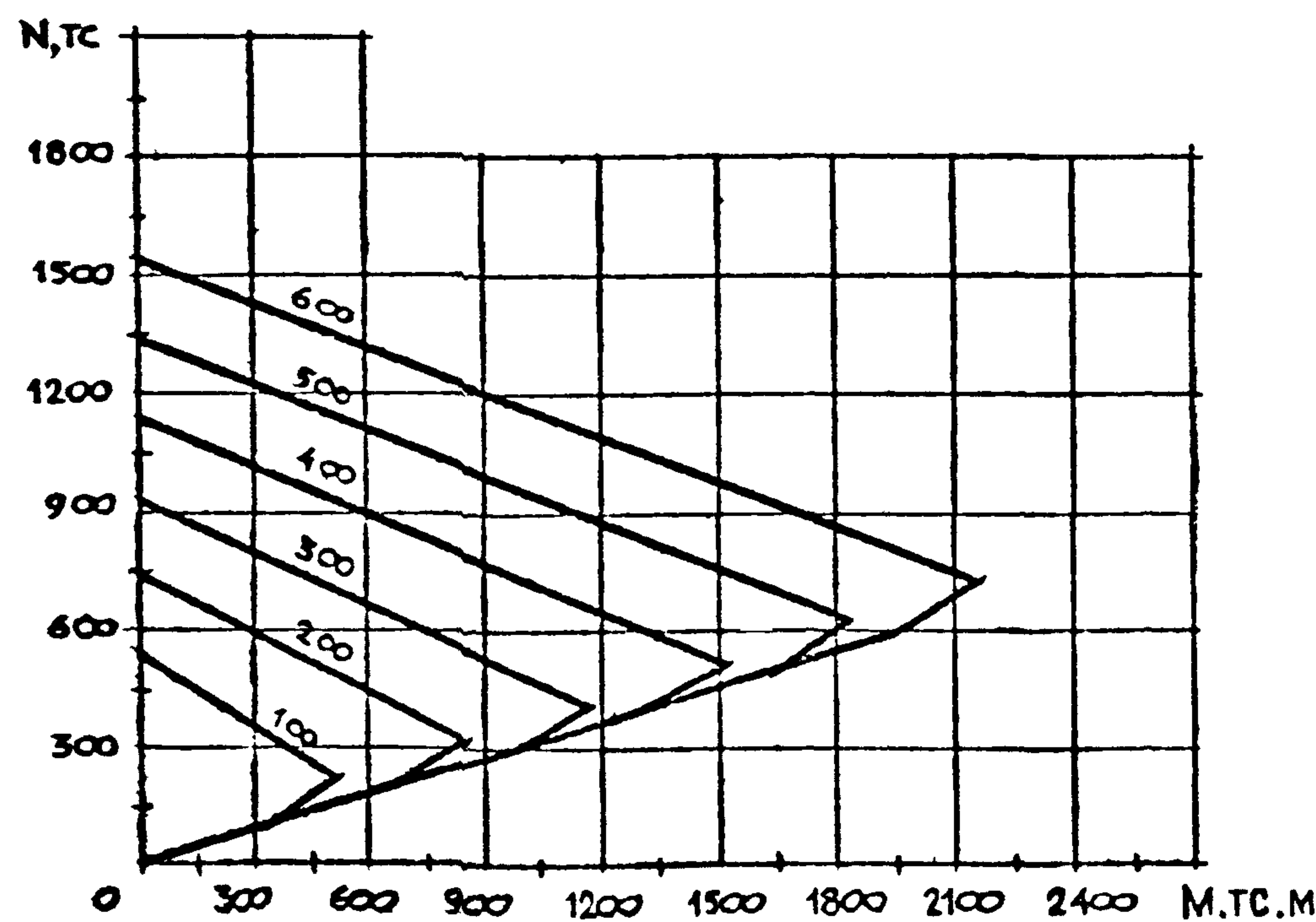
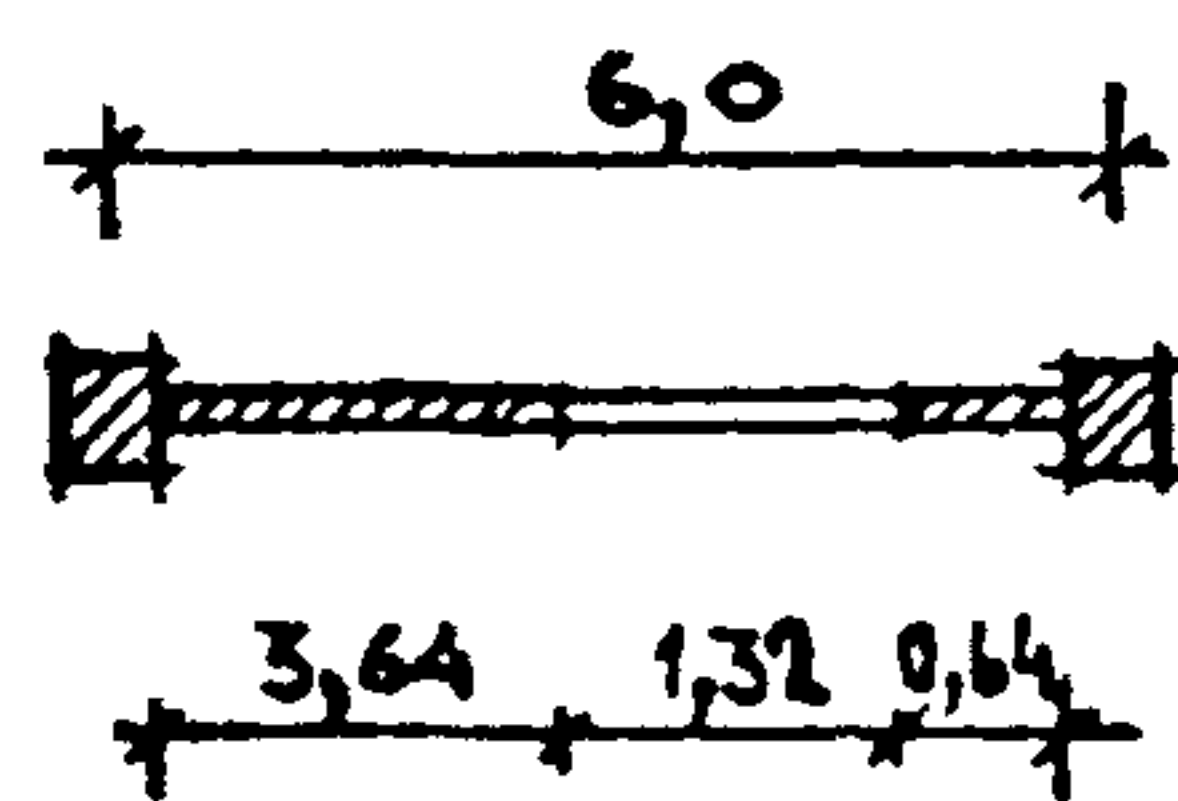
Прочность колонны, тс	$N_a$ , тс	$N_b$ , тс	$M_s$ , тсм	$R_e$ , тс	$M_e$ , тсм
100	542	324	518	100	270
200	742	424	789	200	541
300	942	524	1069	300	812
400	1142	624	1330	400	1082
500	1342	724	1601	500	1353
600	1542	824	1872	600	1624

$\beta \times 328 \times 6 \times 35$

1.020 - 1/87 0-3-0513

6

30



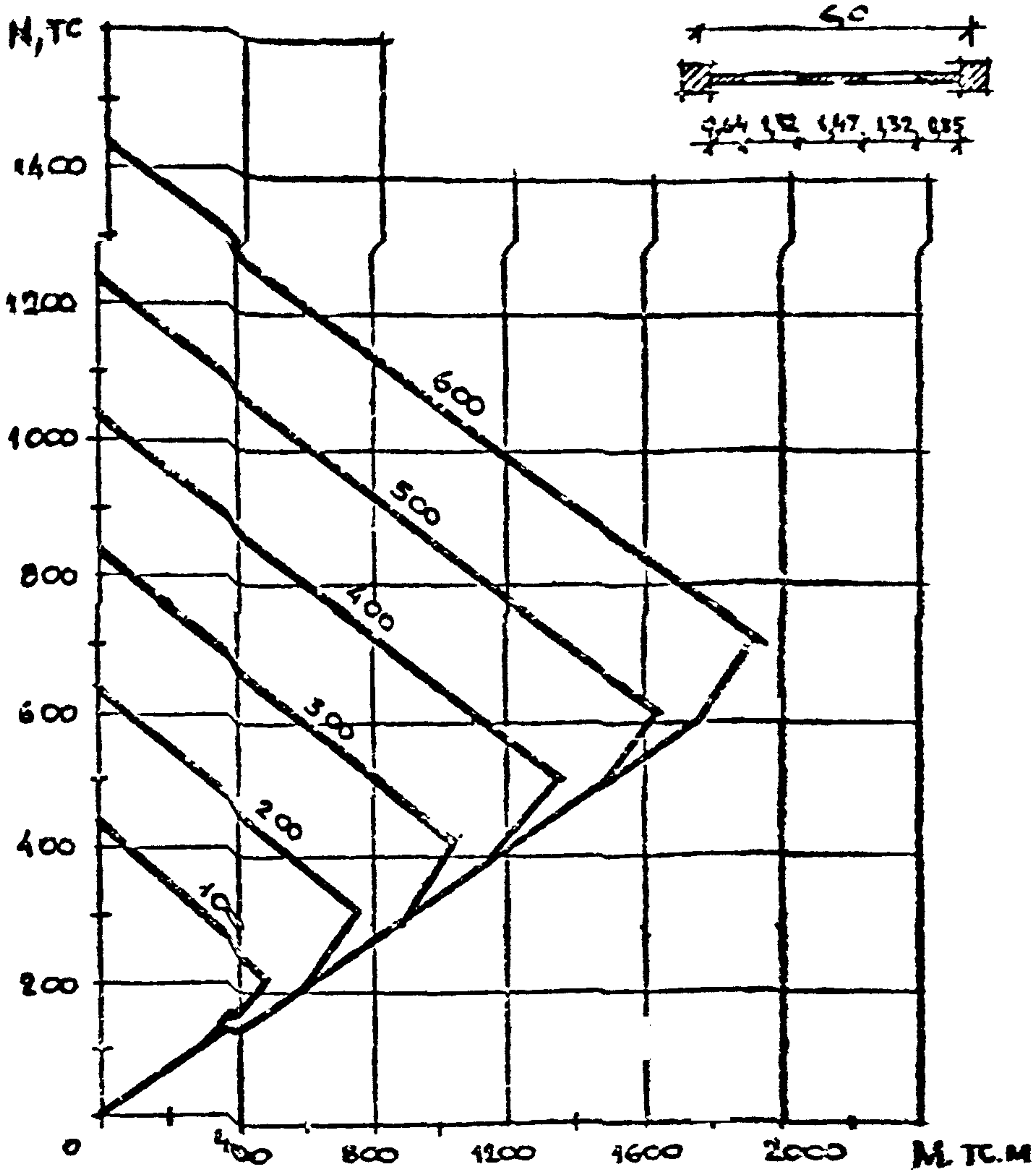
Прочность колонны, тс	$N_a$	$N_b$	$M_b$	$N_c$	$M_c$
	тс	тс	тсм	тс	тсм
100	542	218	519	100	329
200	742	318	848	200	658
300	942	418	1177	300	987
400	1142	518	1507	400	1317
500	1342	618	1836	500	1646
600	1542	718	2165	600	1975

Бх. 32826 л. 31

1.010 - 1/87. 0-3-05п3

Лист 7

31



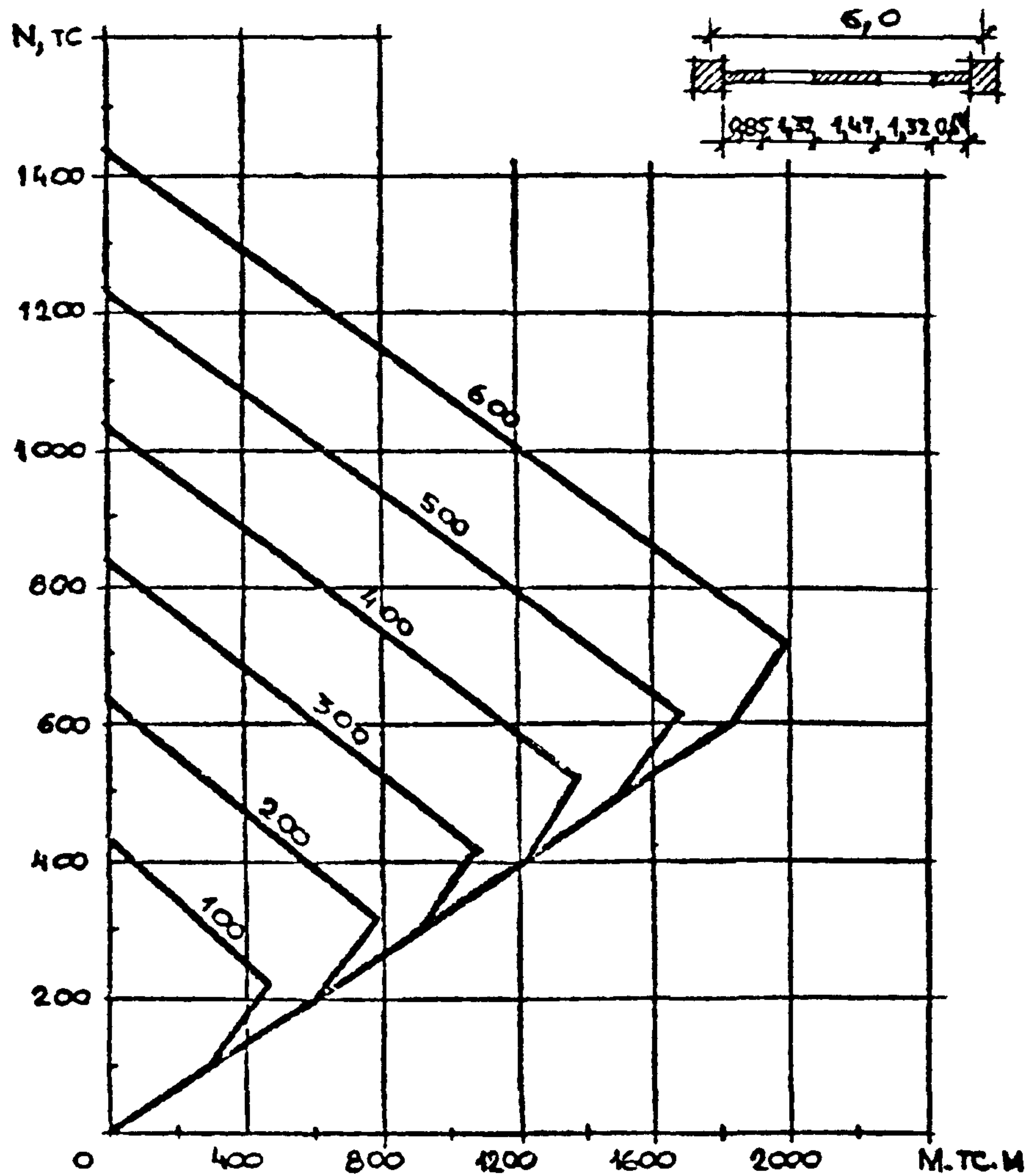
Прочность колонны, тс	$N_a$	$N_b$	$M_b$	$N_c$	$M_c$
	тс	тс	тсм	тс	тсм
100	436	218	456	100	294
200	636	318	761	200	589
300	836	418	1056	300	884
400	1036	518	1350	400	1179
500	1236	618	1645	500	1474
600	1436	718	1940	600	1769

$\beta \times 32826 \text{ л.32}$

1020 - 1/87. 0-3-0573

Лист 8

32

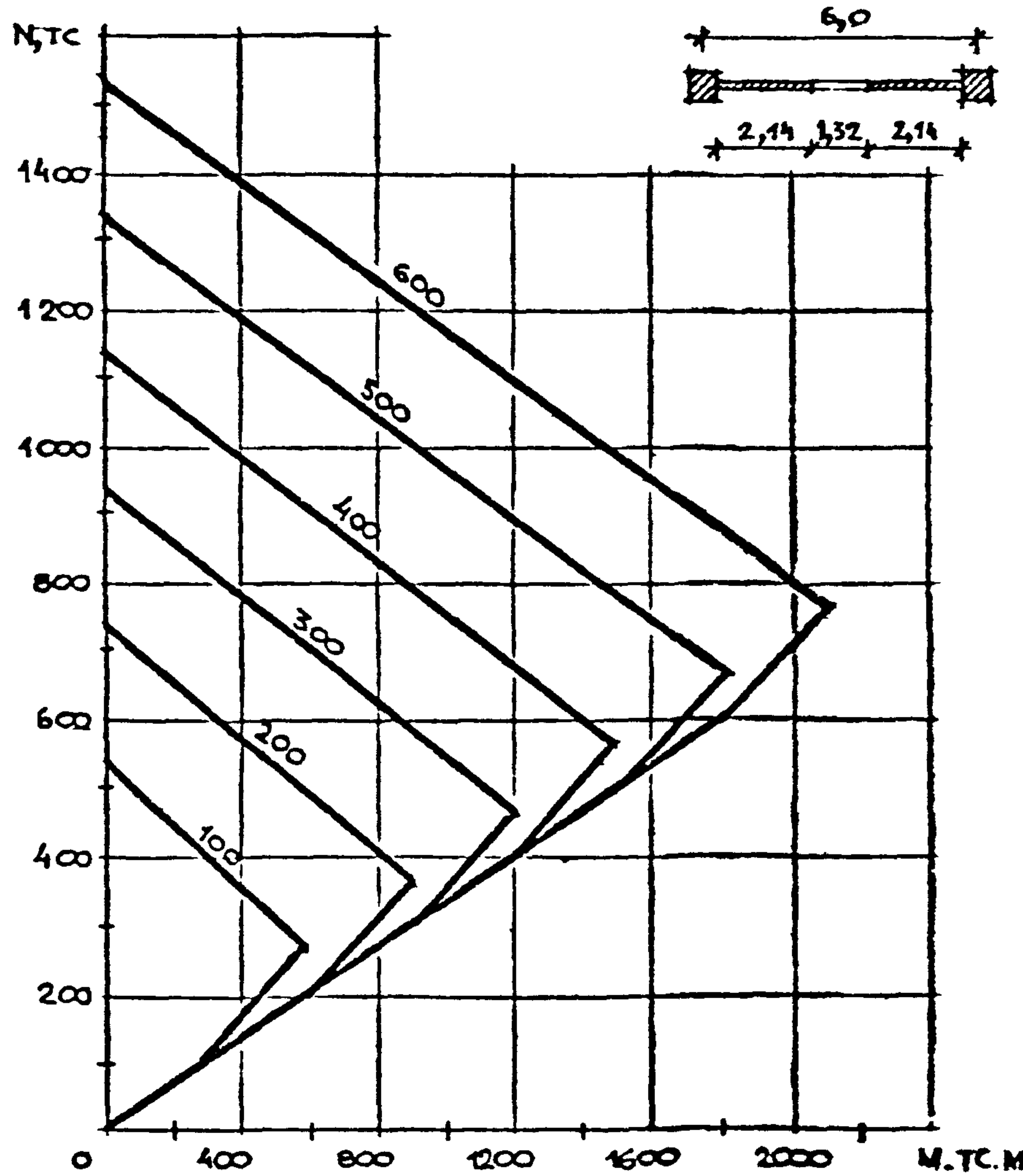


Прочность колонны, тс	$N_a$ , тс	$N_b$ , тс	$M_b$ , тсм	$N_c$ , тс	$M_c$ , тсм
	100	436	218	466	305
200	636	318	771	200	610
300	836	418	1076	300	915
400	1036	518	1381	400	1220
500	1236	618	1686	500	1525
600	1436	718	1991	600	1830

$\beta_x, 32826 \text{ и. 33}$

1.020-1|87. 0-3-05пз

Лист 9



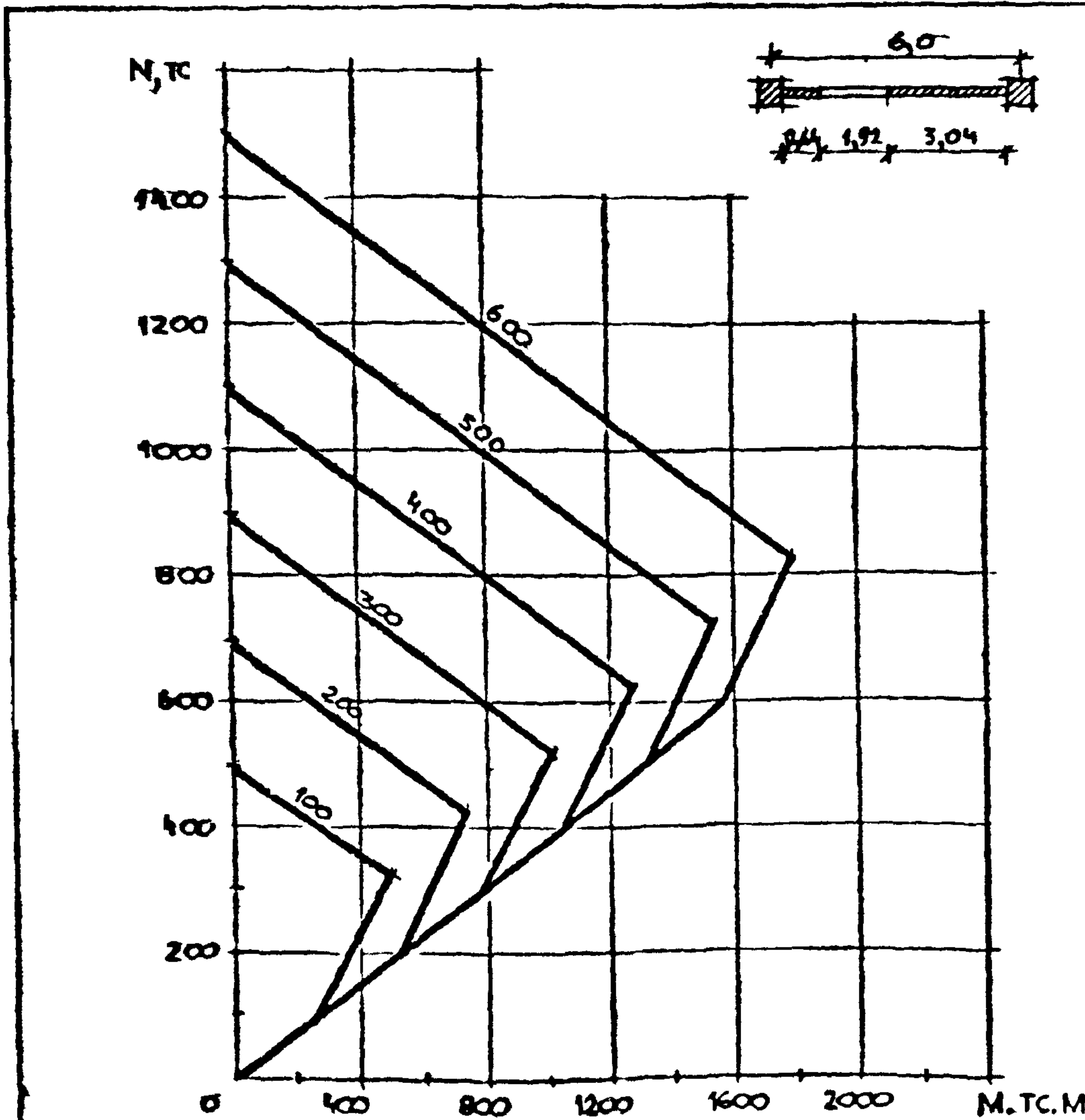
Прочность колонны, тс	$N_a$ , тс	$N_b$ , тс	$M_b$ , тсм	$N_c$ , тс	$M_c$ , тсм
100	542	271	596	100	300
200	742	371	896	200	600
300	942	471	1196	300	900
400	1142	571	1496	400	1200
500	1342	671	1796	500	1500
600	1542	771	2096	600	1800

$\beta \times 32826$  л. 34

1.020 - 1/87. 0-3-05П3

Лист 16

34



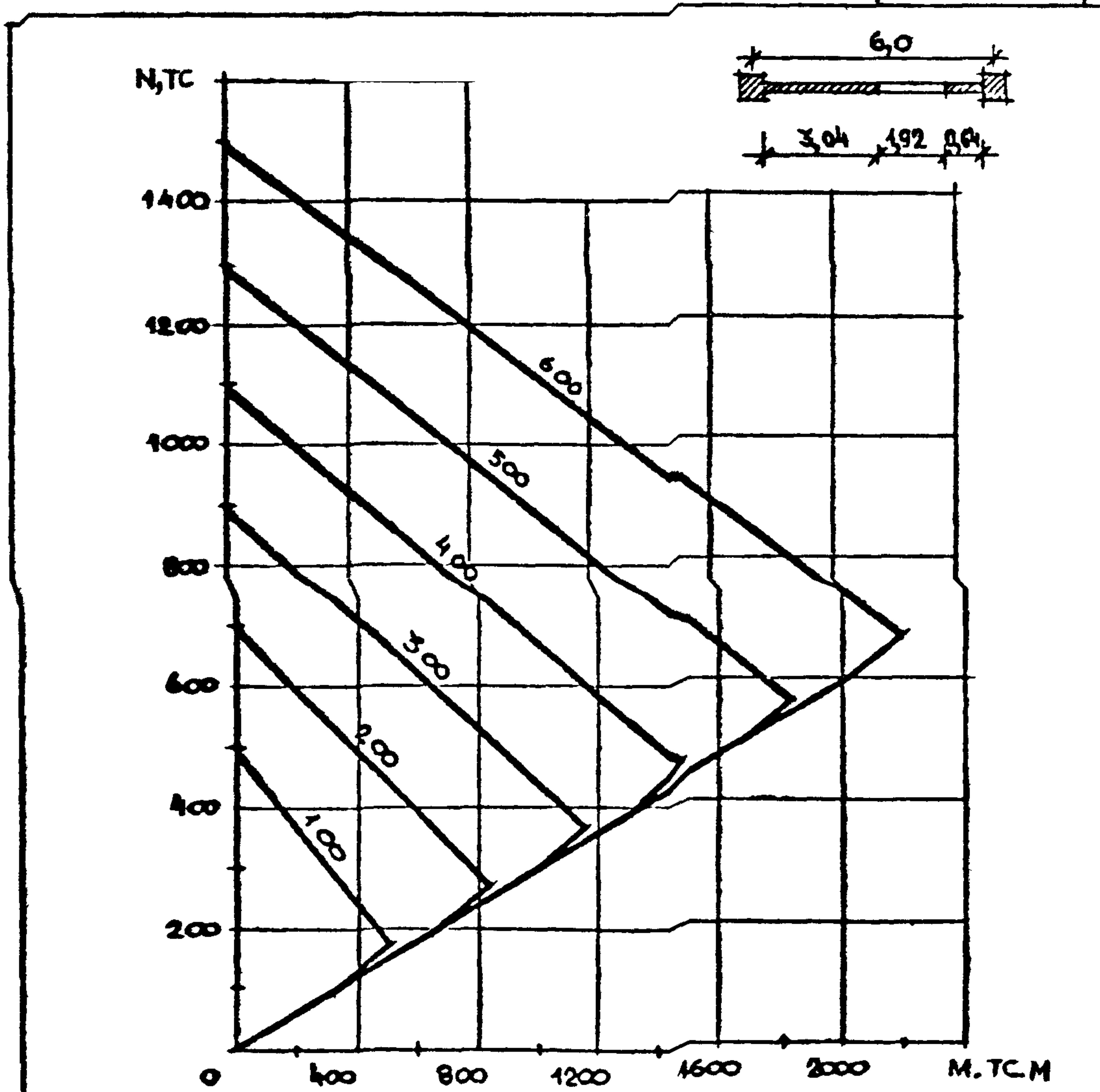
Прочность хомута : тс	$N_a$		$N_b$	$M_b$	$N_c$	$N_e$
	тс	тс	тс	тсм	тс	тсм
100	494	324	492	100	262	
200	694	424	754	200	525	
300	894	524	1017	300	787	
400	1094	624	1279	400	1050	
500	1294	724	1542	500	1312	
600	1494	824	1805	600	1575	

$\sqrt{3} \times 32826 \approx 35$

1.020 - 1/87. 0-3-05П3

АНСТ  
11

35

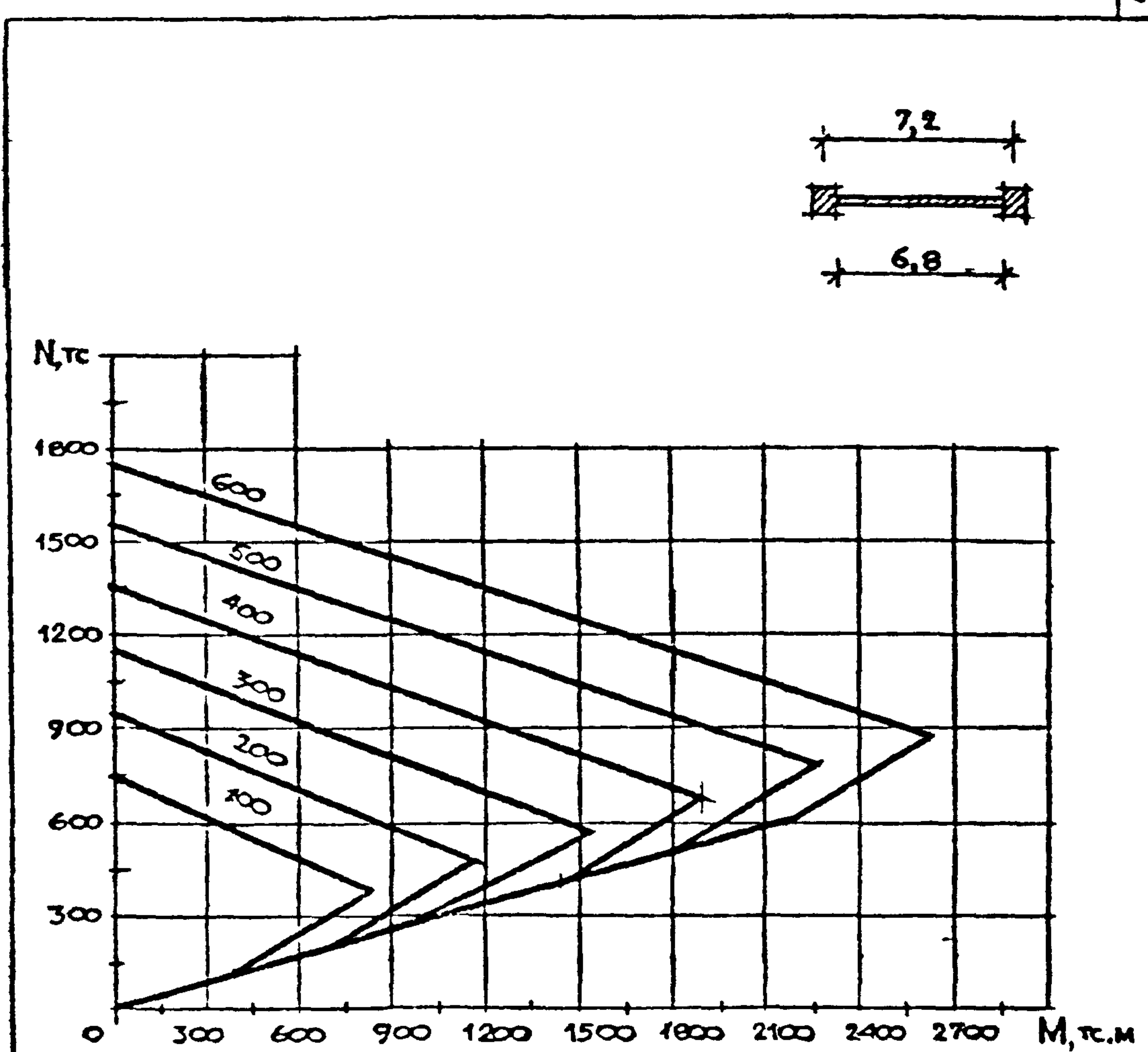


Прочность колонны, тс	$N_a$ , тс	$N_b$ , тс	$M_b$ , кгм	$N_c$ , тс	$M_c$ , тсм
100	494	170	493	100	337
200	694	270	830	200	674
300	894	370	1167	300	1012
400	1094	470	1505	400	1349
500	1294	570	1842	500	1687
600	1494	670	2180	600	2024

Бл. 32826 л.36

1.020-4/87. 0-3-05п3

Лист  
12

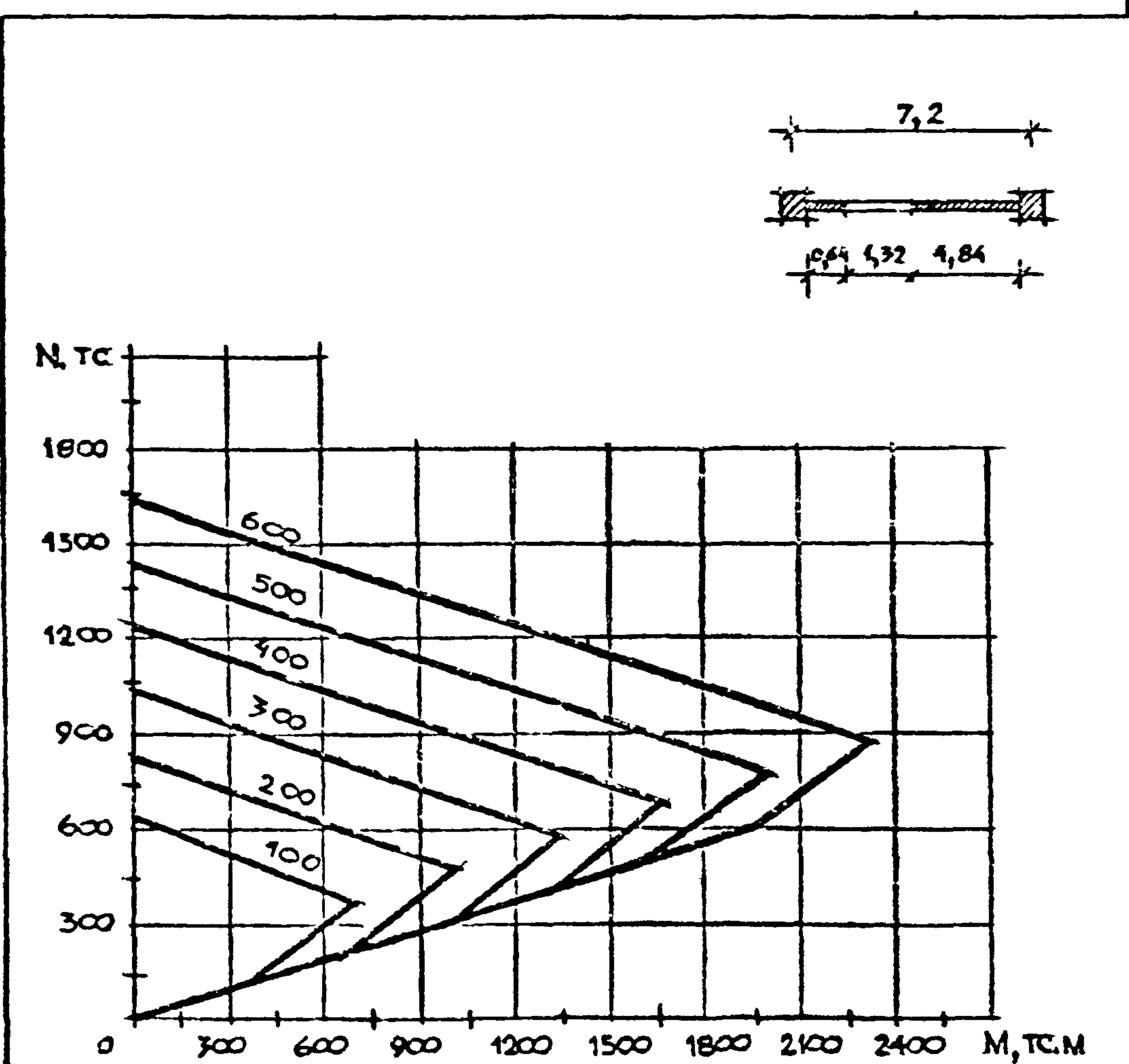


Прочность колонны , тс	$N_a$ тс	$N_b$ тс	$M_b$ тсм	$N_c$ тс	$M_c$ тсм
100	744	372	822	100	360
200	944	472	1182	200	720
300	1144	572	1542	300	1080
400	1344	672	1902	400	1440
500	1544	772	2262	500	1800
600	1744	872	2622	600	2160

$\Sigma x \cdot 32826 \approx 37$

1.020 - 1 | 87. 0-3-0513

ХЛСТ  
13



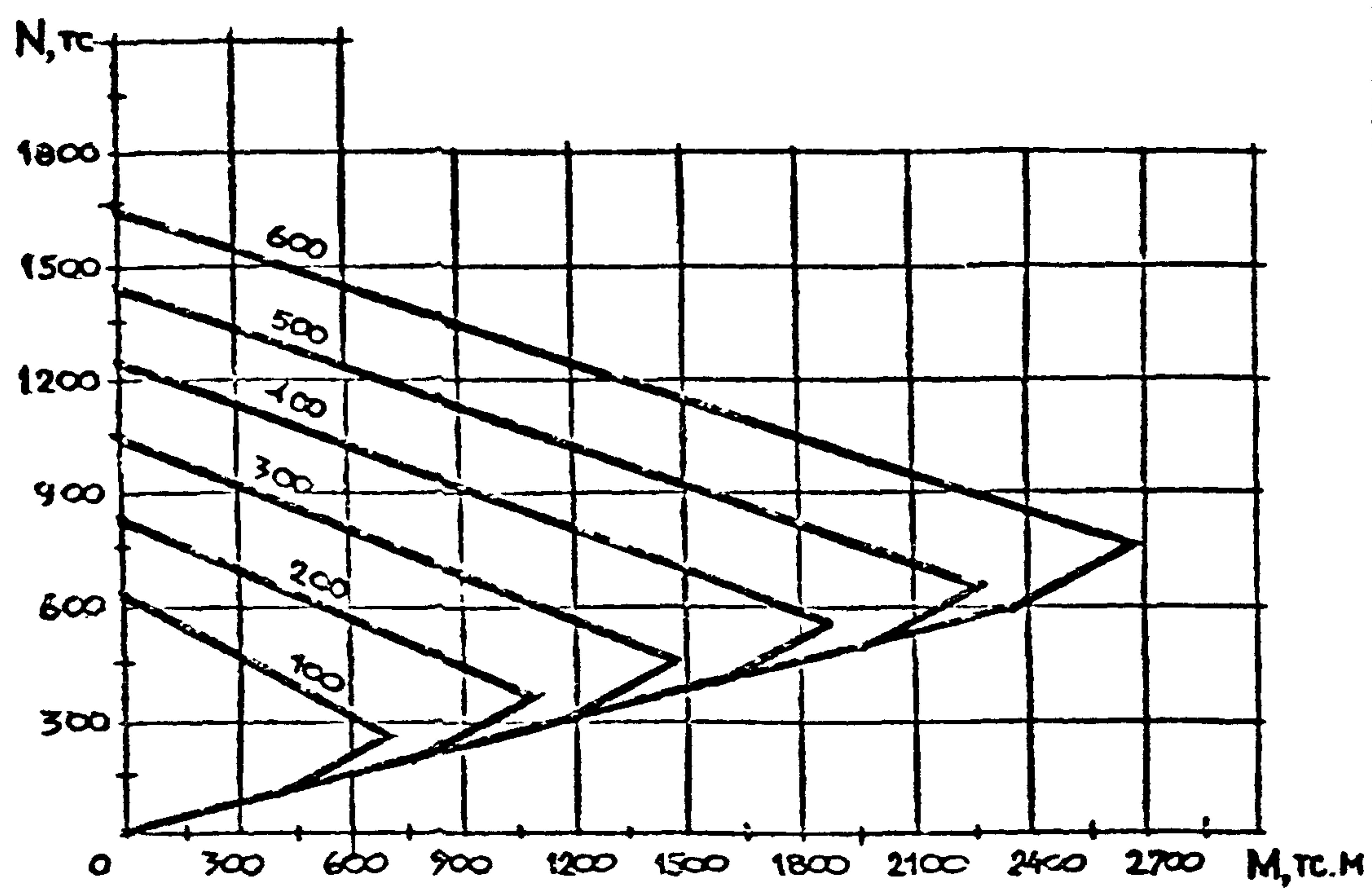
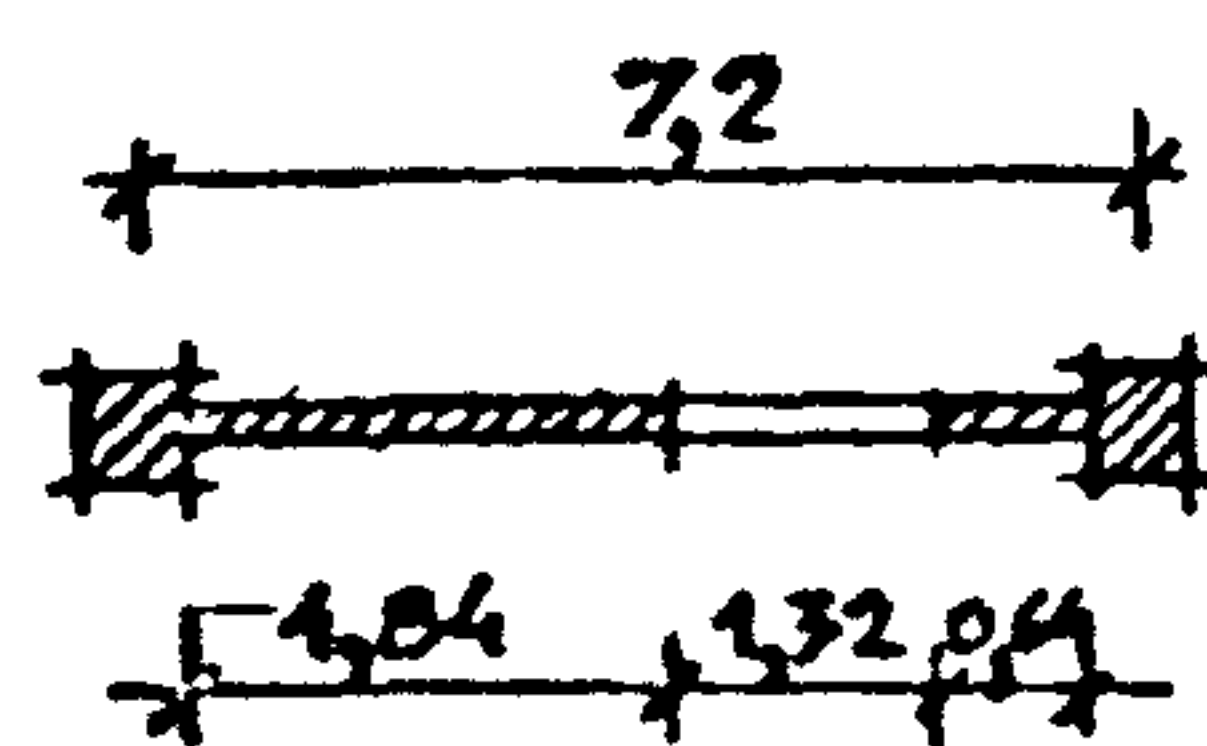
Прочность колонны , тс	$N_a$	$N_b$	$M_b$ тсм	$K_c$	$M_c$ тсм
	тс	тс		тс	тсм
100	638	372	692	100	325
200	838	472	1017	200	650
300	1038	572	1343	300	975
400	1238	672	1668	400	1300
500	1438	772	1993	500	1625
600	1638	872	2318	600	1950

Бх. 32826 л 38

1.020 - 1 | 87. 0-3-05п3

Лист
14

38

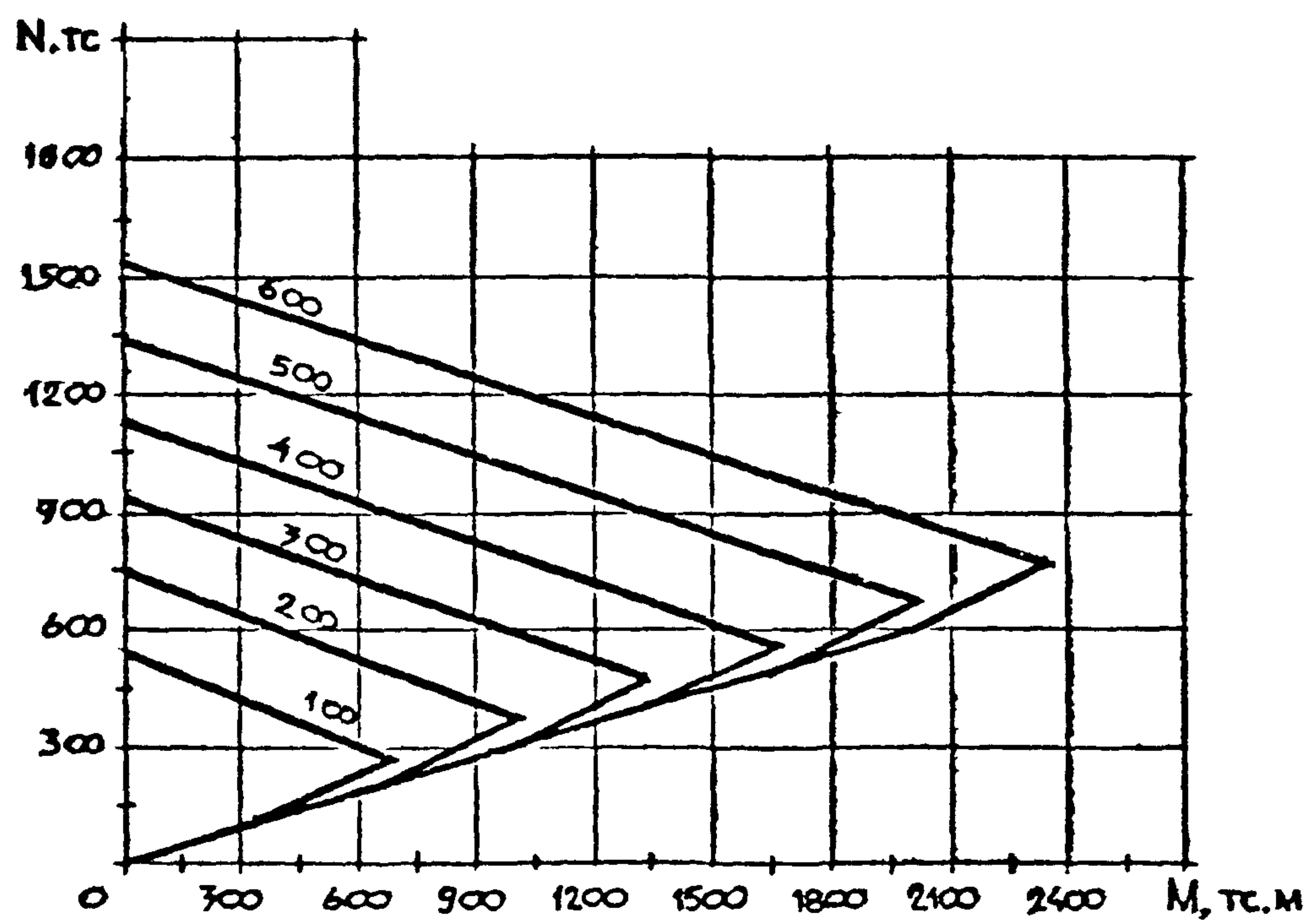
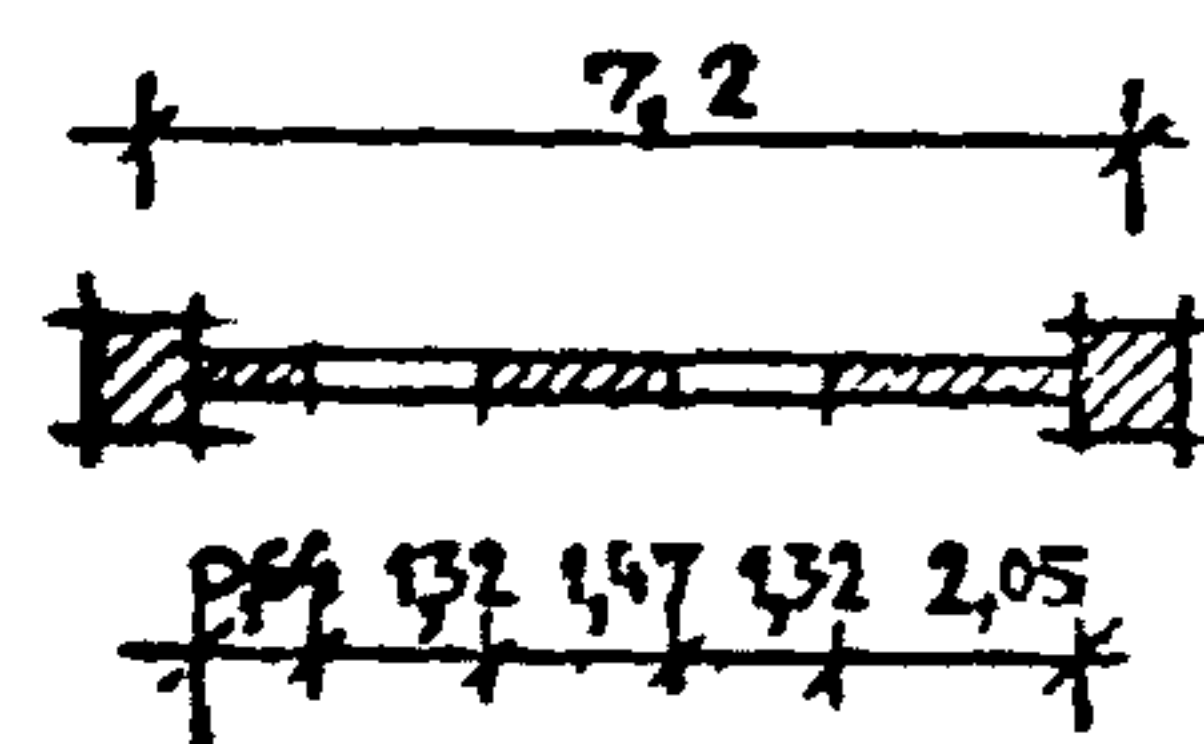


ММД. Н. ПОДЛУГИХА И УДАЧА БЫМ. ИНДУСТРИЯ

 $\beta \times 32826 \text{ л. 33}$ 

4.020-1/87. 0-3-05 ПЗ

Лист 15



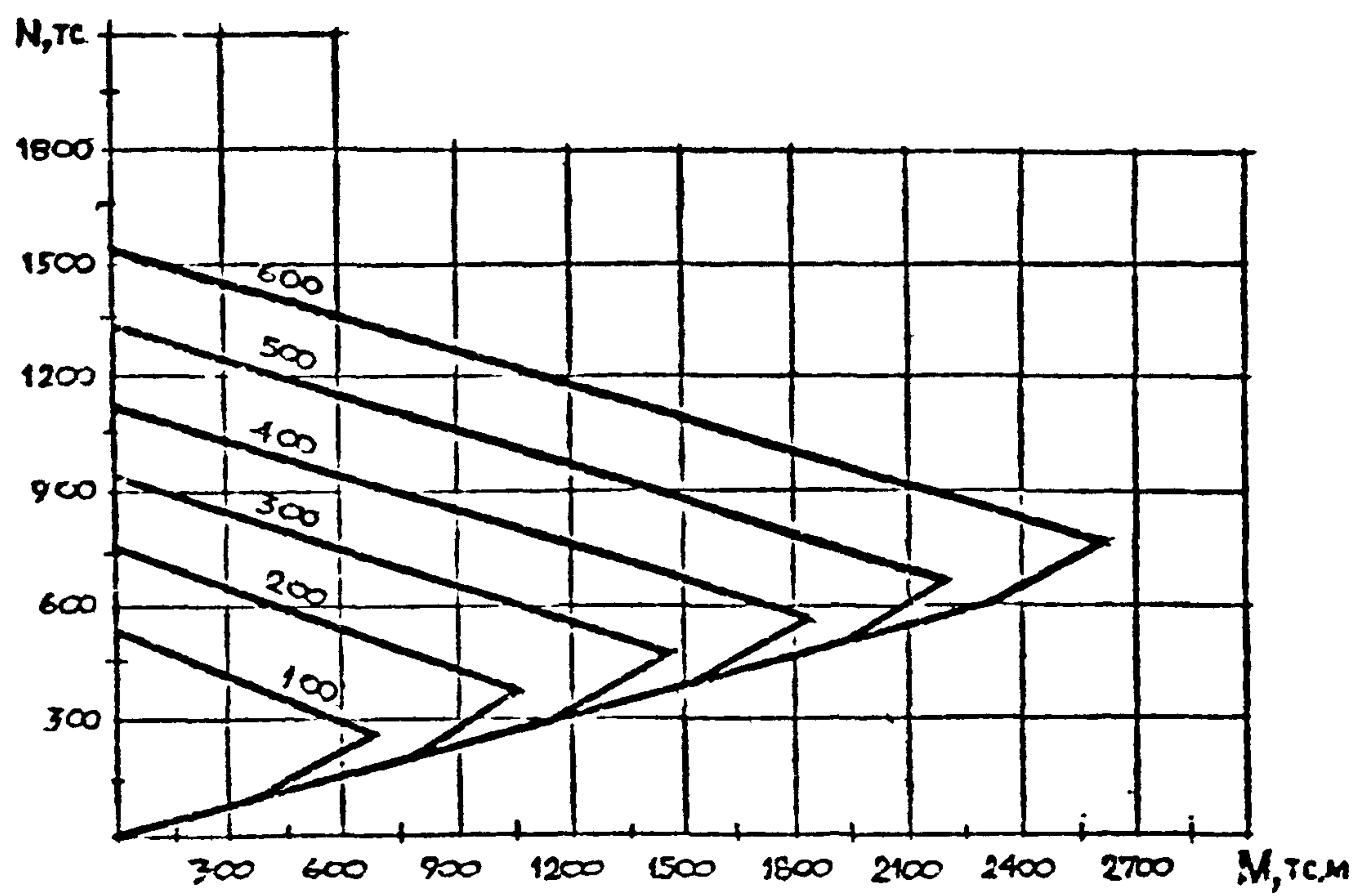
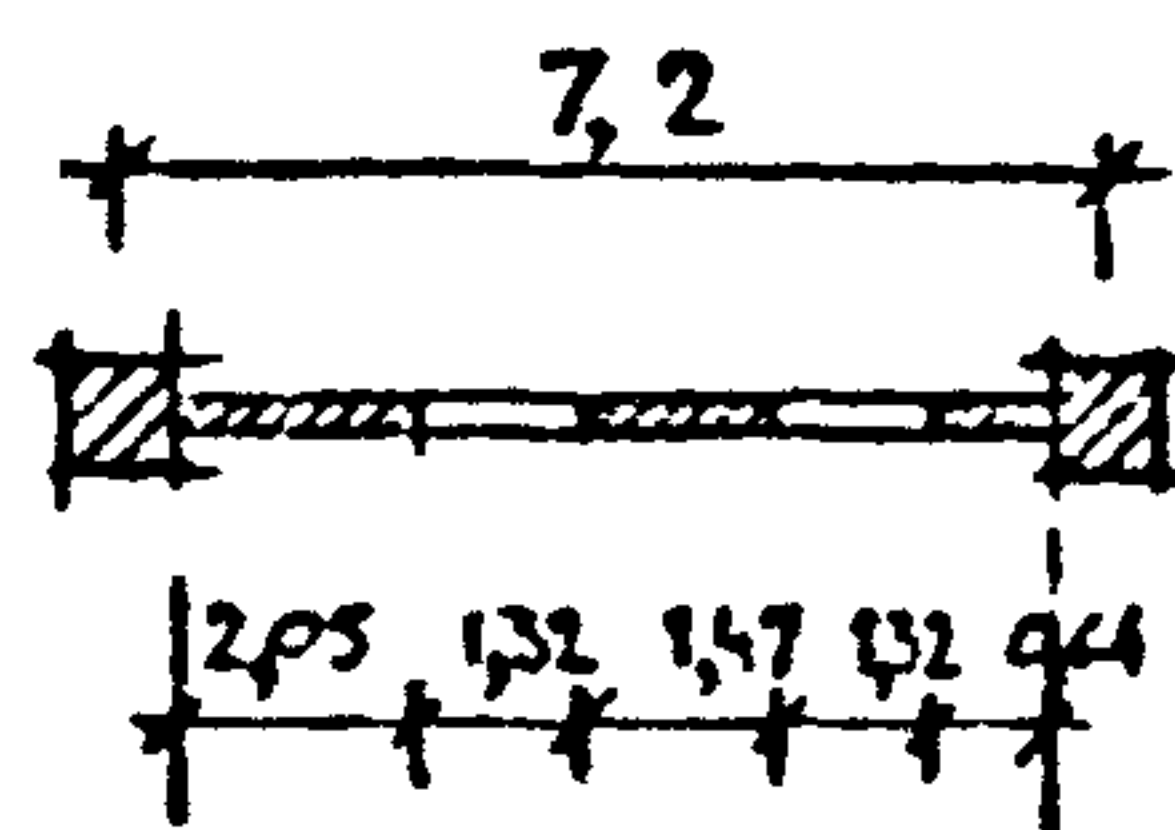
Прочность колонны , тс	$N_a$ тс	$N_b$ тс	$M_s$ тсм	$N_e$ тс	$M_c$ тсм
100	532	266	674	100	331
200	732	366	1006	200	663
300	932	466	1338	300	995
400	1132	566	1670	400	1327
500	1332	666	2002	500	1659
600	1532	766	2334	600	1991

$\beta_x = 32,826 \text{ и. 45}$

1.020-1/87. 0-3-05П3

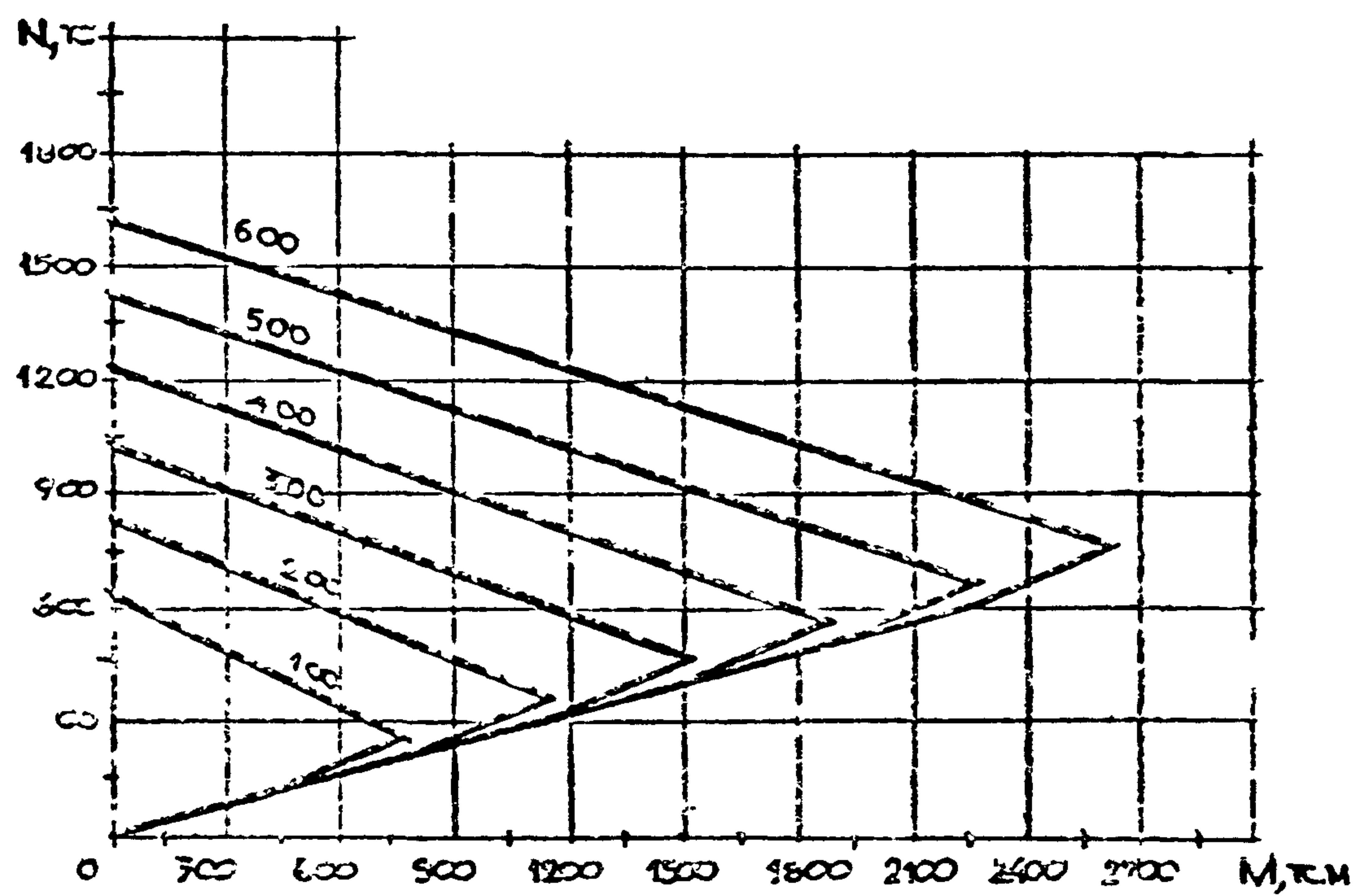
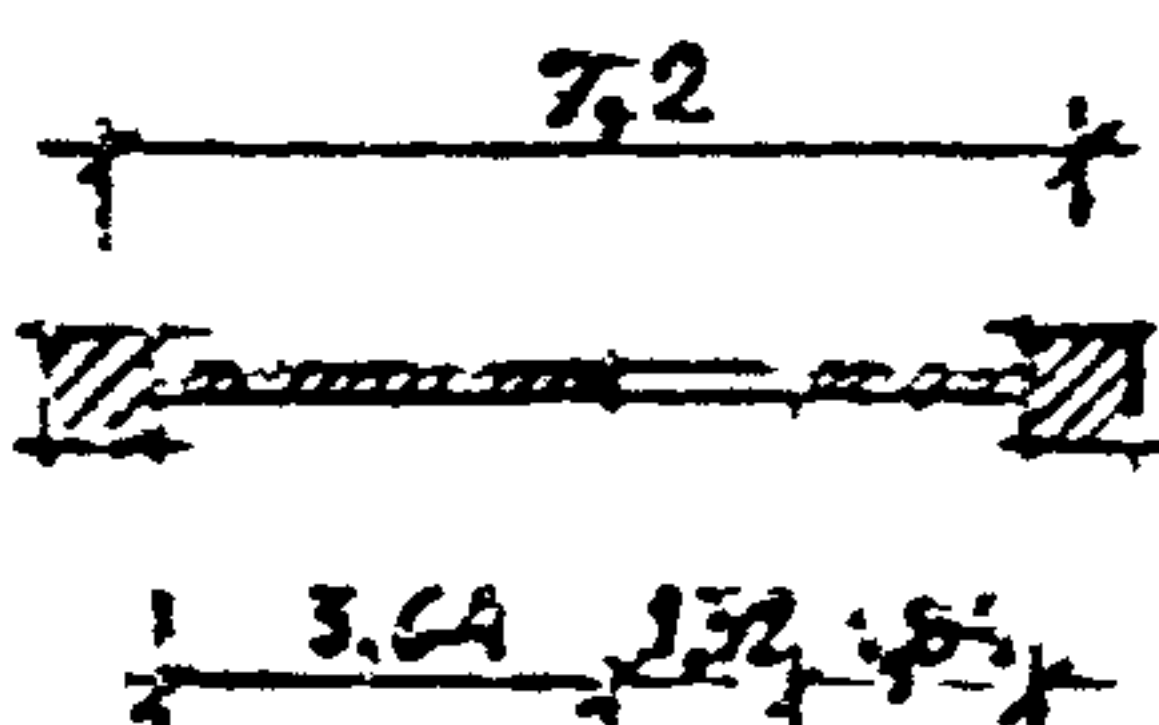
Лист 16

40



Прочность колонны , тс	$N_a$	$N_b$	$M_b$	$N_c$	$M_c$
	тс	тс	тсм	тс	тсм
100	532	266	675	100	388
200	732	366	1063	200	776
300	932	466	1451	300	1164
400	1132	566	1839	400	1552
500	1332	665	2227	500	1940
600	1532	766	2615	600	2328

41



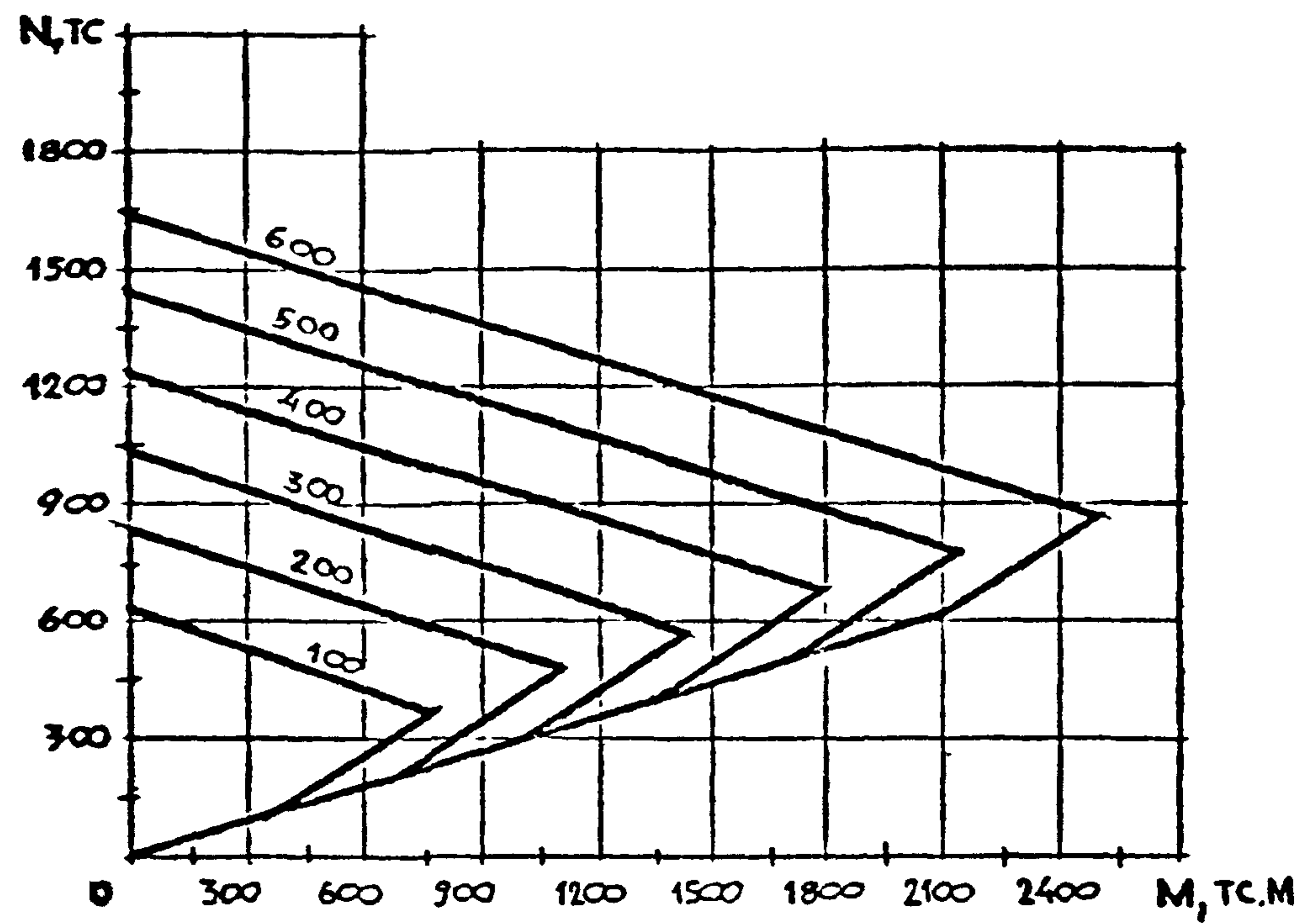
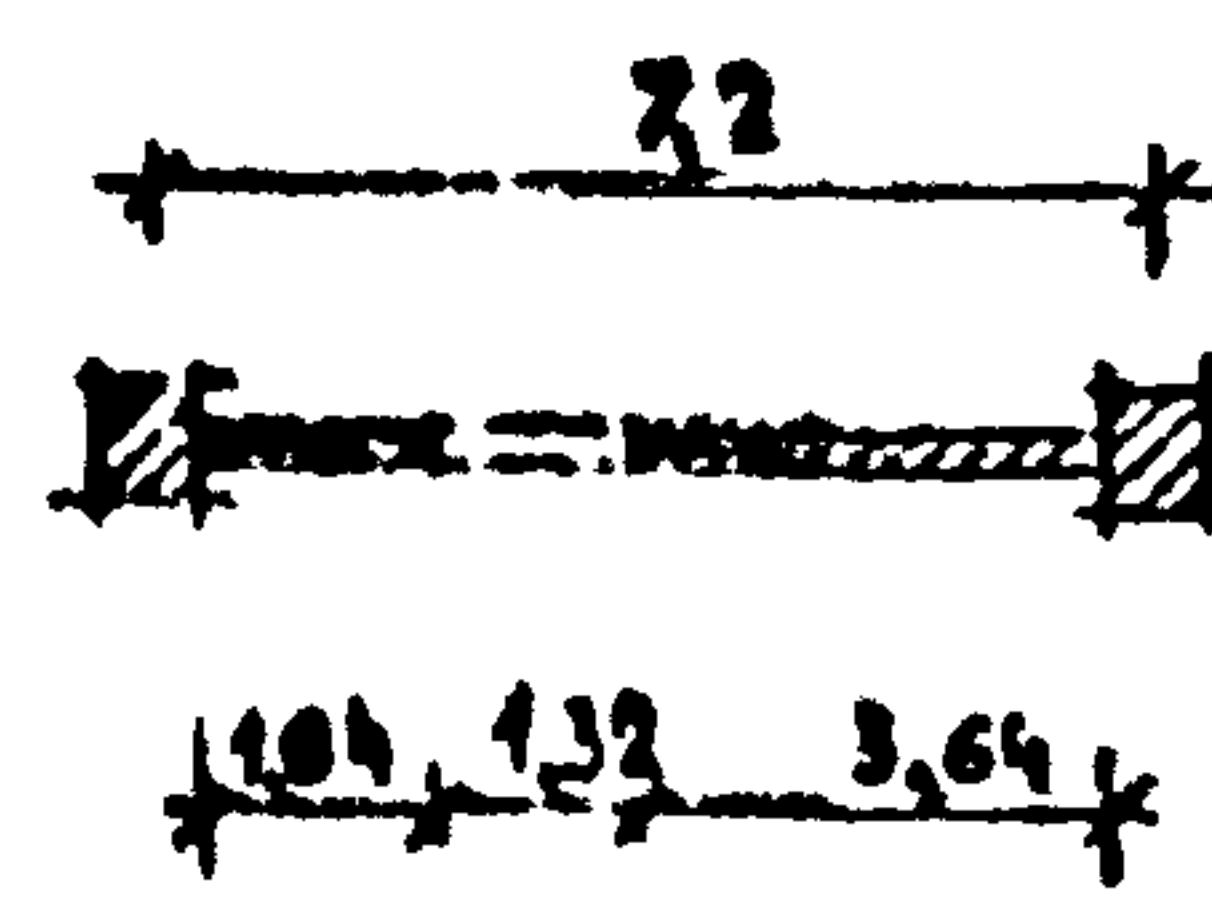
СКОРОСТЬ ВОЗДУХА m/c	N <sub>a</sub> m/c	N <sub>b</sub> m/c	M <sub>b</sub> kNm	N <sub>c</sub> m/c	M <sub>c</sub> kNm
100	628	266	767	100	374
200	835	366	1142	200	749
300	1038	466	1517	300	1124
400	1238	566	1892	400	1499
500	1438	666	2266	500	1874
600	1638	766	2641	600	2249

$\beta_x = 32826 \pm 4\%$

Л020-4187. 0-3-05П3

Лист 18

42



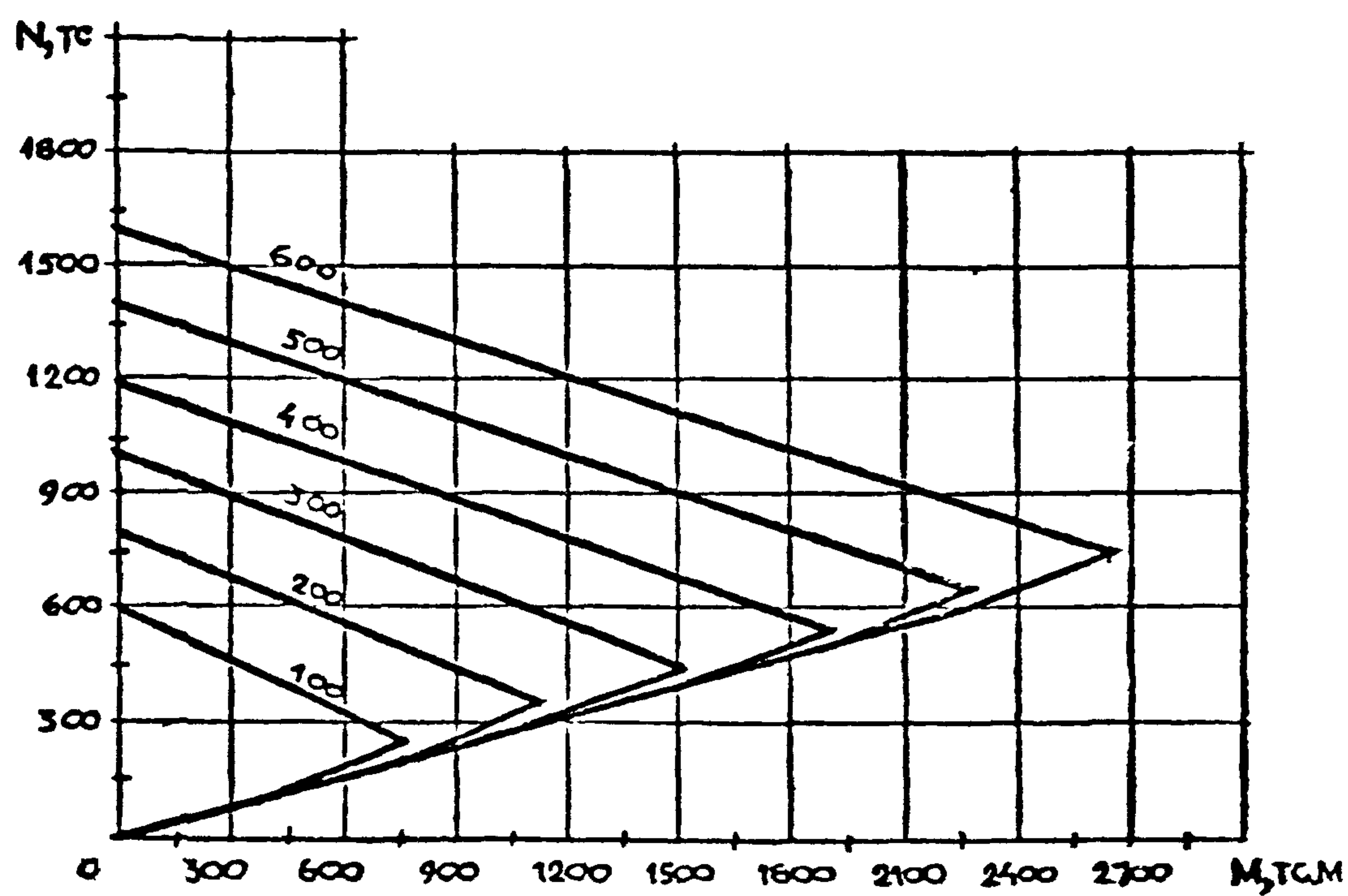
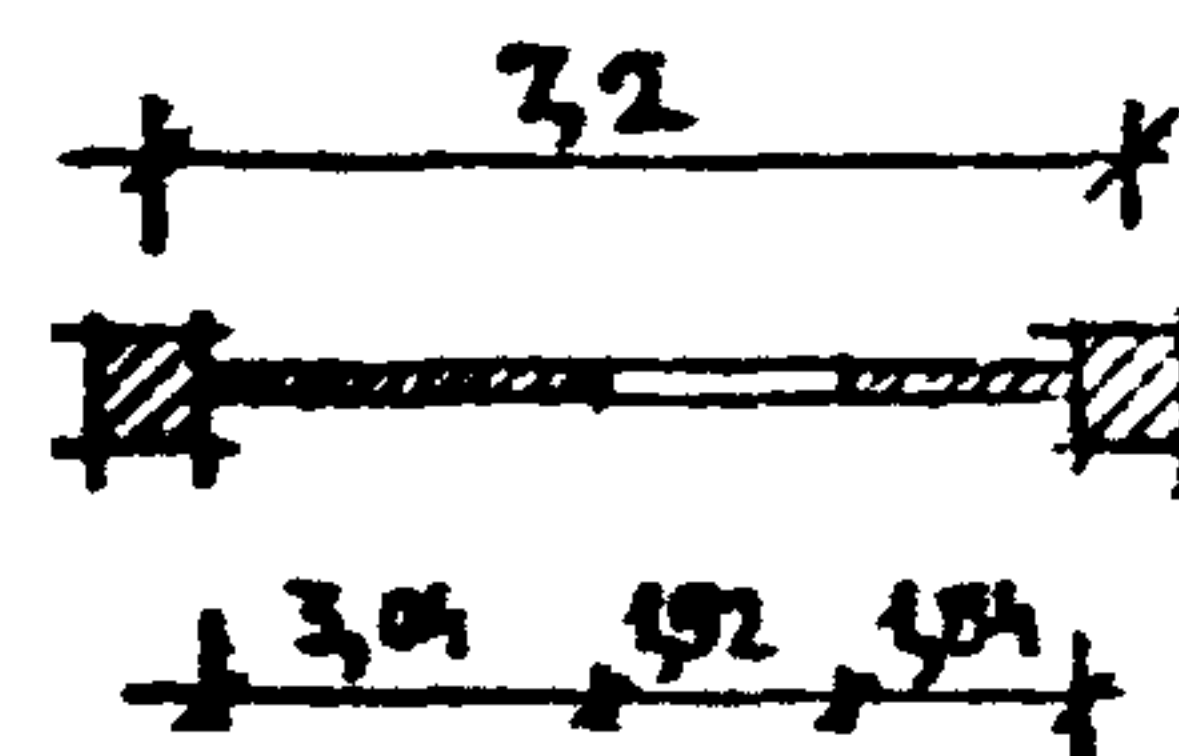
Прочность колонны, ТС	$N_a$ , ТС	$N_s$ , ТС	$M_b$ , ТС.М	$N_c$ , ТС	$M_c$ , ТС.М
100	638	372	766	100	345
200	838	472	1111	200	690
300	1038	572	1456	300	1035
400	1238	672	1802	400	1380
500	1438	772	2147	500	1725
600	1638	872	2492	600	2070

$\beta \times 32826$  л. 43

1.020 - 4/67. 0-3-05п3

Лист 19

43



УЧЕБНО-ПОДСТАВНАЯ АДАПТИВНАЯ

Прочность  
колонны ,  
тсN<sub>a</sub>  
тсN<sub>b</sub>  
тсM<sub>b</sub>  
тсмN<sub>c</sub>  
тсM<sub>c</sub>  
тсм

I00	590	247	763	100	375
200	790	347	1139	200	751
300	990	447	1515	300	1126
400	1190	547	1890	400	1502
500	1390	647	2266	500	1878
600	1590	747	2642	600	2253

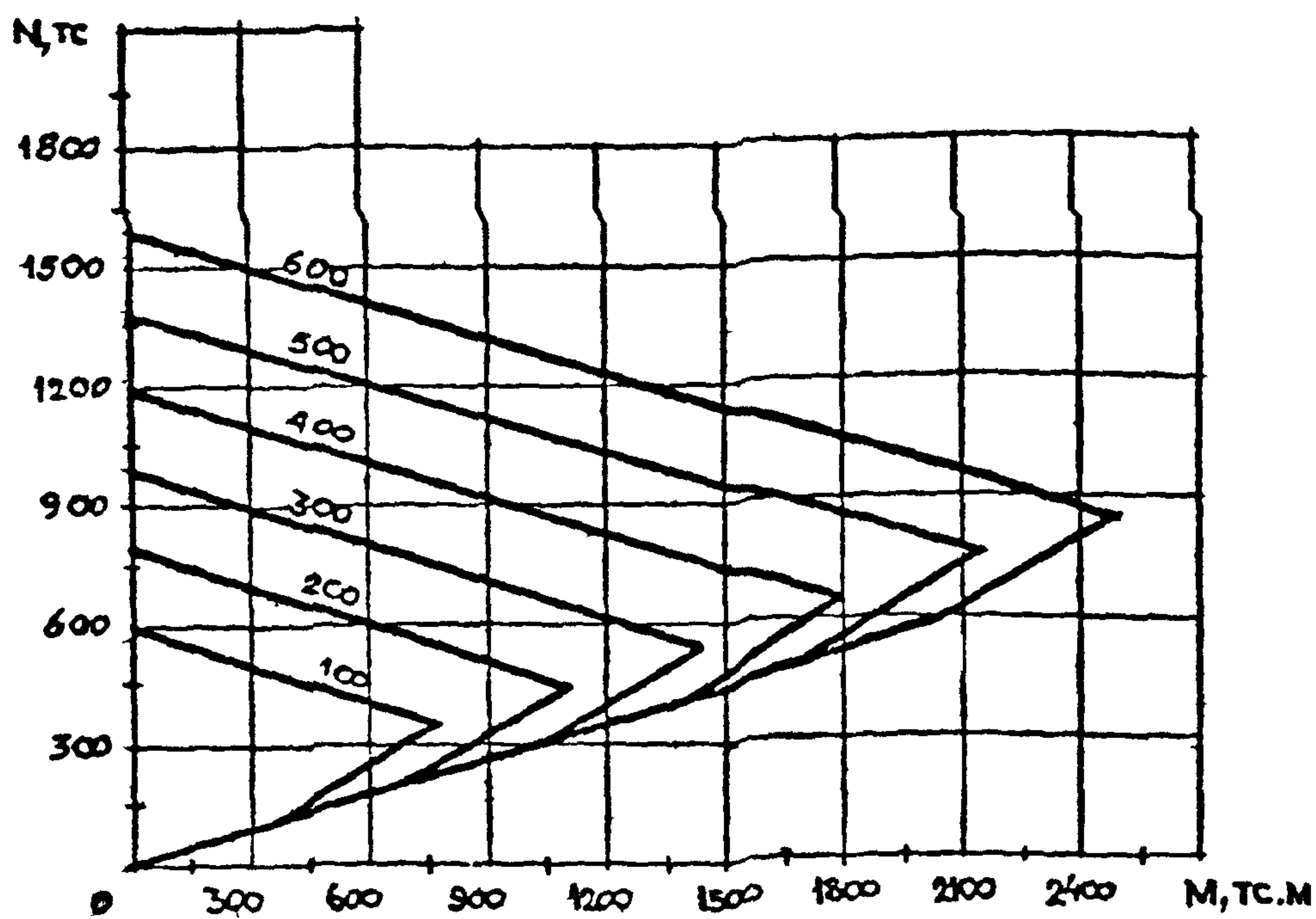
Бх. 32826 №. 44

4.020-1/87. 0-3-05п3

АНЕТ  
20

44

7,2  
 1,84 1,92 3,04



Прочность  
столбца  
TC

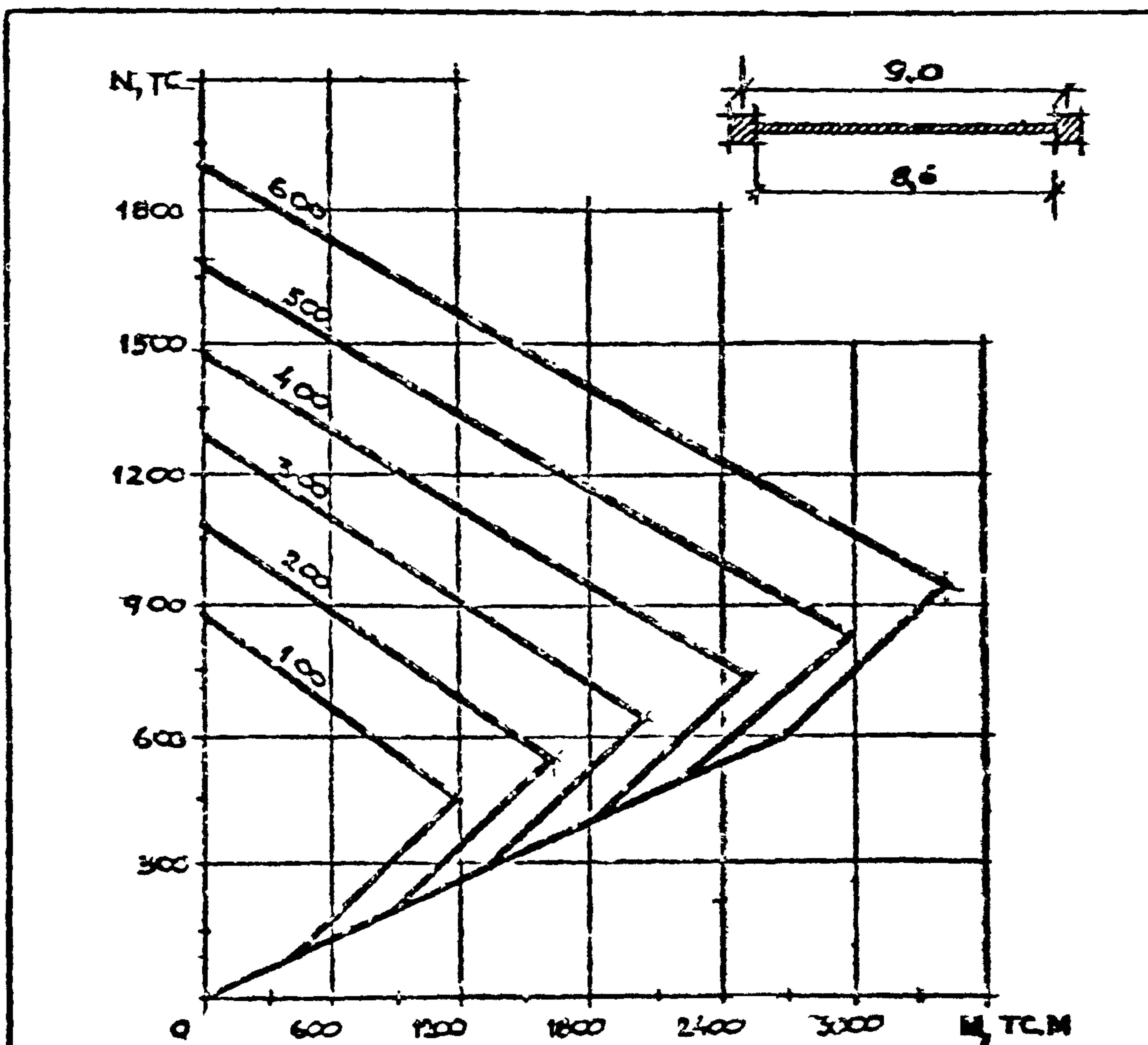
Прочность столбца TC	$N_a$ TC	$N_b$ TC	$M_b$ TC.M	$N_e$ TC	$M_c$ TC.M
100	590	343	763	100	344
200	790	443	1107	200	688
300	990	543	1452	300	1033
400	1190	643	1796	400	1377
500	1390	743	2140	500	1721
600	1590	843	2485	600	2066

$\beta_x 32826 145$

1.020-1|87. 0-3-05п3

Лист  
21

45



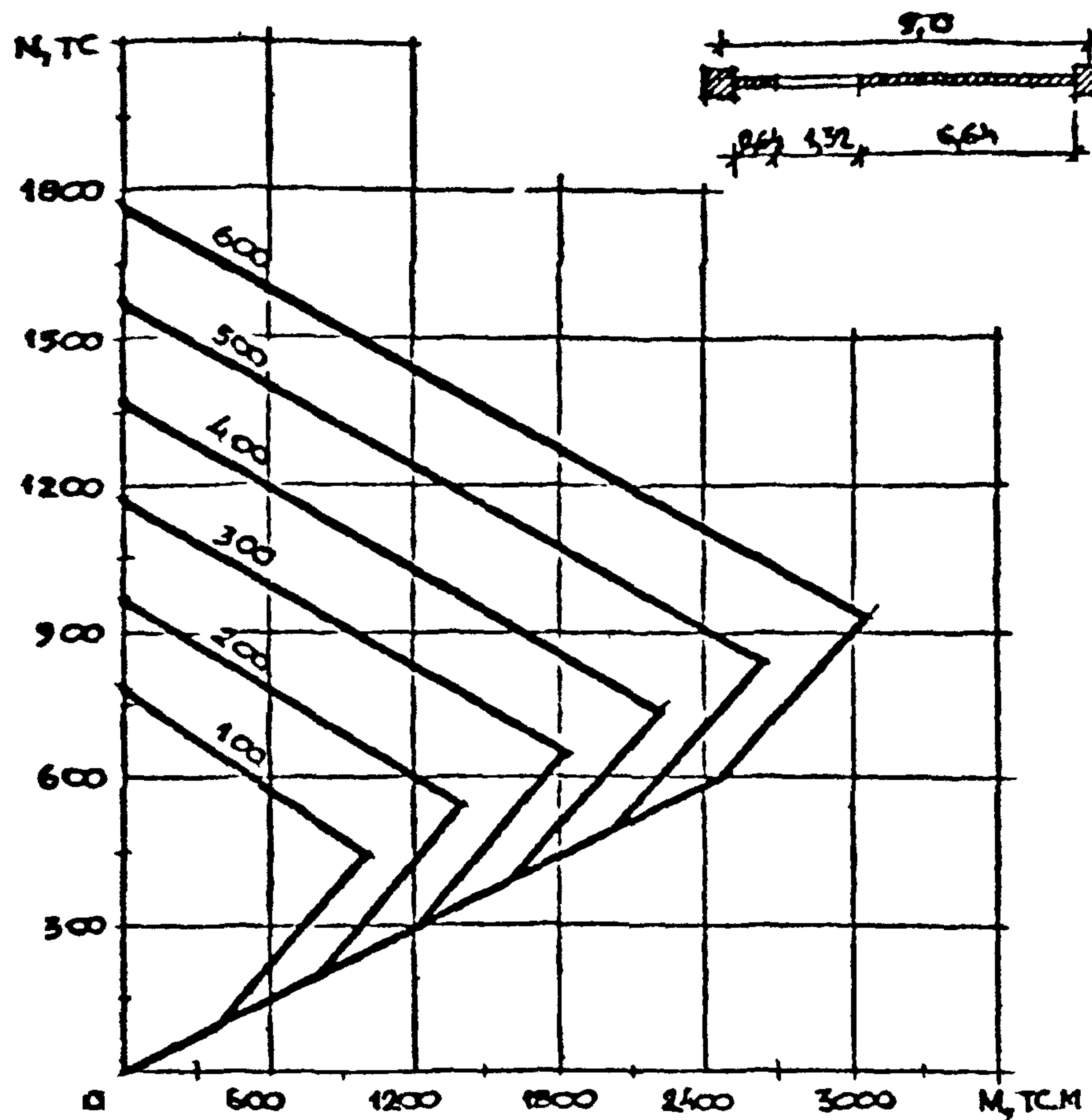
Прочность колонки, тс	$N_a$ , тс	$N_b$ , тс	$M_s$ , тсм	$M_c$ , тс	$M_e$ , тсм
100	888	444	1189	333	450
200	1088	544	1639	233	900
300	1288	644	2089	333	1350
400	1488	744	2539	433	1800
500	1688	844	2989	533	2250
600	1888	944	3439	633	2700

$\beta_x = 32826 \sqrt{46}$

1.020 - 1/87. 0-3-0513

АНСТ  
22

46



Прочность  
столбов :  
тс

$N_a$   
тс

$N_b$   
тс

$M_s$   
тсм

$N_c$   
тс

$M_c$   
тсм

100	782	444	1009	100	409
200	982	544	1418	200	818
300	1182	644	1828	300	1228
400	1382	744	2237	400	1637
500	1582	844	2646	500	2047
600	1782	944	3056	600	2456

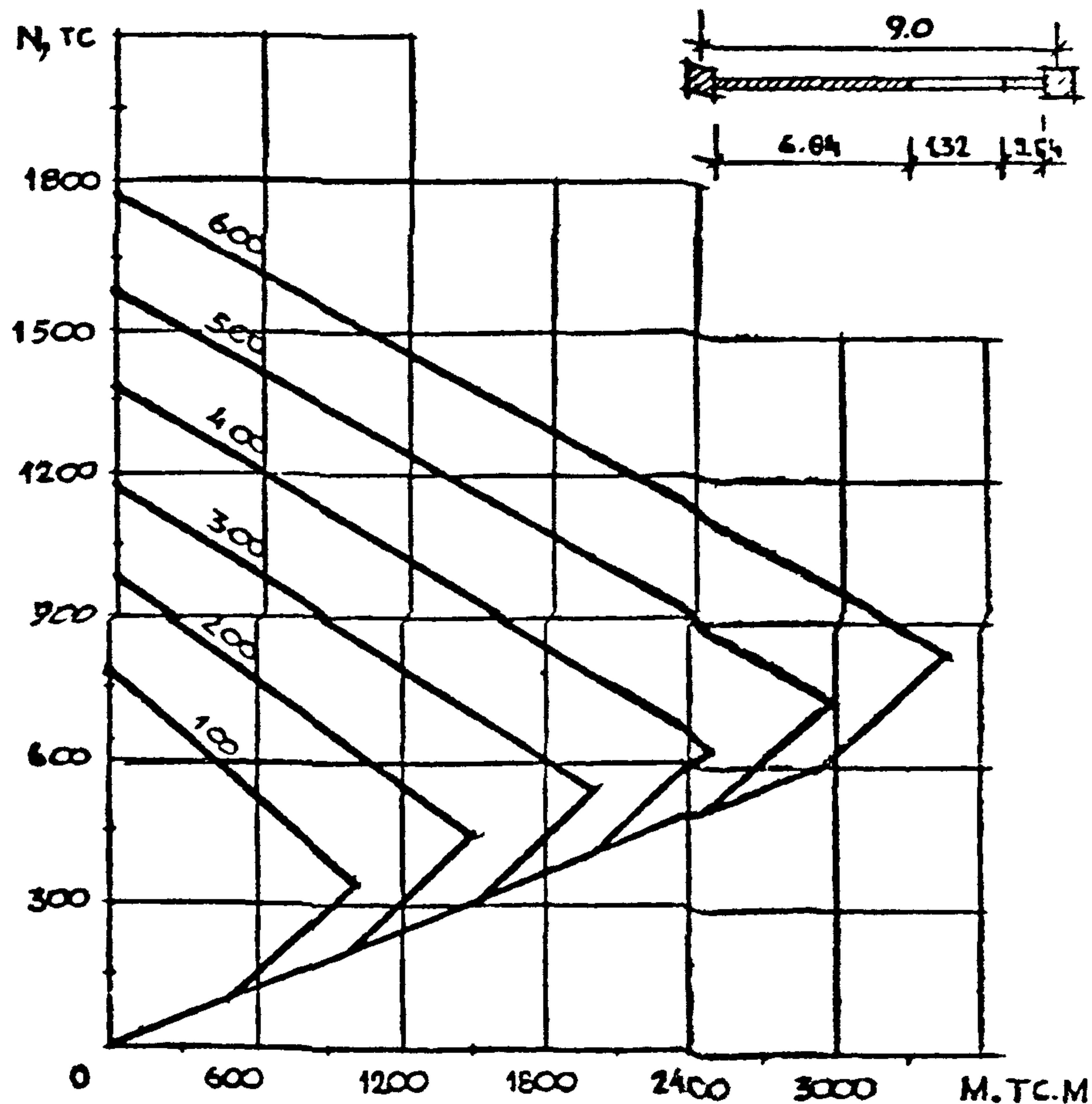
Бх. 32826 в. 1+

1.020 - 1/87. 0-3-0513

Лист
23

М.Н.ЮДА. ПОДПИСЬ И ДАТА

47



Прочность  
колонны :  
тс

$N_a$   
тс

$N_b$   
тс

$M_b$   
тсм

$N_c$   
тс

$M_c$   
тсм

100

782

338

1010

100

490

200

982

438

1500

200

981

300

1182

538

1991

300

1471

400

1382

638

2481

400

1962

500

1582

738

2972

500

2453

600

1782

838

3463

600

2943

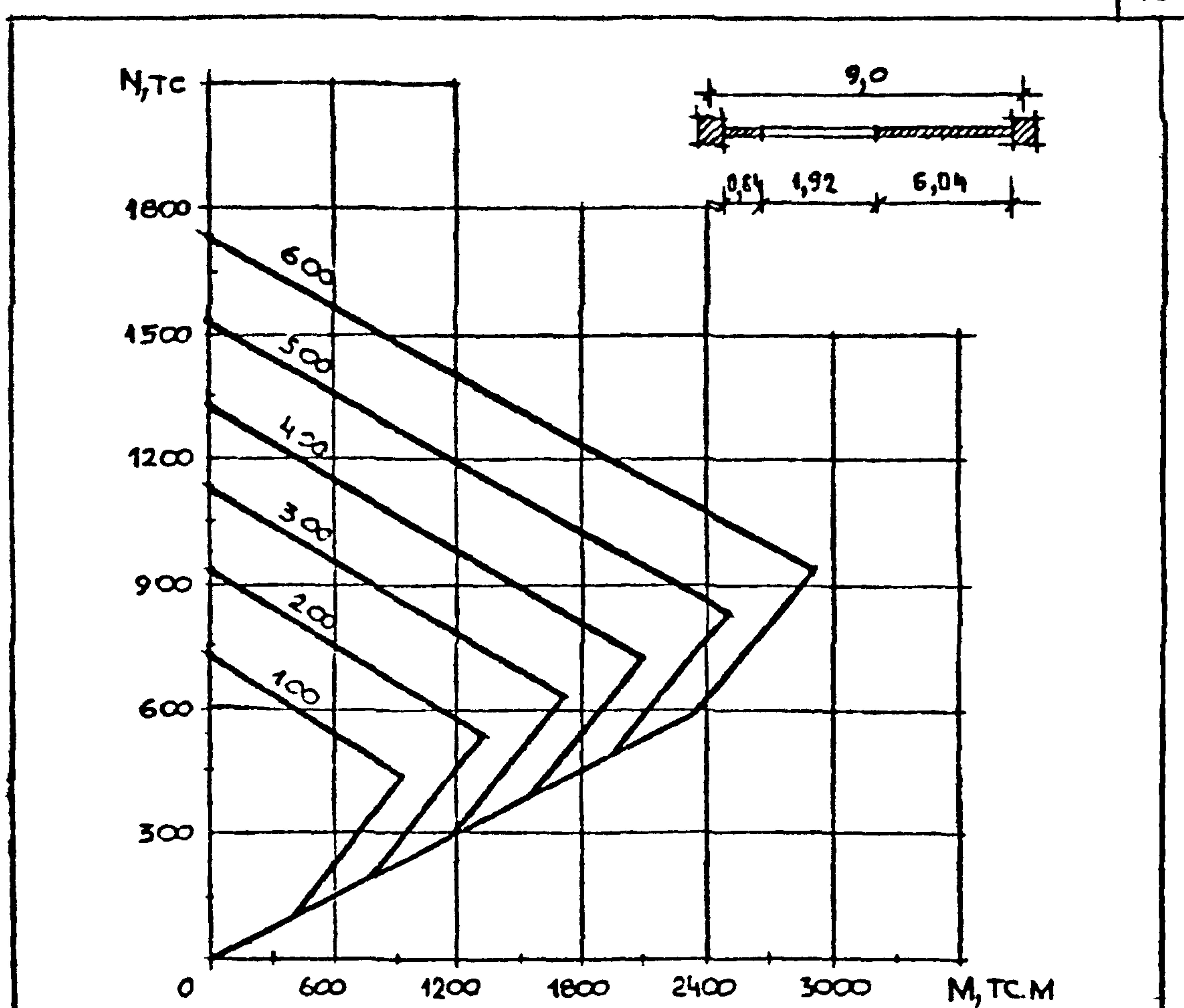
Бх. 32826 л. 48

1.020 - 1/87. 0-3-05п3

Лист
24

ИМЕНИ ПОДЛ.
ИМЕНИ ПОДЛ.

48

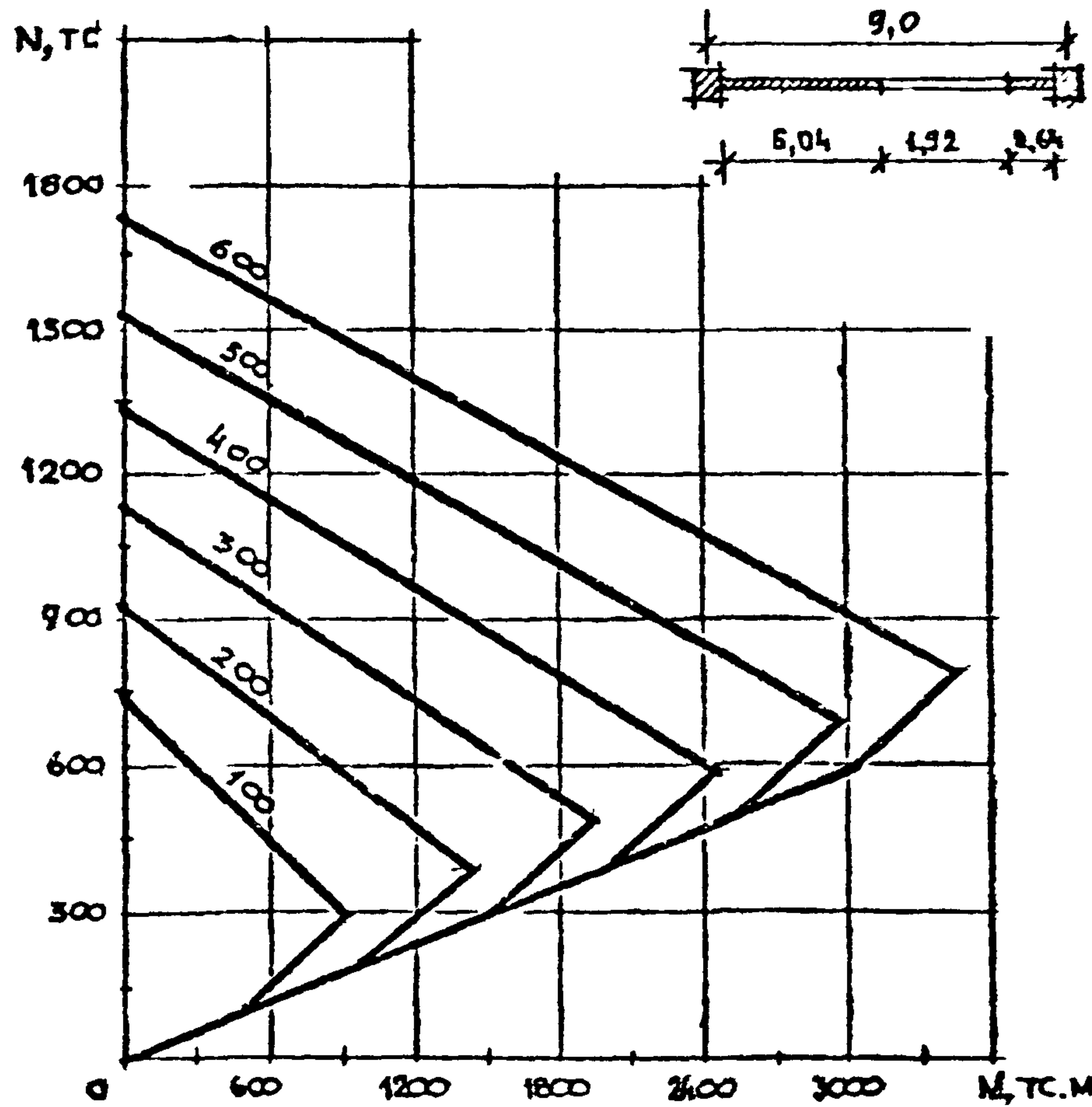


Прочность колонны , тс	$N_a$ тс	$N_b$ тс	$M_b$ тсм	$N_c$ тс	$M_c$ тсм
I00	734	444	938	100	393
200	934	544	1331	200	786
300	1134	644	1724	300	1180
400	1334	744	2118	400	1573
500	1534	844	2511	500	1966
600	1734	944	2904	600	2360

$\beta_3 \times 32826 \text{ и } 49$

1.020 - 1 | 87. 0 - 3 - 05п3

Лист 25

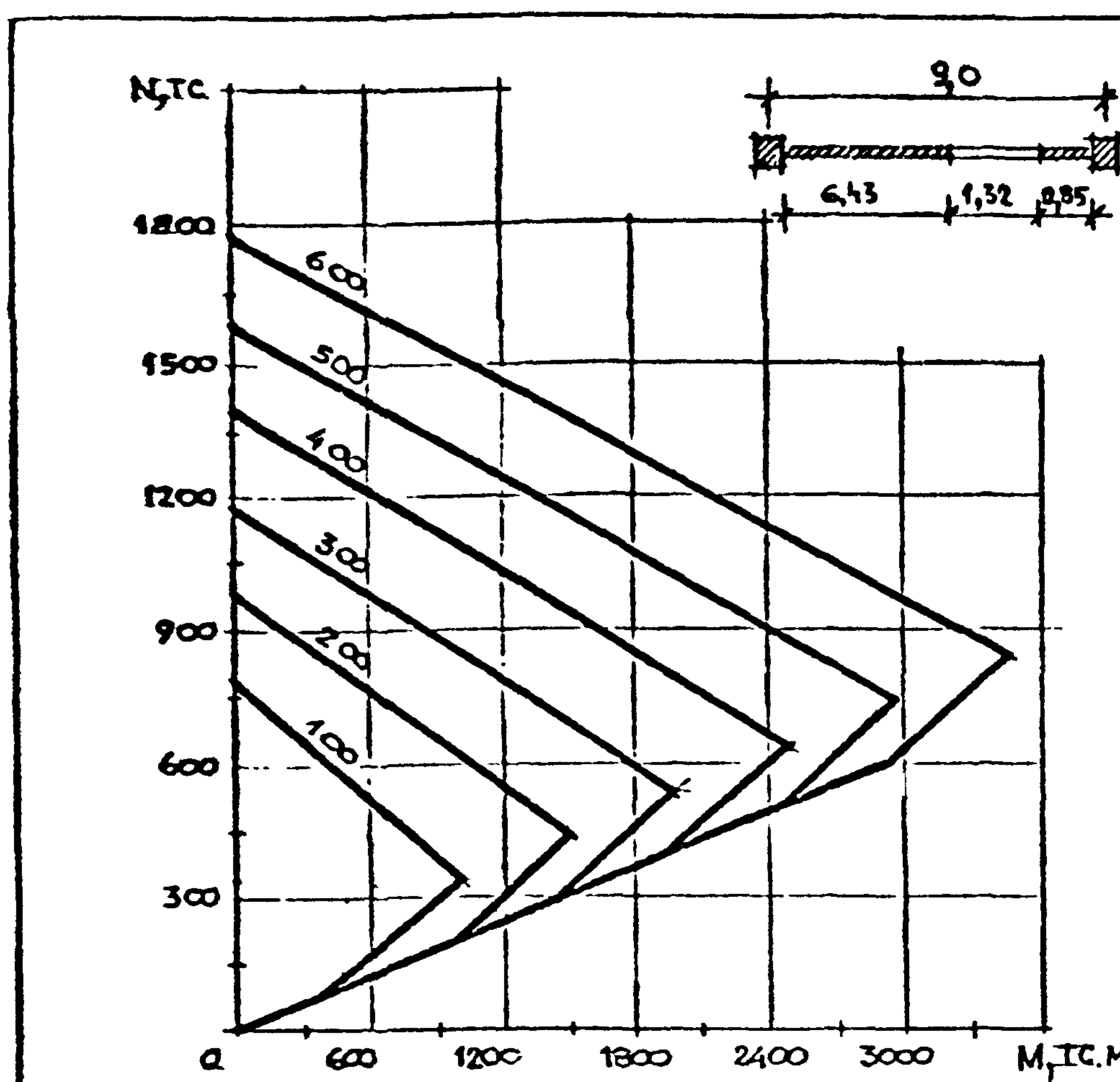


Прочность колонны, тс	$N_a$ , тс	$N_b$ , тс	$M_b$ , тм	$N_c$ , тс	$M_c$ , тм
100	734	290	939	100	506
200	934	390	1445	200	1013
300	1134	490	1952	300	1519
400	1334	590	2459	400	2026
500	1534	690	2965	500	2533
600	1734	790	3472	600	3039

 $\beta \times 32826 \text{ к.} 50$ 

L010-1/87. 0-3-0513

50



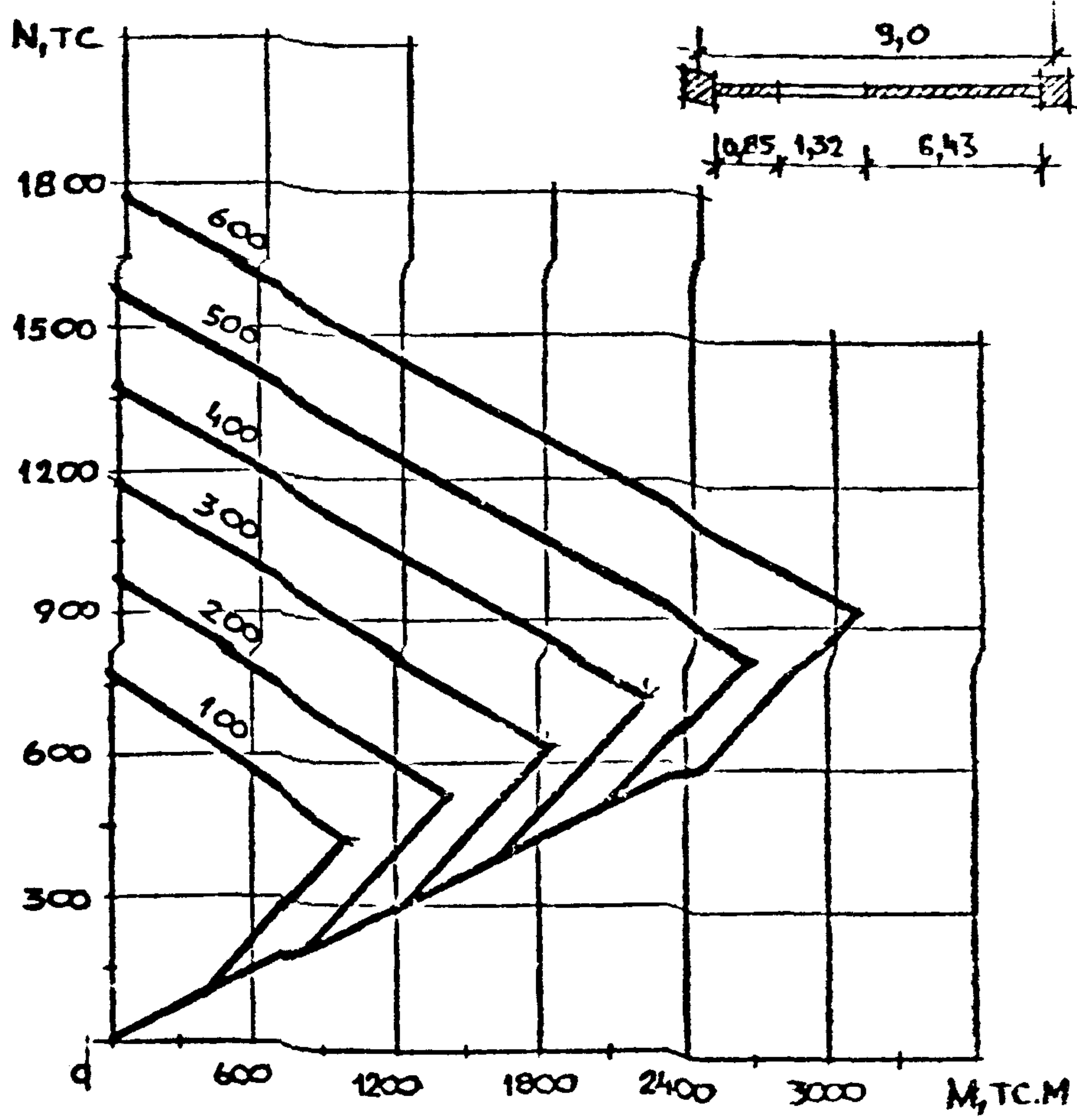
Прочность колонны, тс	$N_a$ тс	$N_b$ тс	$M_b$ тсм	$N_c$ тс	$M_c$ тсм
100	782	338	1022	100	487
200	982	438	1510	200	975
300	1182	538	1998	300	1463
400	1382	638	2486	400	1951
500	1582	738	2973	500	2438
600	1782	838	3461	600	2926

$\beta \times 32826 \text{ л.51}$

1.020-1/87. 0-3-05н3

Лист 27

51



Прочность  
колонны ,  
тс

100  
200  
300  
400  
500  
600

$N_a$   
тс

$N_b$   
тс

$M_c$   
тсм

$N_c$   
тс

$M_c$   
тсм

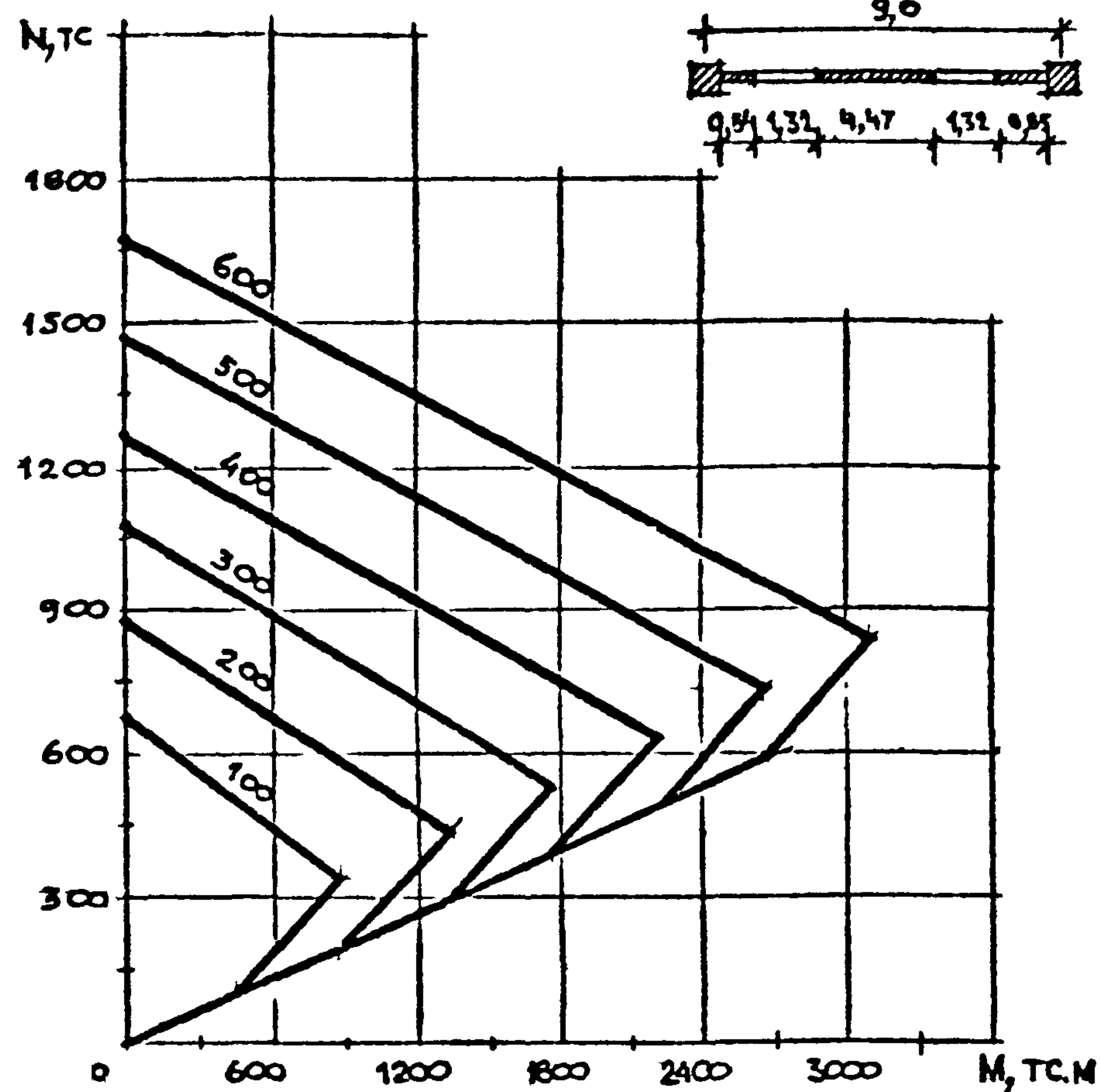
ЧИСЛО ПОДЛЕНЬЯ И МАКС. УДЛЕНЕНИЯ

51x.3282E.1.5-

1.020-1/87. 0-3-0573

АНСТ  
20

52



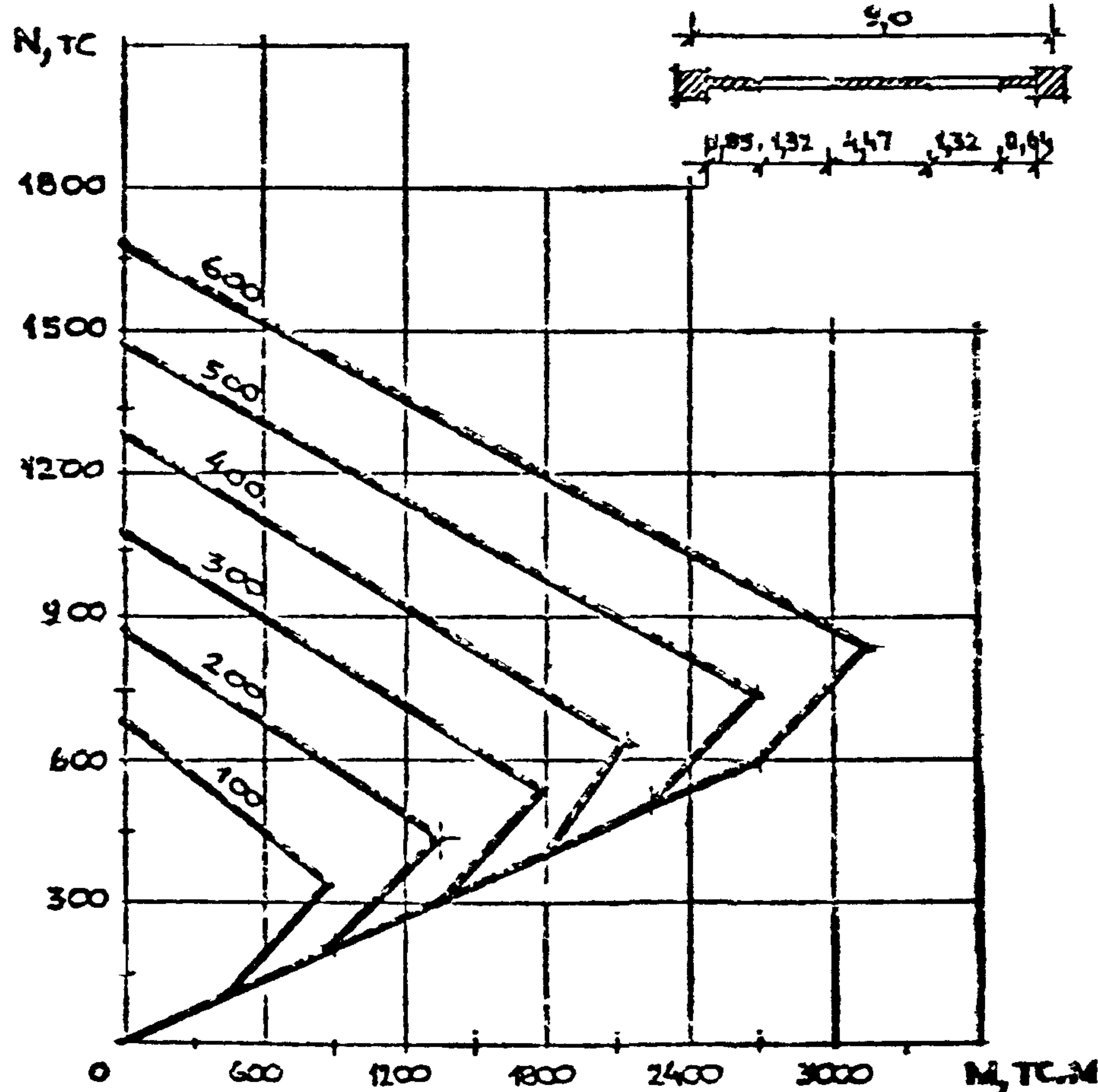
Прочность колонны, тс	$N_a$ тс	$N_b$ тс	$M_b$ тсм	$N_c$ тс	$M_c$ тсм
100	676	338	883	100	446
200	876	438	1330	200	893
300	1076	538	1777	300	1340
400	1276	638	2223	400	1786
500	1476	738	2670	500	2233
600	1676	838	3117	600	2680

 $\beta x 32 \times 26 \text{ л. 53}$ 

Л020-1/87. 0-3-05П3

Лист

29



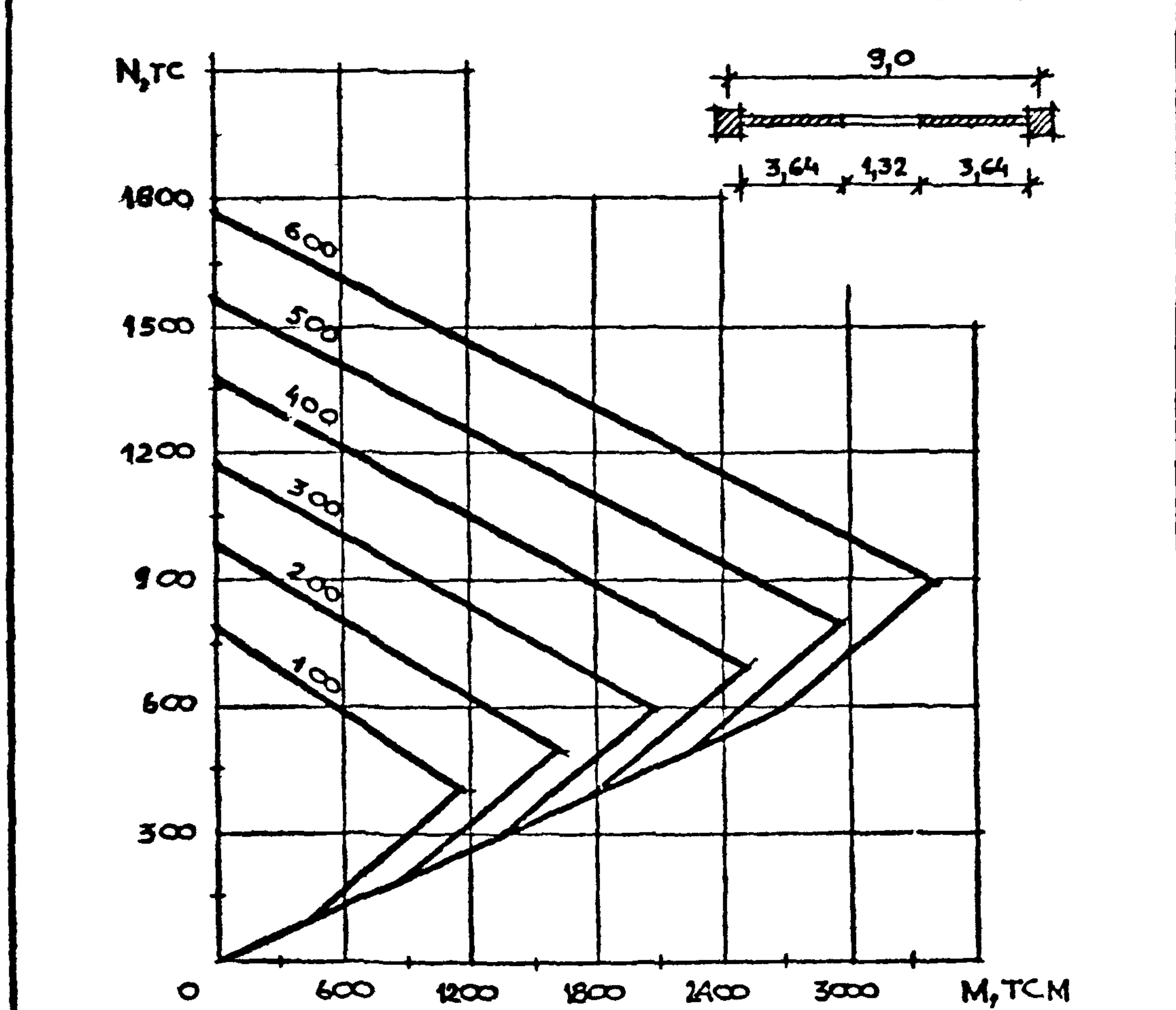
Прочность столбца, тс	$N_a$	$N_b$	$M_c$	$N_c$	$M_c$
	тс	тс	тс·м	тс	тс·м
100	676	338	883	100	453
200	876	438	1337	200	905
300	1076	538	1790	300	1359
400	1276	638	2243	400	1813
500	1476	738	2697	500	2266
600	1676	838	3150	600	2719

*Бх 32826 л. 54*

1.020 - 1 | 87. 0-3-05НЗ

AUGT
30

54



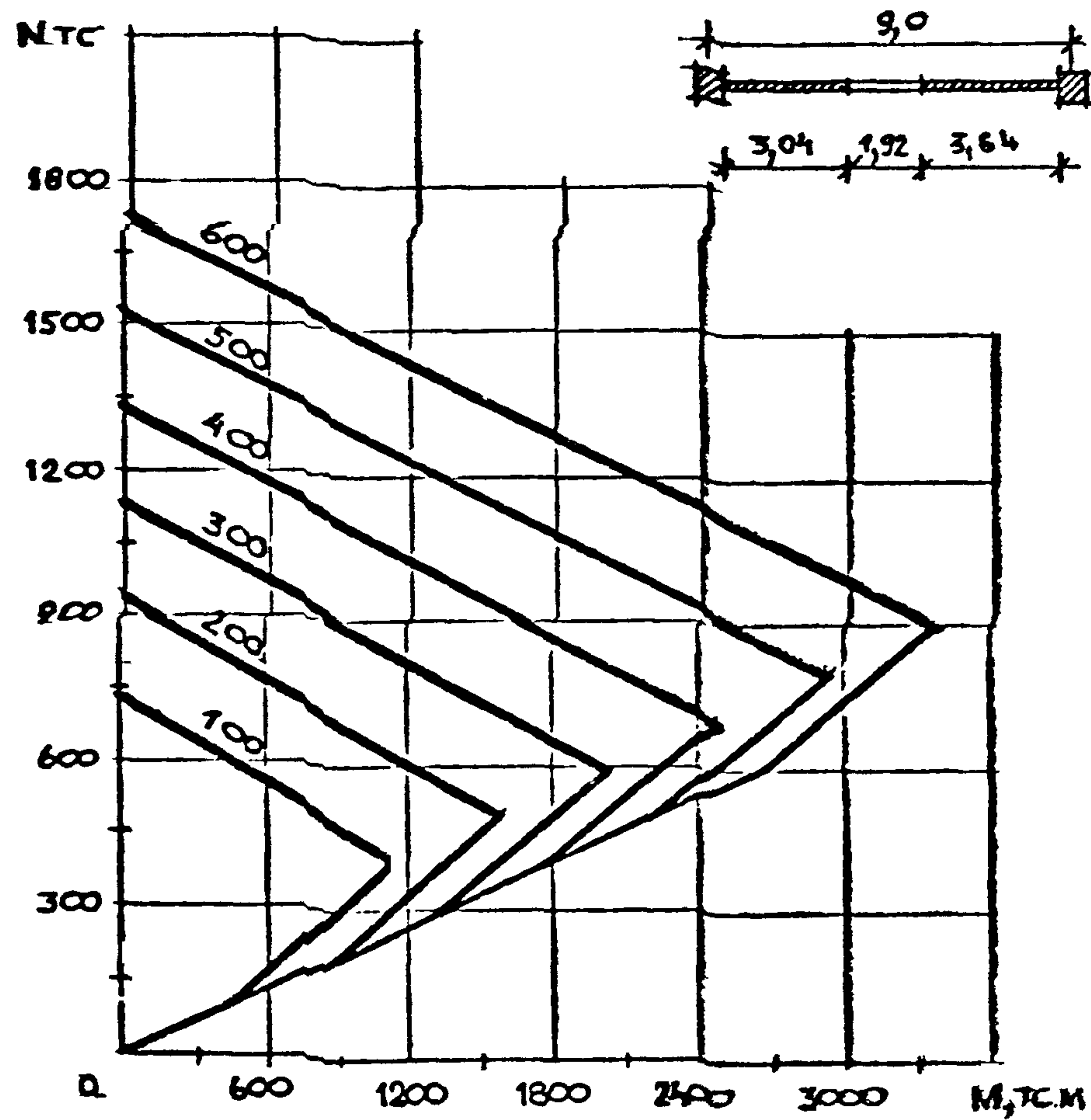
Прочность колонны , тс	$N_a$ тс	$N_b$ тс	$M_b$ тсм	$N_c$ тс	$M_c$ тсм
100	782	391	1172	100	450
200	982	491	1622	200	900
300	1182	591	2072	300	1350
400	1382	691	2522	400	1800
500	1582	791	2972	500	2250
600	1782	891	3422	600	2700

$\beta \times 32.8 \leq 6 \text{ и } 55$

4.020 - 1/87. 0-3-05П3

31

55



Прочность  
колонны ,  
тс

тс

$N_a$   
тс

$N_b$   
тс

$M_f$   
тсм

$N_c$   
тс

$M_c$   
тсм

100

734

391

1147

100

443

200

934

491

1591

200

887

300

1134

591

2034

300

1331

400

1334

691

2478

400

1774

500

1534

791

2922

500

2218

600

1734

891

3366

600

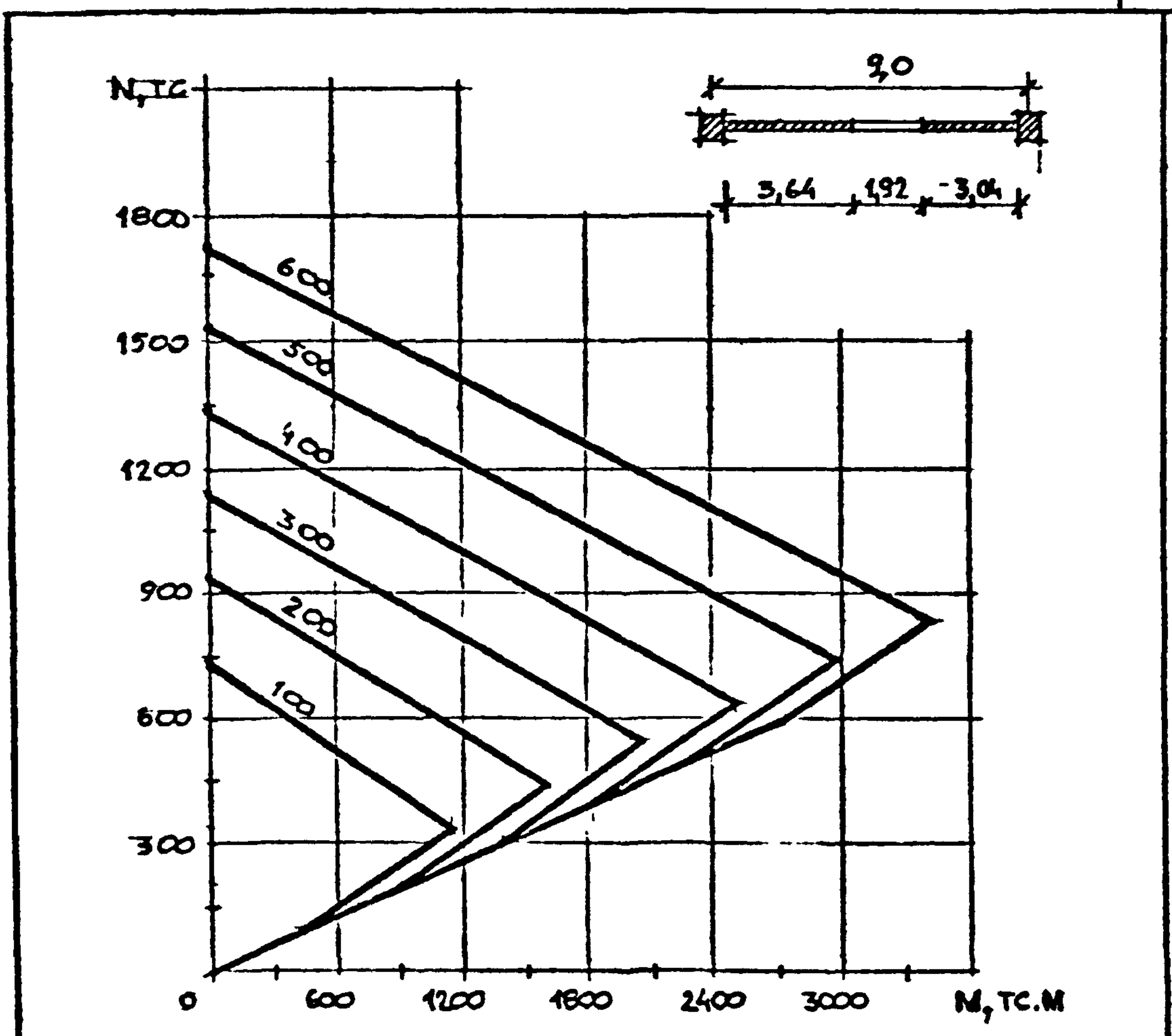
2662

ЧИСЛО ПОДПРОГРАММ  
ЧИСЛО ПОДПРОГРАММ

БК. ЗАЩИТЫ

1.020 - 1|87. 0-3-05П3

Лист
32

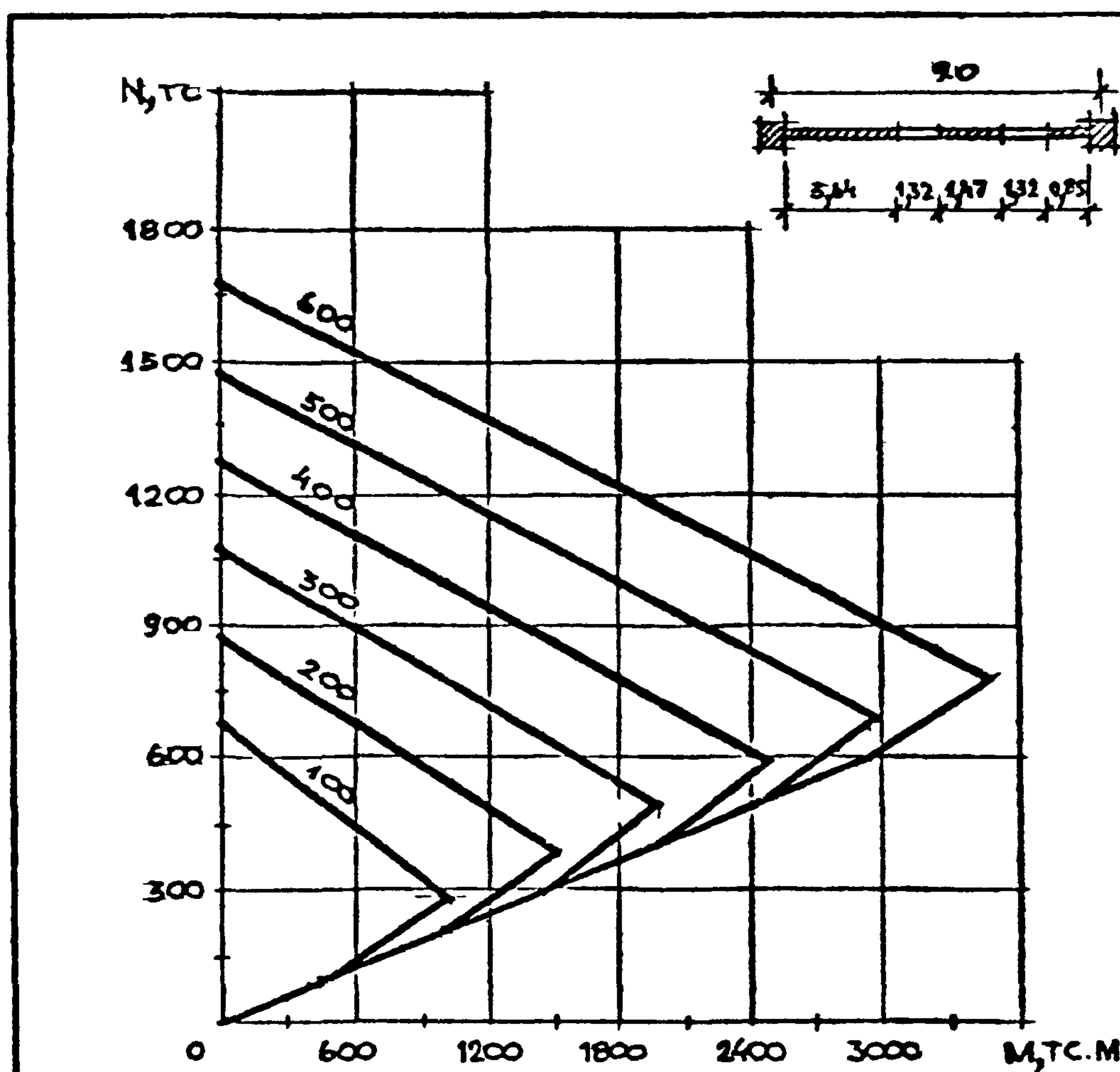


Прочность колонны , тс	$N_a$ тс	$N_b$ тс	$M_b$ тсм	$N_c$ тс	$M_c$ тсм
100	734	343	1147	100	456
200	934	443	1603	200	912
300	1134	543	2060	300	1368
400	1334	643	2516	400	1825
500	1534	743	2972	500	2281
600	1734	843	3429	600	2737

$\beta \times 32826 \text{ и.57}$

1.020-1/87. 0-3-0503

Лист 33

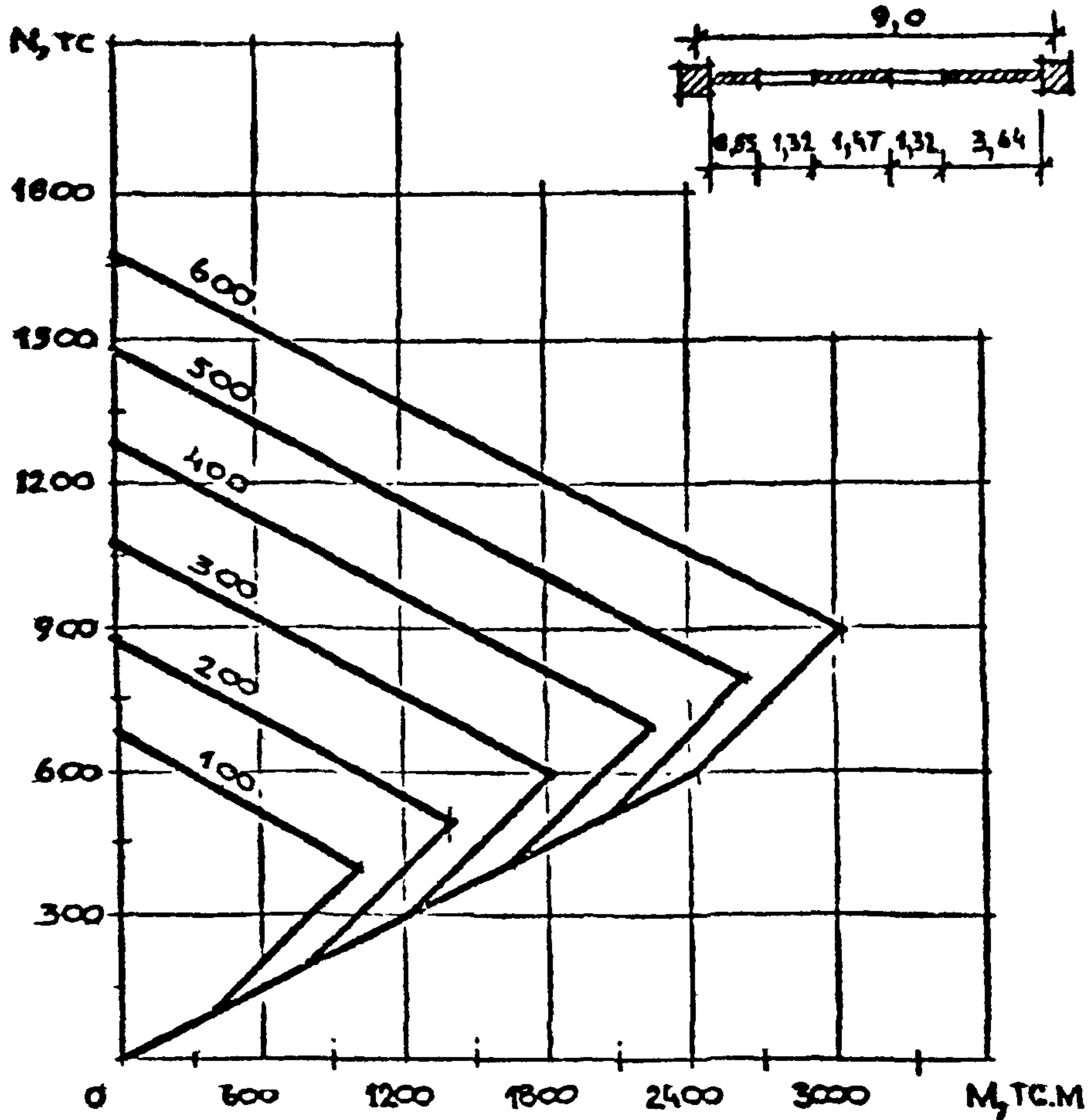


Прочность колонны, тс	$N_a$ , тс	$N_s$ , тс	$M_b$ , тс·м	$N_c$ , тс	$M_c$ , тс·м
100	676	285	1002	100	493
200	876	385	1495	200	987
300	1076	485	1989	300	1481
400	1276	585	2483	400	1974
500	1476	685	2976	500	2468
600	1676	785	3470	600	2962

$\beta \times 32826 \pm 58$

4.020-1/87. 0-3-03П3

ЛЖТ  
34

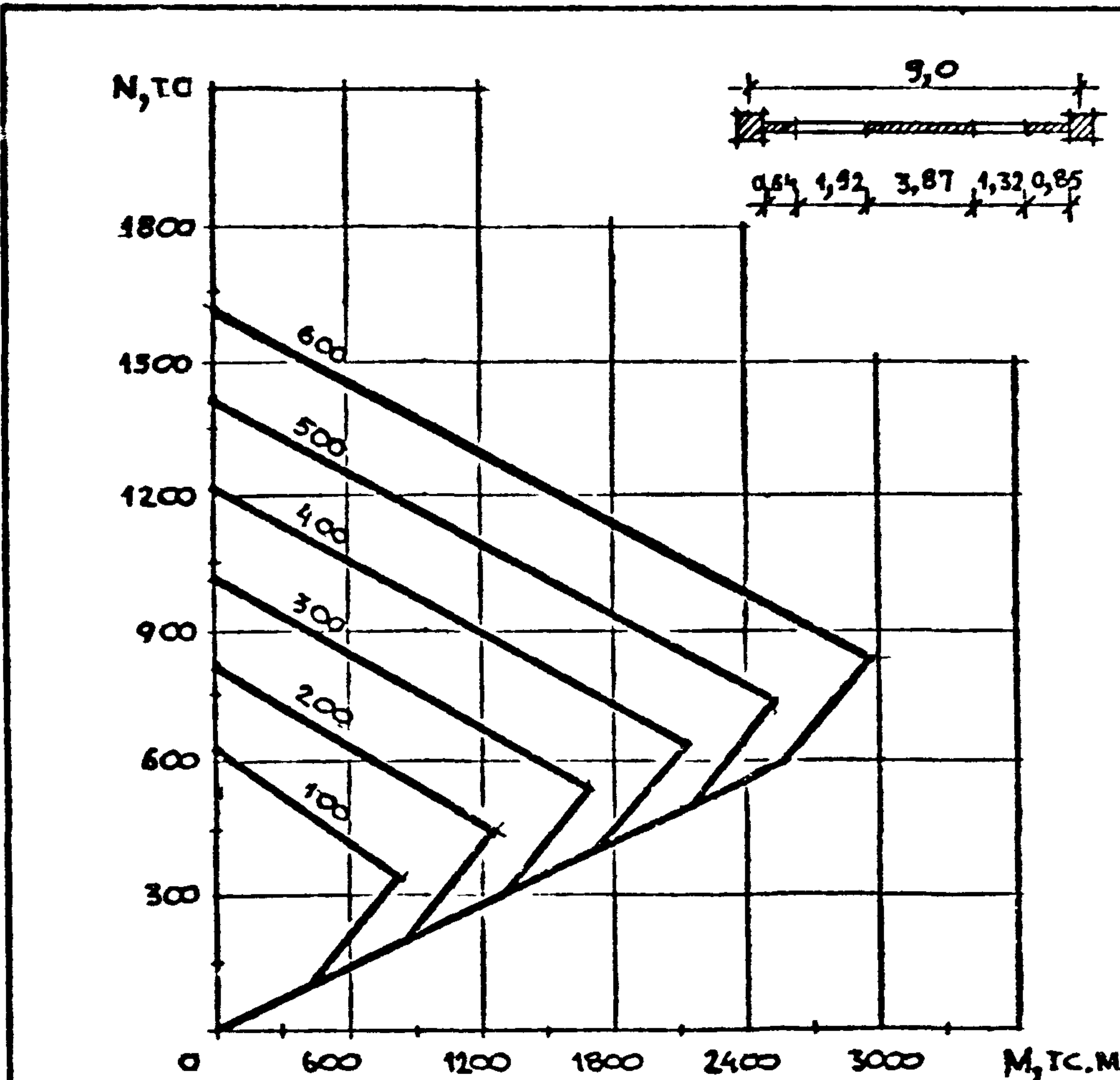


Прочность колонны, тс	$N_a$ , тс	$N_b$ , тс	$M_b$ , тс.м	$N_c$ , тс	$M_c$ , тс.м
100	676	391	1001	100	406
200	876	491	1407	200	812
300	1076	591	1814	300	1218
400	1276	691	2220	400	1625
500	1476	791	2626	500	2031
600	1676	891	3033	600	2437

Бх. 32826 л. 59

4020-1|87. 0-3-05П3

Лист  
35



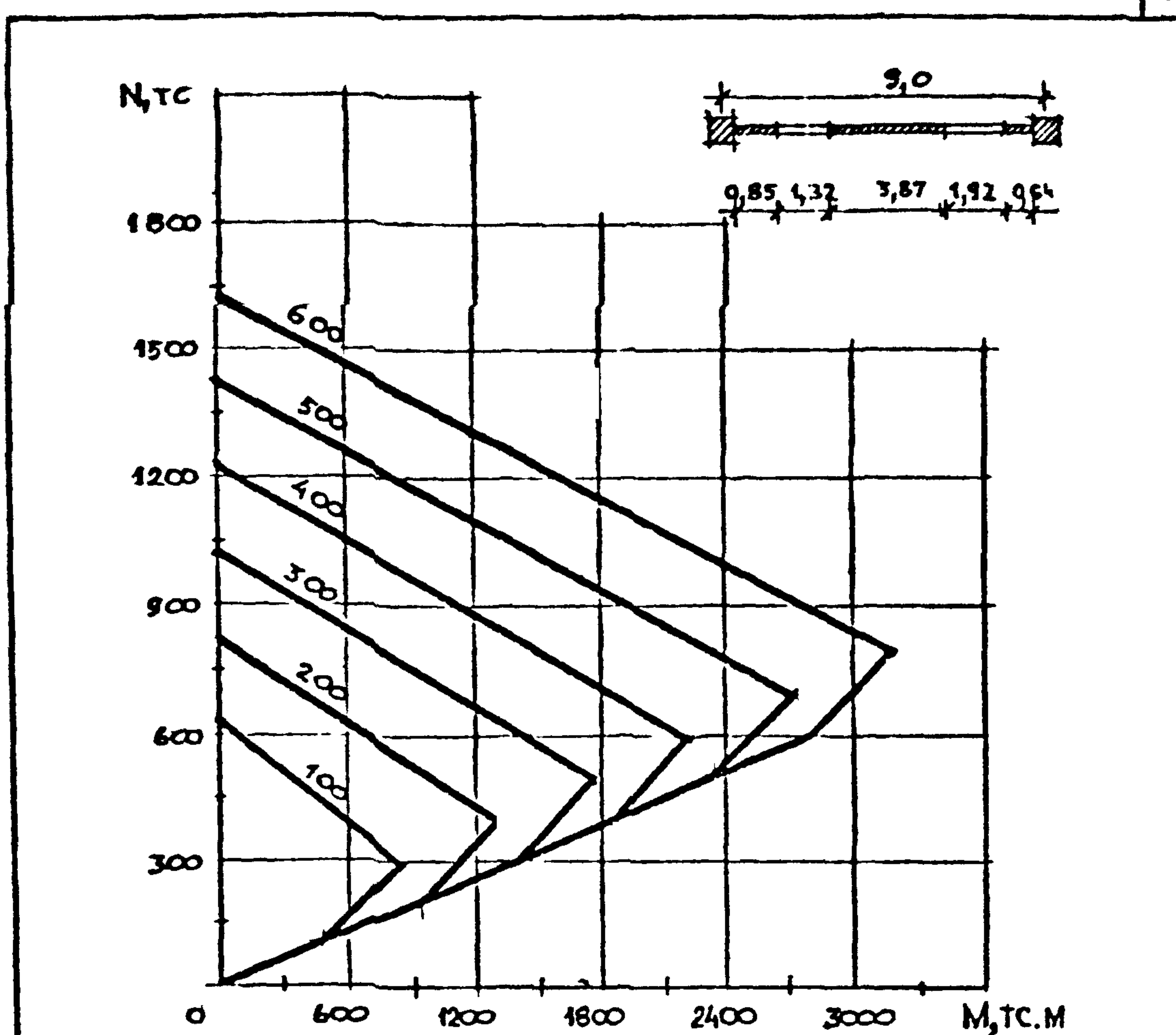
Прочность колонн, тс	$N_a$ тс	$N_b$ тс	$M_b$ тсм	$N_c$ тс	$M_c$ тсм
100	628	338	830	100	430
200	828	438	1260	200	861
300	1028	538	1691	300	1292
400	1228	638	2122	400	1723
500	1428	738	2553	500	2154
600	1628	838	2984	600	2585

$\beta_x = 32826 \text{ л.60}$

1.020-1/87. 0-3-05ПЗ

Лист 35

60



Прочность колонны , тс	$N_a$ тс	$N_b$ тс	$M_b$ тс·м	$N_c$ тс	$M_c$ тс·м
100	628	290	830	100	469
200	828	390	1299	200	938
300	1028	490	1768	300	1407
400	1228	590	2238	400	1876
500	1428	690	2707	500	2345
600	1628	790	3176	600	2814

$\beta_{x, 32826} \text{ л. 61}$

1.020-4187. 0-3-05 ПЗ

37

## 6. РАСЧЕТ ДИСКОВ ПЕРЕКРЫТИЙ.

6.1. Диски перекрытий можно не рассчитывать, если значения опорных реакций  $R_i$ , передаваемые диском на диафрагму жесткости, не превышают 5,5 тс при наличии проемов в дисках, расположенных в двух ближайших к диафрагме модулях (рис. I4), или 7,0 тс, если вблизи диафрагмы проемы отсутствуют.

6.2. Опорные реакции  $R_i$ , передаваемые диском на диафрагму жесткости, равны разности поперечных сил в диафрагме выше и ниже данного диска (см. рис. I5):

$$R_{ix} = Q_{i,k-1} - Q_{ik}$$

где  $i$  – номер диафрагмы;  $k$  – номер диска.

Значение поперечных сил определяется в результате статического расчета здания.

6.3. В случае, когда в конкретном проекте не сообщаются условия, указанные в п. 6.1, необходимо производить расчет дисков перекрытий и проверку прочности конструктивных элементов и узлов их крепления.

Усилия в конструктивных элементах и узлах определяются статическим расчетом дисков перекрытий на совместное действие нагрузок и опорных реакций. Расчетные модели должны при этом достаточно точно отражать его конструктивные особенности. Допускается использовать расчетную модель диска в виде многопоясной фермы, в которой пояса имитируют работу плит-распорок и связей между ними, стойки – работу ригелей и соответствующих связей, раскосы – работу плит перекрытий, заполняющих ячейку диска.

Бх. 32826 л. 62

нач.д	пол.д			1.020-1/87. 0-3-0679
н.комп	случин			
гл.конст	шан	1/102		
гл.макл	шановин	15/104		
г.и.п	соловьев	нас		
провер	никанорова	7/104		
разраб	савранович	10/104		
			РАСЧЕТ ДИСКОВ ПЕРЕКРЫТИЯ	стаканы лист листов • 1 3 титрово- выставки здания и таблицы изометричес
				ШИИЛЭП

ФОРМАТ А4

Расчет такой формы может быть выполнен с помощью программы ДИСК, которая позволяет моделировать работу элементов дисков перекрытий по билинейной упруго-пластической диаграмме.

Программа ДИСК реализована на СМ ЭВМ в операционной системе ОС РВ.

Детальные указания по расчету дисков приведены в "Рекомендациях по расчету каркасно-панельных общественных зданий с применением ЭВМ". - М.: Стройиздат, 1986 г. и в инструкции к программе ДИСК.

**6.4. Допустимые усилия в элементах диска определяют следующие значения несущих способностей соединений:**

- прочность на растяжение узлов крепления пристенных плит в торцевых рядах - 5 тс, в средних - 8 тс;
- прочность на растяжение узлов крепления связевых плит в торцевых и средних рядах - 6 тс (по 3 тс на каждую связь);
- прочность на растяжение узла крепления ригелей к консолям колонн - 8 тс для торцевых ригелей и 5 тс - для средних ригелей.

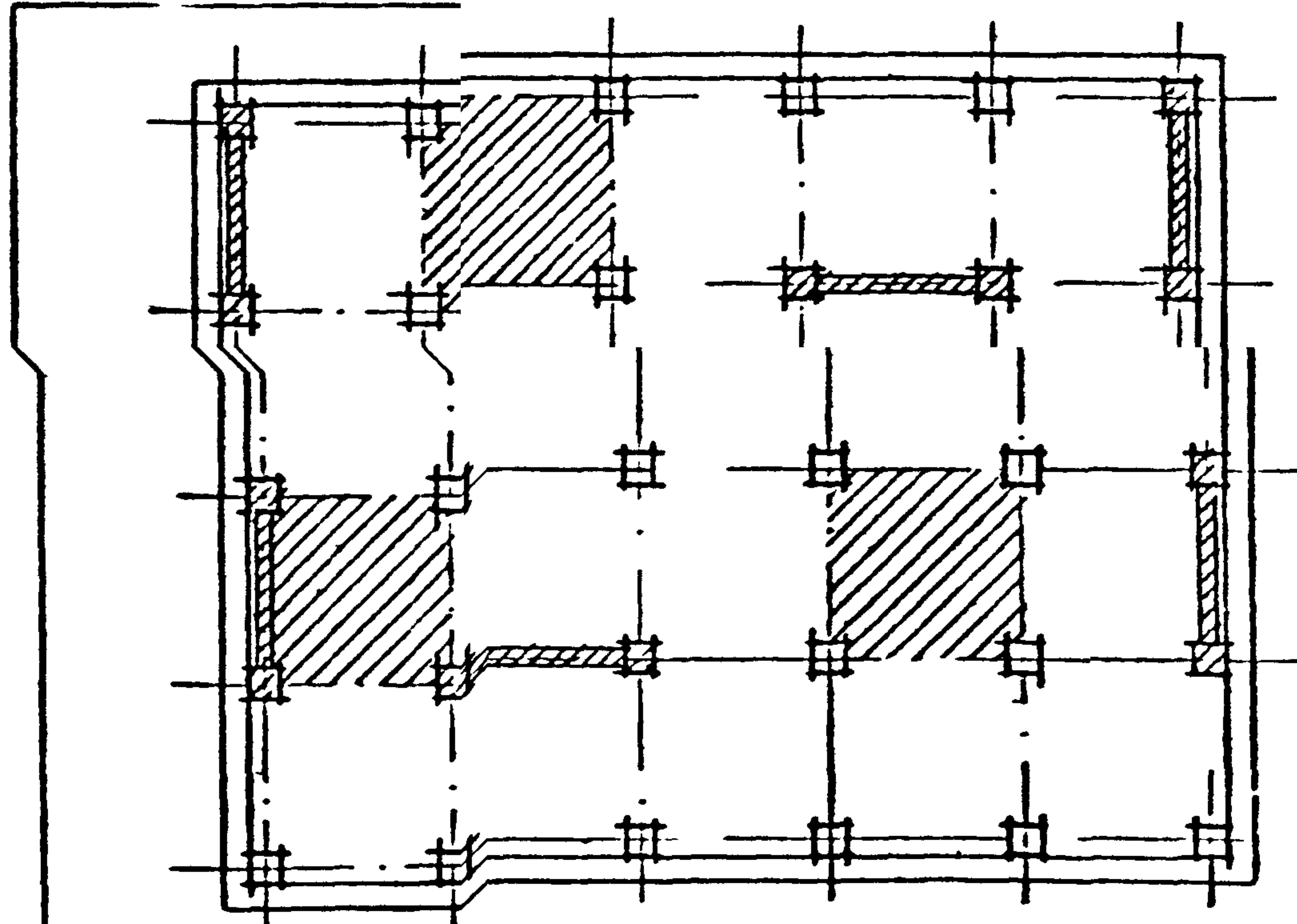
№ п/п	ПОДЛИНСКАЯ И ВАЛЕНТЬЕВА
ФИО	
ФИО	

Бх. 32826 л 63

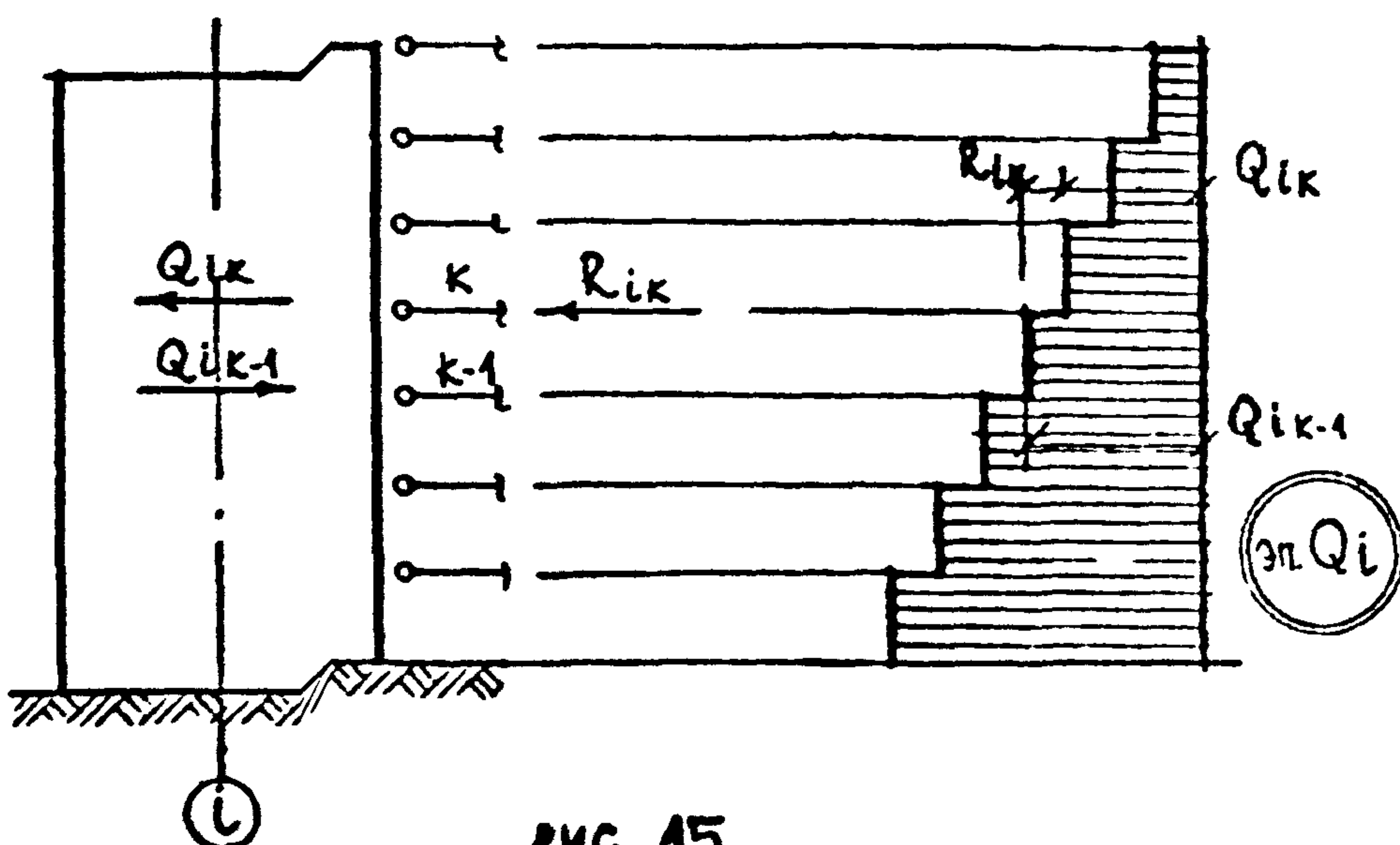
1.020-1/87. 0-3-0603

лист
2

63



РНС. 14



РНС. 15

ВОДА ПОЛИСИИ И ДЛЯ ВЗАИМ. ИСПОЛЬ

УЧЕБНИК

Бх.32826 л.64

4.020-1|87. 0-3-06П3

ГАНСТ

3

## 7. АВТОМАТИЗИРОВАННЫЙ МЕТОД РАСЧЕТА ЖЕЛЕЗОБЕТОННЫХ СТЕРЖНЕВЫХ СИСТЕМ.

7.1. В теоретическом плане проблема проектирования конструктивных вариантов, перечисленных в п. I.9 настоящих "Указаний", сводится к задаче расчета ортогональных стержневых систем, для решения которой в ЦНИИЭП торгово-бытовых зданий и туристских комплексов разработаны методы, алгоритмы и программы, учитывающие физическую нелинейность железобетонных конструкций, их стыков, податливость оснований и деформированную схему сооружения при действии на несущую систему вертикальных и горизонтальных нагрузок, а также температурных деформаций.

7.2. В основу алгоритма положен итерационный процесс, в котором чередуются этапы статического расчета системы при фиксированных значениях жесткостей с этапами их уточнения по найденным на предыдущей итерации усилиям и деформациям.

Статический расчет осуществляется методом перемещений. Расчетная модель принята в виде плоского ансамбля стержневых конечных элементов различных типов (в том числе гибкого стержня с переменной по длине жесткостью) и нелинейно деформируемых сосредоточенных связей.

Изменение жесткостей конструкций оценивается с помощью зависимостей момент-кривизна, которые для изгибаемых и внеклентренно скатых железобетонных элементов рассчитываются на основе полных диаграмм скатия-растяжения бетона, включаяших нисходящую ветвь, и реальных диаграмм арматурных сталей. Дискретная модель нормального сечения позволяет рассчитывать конструкции из тяжелого и легкого бетонов, в

$\beta \times 32826 \text{ л} 65$

подпись и дата	И.020-1/87. 0-3-0713	стася	лист	листов
НАЧОПОЛ. ЕВДОКСИИ НИЧЧО СЛИВИНА		P	1	2
ГЛКОЧСТ. ШАШ ГАРАУЧС. ПАНЬЩИН				
ГИП КОДАШЕВА ГРССР КИГОНОВОВА				
РАЗРАБ СИМОНОВ				
	АВТОМАТИЗИРОВАННЫЙ МЕТОД РАСЧЕТА ЖЕЛЕЗОБЕТОННЫХ СТЕРЖНЕВЫХ СИСТЕМ РАДА7	ЦНИИЭП		
				торгово- бытовых зданий и туристских комплексов

том числе многослойные, с произвольным расположением арматуры любых классов.

7.3. Метод реализован в программе РОТОР, написанной на языке Фортран-77 для персональных ЭВМ и ЭВМ типа СМ-1420.

Сформленный в качестве самостоятельной программы модуль расчета диаграмм деформирования АРКАН может применяться автономно для анализа напряженно-деформированного состояния нормальных сечений железобетонных конструктивных элементов.

7.4. Программы РОТОР и АРКАН распространяются институтом по заявкам проектных организаций. Институт оказывает также методическую помощь при формировании расчетных схем здания, подготовке исходных данных и анализе результатов расчета.

Институт гражданской  
и промышленной  
строительства

Бx 32826 л 66

1.020-1/87.0-3-07П3

Лист  
2

ФОРМАТ А4

## 8. ОГРАНИЧЕНИЯ ТЕМПЕРАТУРНЫХ ДЕФОРМАЦИЙ

**8.1.** Дополнительные усилия, возникающие вследствие температурных климатических воздействий, необходимо определять расчетом и учитывать совместно с усилиями от нагрузок при оценке прочности конструкций.

**8.2.** Расчеты можно не выполнять, если габариты здания  $D$  и расстояния между диаграммами жесткости  $D_w$  (см. рис. I6) не превышают предельных значений, приведенных на рис. I7, I8 и определенных с использованием методов и программного обеспечения, характеристика которых дана в разделе 7 настоящих "Указаний". При этом учтены податливости соединений сборных диаграмм жесткости и дисков перекрытий, перемещения фундаментов на грунтовых основаниях, нелинейная работа колонн каркаса.

Расстояние  $C$  от края здания до оси ближайшей диаграммы (см. рис. I6) не должно превышать  $0,5 D$ .

Предельные значения расстояний между диаграммами вычислены в предположении, что рассматриваемый участок перекрытия ограничен одинаковыми сборными глухими диаграммами жесткости, указанными на графиках рис. I8. Если диаграммы не одинаковы и жесткость одной из них в два и более раза превышает жесткость другой, предельные значения расстояний по данным графика принимаются с коэффициентом 0,5, при промежуточных соотношениях жесткостей – по интерполяции. При этом подразумевается, что жесткость меньшей диаграммы эквивалентна конструктивному варианту, указанному на графике.

Бх. 32826 л.67

подпись и дата				I:020-I/87. 0-3-0513	
науч отд	ВОЛЬЧЕНКО			ограничения температурных деформаций раздел 8	
рукодр.	СЛИВИНА				стадия
рукодр.	ШАЦ				лист
рукодр.	ПАНЬШИН				листов
рукодр.	КОДАШЕВА				Р
рукодр.	НИКОНОРОВА				I
рукодр.	СИМСНОВ			4	

Допустимые геометрии зданий определены в Единых нормах, что конструкция колонн соответствует мостакам схемы по серии У.020-1/87, выпуск 0-I.

8.3. Ограничения, приведенные на графиках, соответствуют расчетным значениям узменной будущей температуры в течение 3 лет при  $\Delta t_w$ , определяемой по узконорме Н.Н.8.1-8.7 СНиП 2.02.07-85.

ПОДАЧА	ПОГРУЖЕНИЕ В ДАТА
—	—

Бх. 32826 л. б8

И.020-1/87. 0-3-0813

Лист  
2

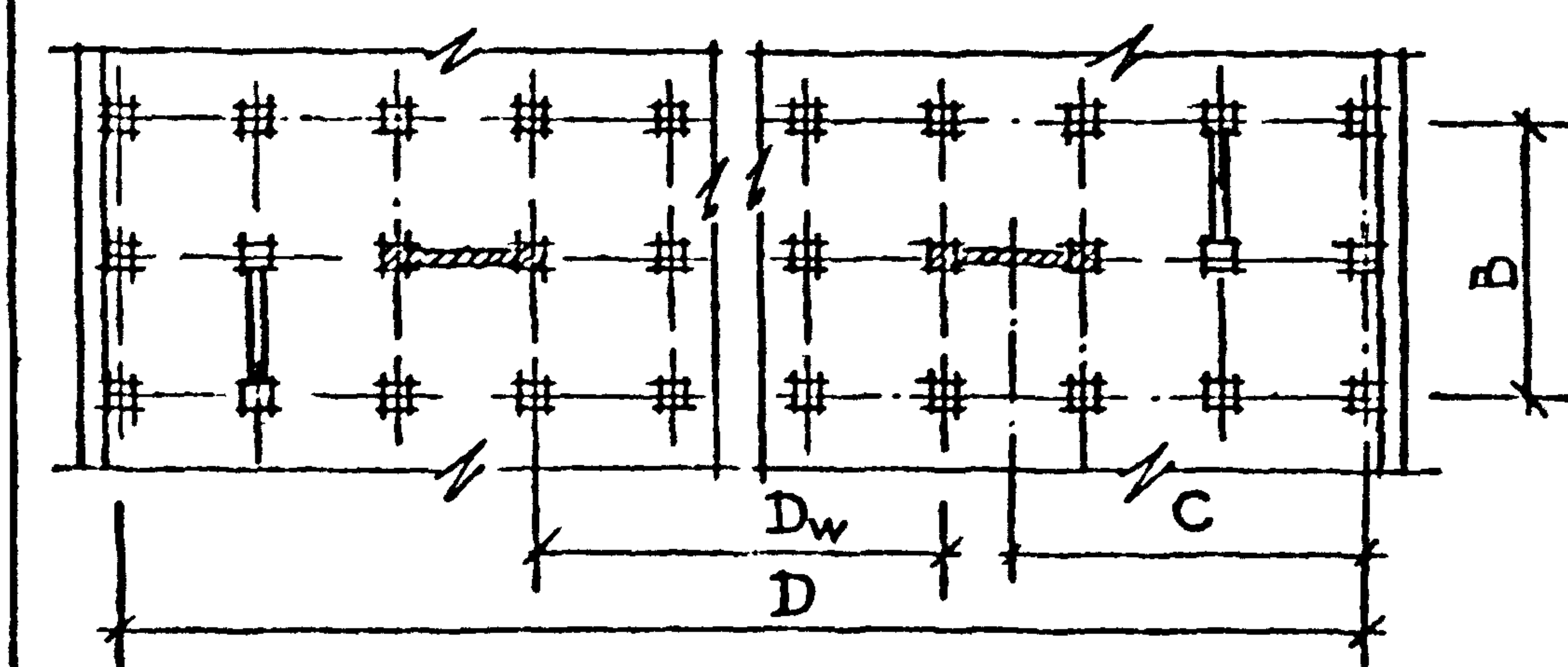


Рис. 16. ПРЕДЕЛЬНЫЕ ГАБАРИТЫ ЗДАНИЯ И РАССТОЯНИЯ МЕЖДУ БАКАФРАГМАМИ.

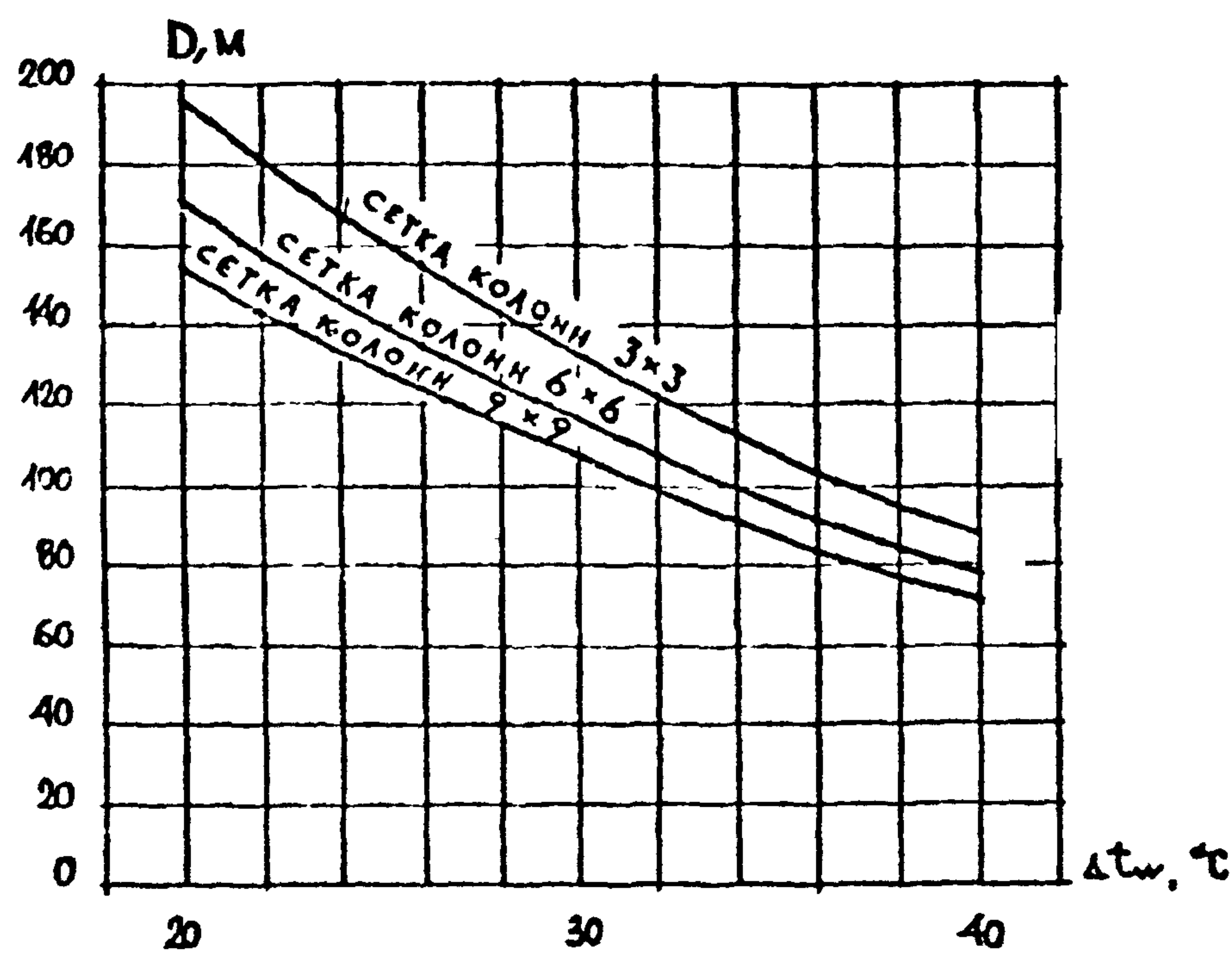


Рис. 17. ДОПУСТИМЫЕ ГАБАРИТЫ ЗДАНИЯ ПРИ РАЗЛИЧНОЙ СЕТКЕ КОЛОНН.

Вх. 32826 л 69

1.020-1/87. 0-3-08п3

лист

3

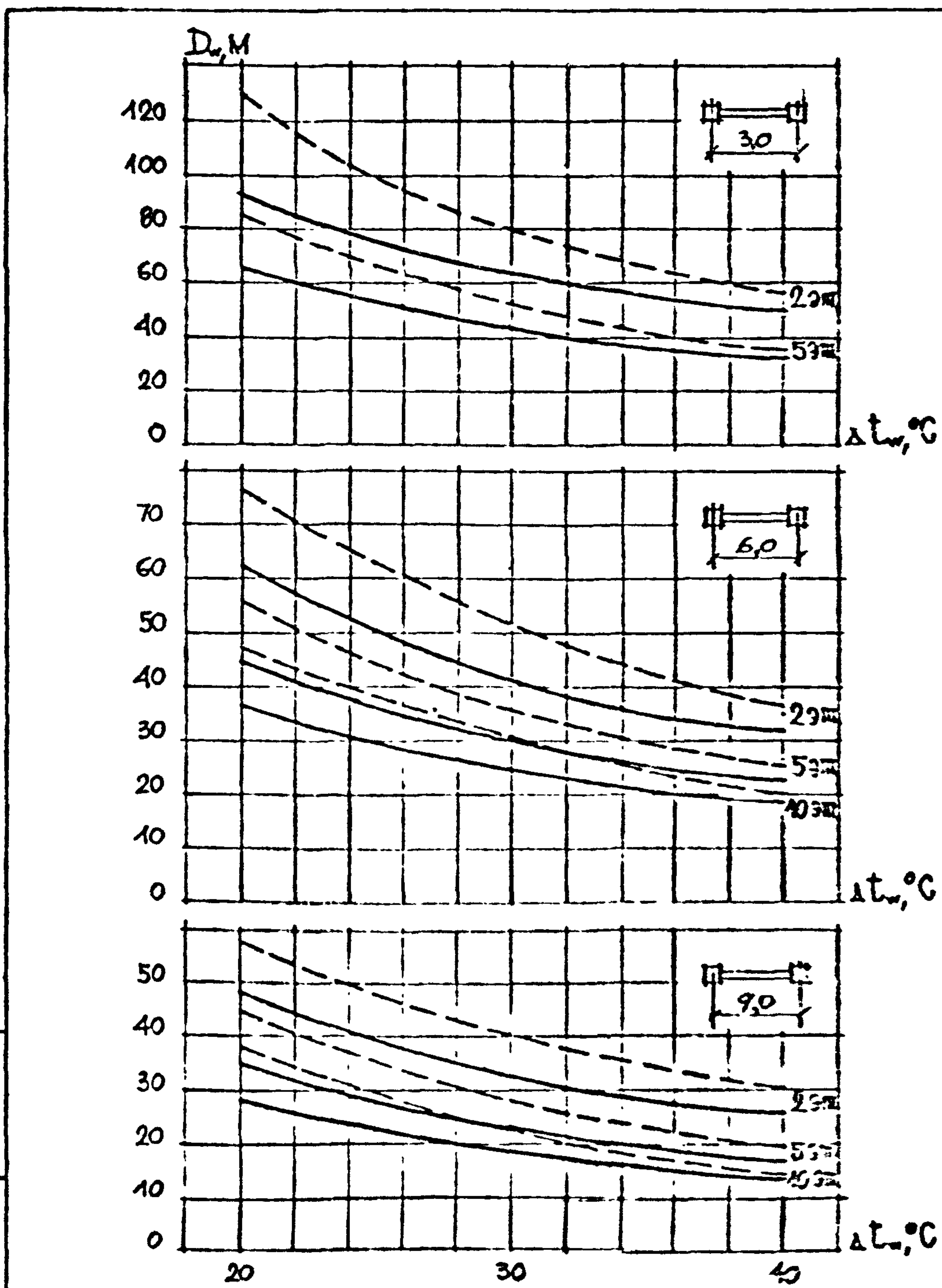


Рис. 18. ДОПУСТИМЫЕ РАССТОЯНИЯ МЕЖДУ  
ДИАФРАГМАМИ.  
--- ПРИ ШИРИНЕ ДИСКА  $E=12M$   
— ПРИ ШИРИНЕ ДИСКА  $E=24M$

Х-6 Н ПОДЛ. ПОЛНОСТЬЮ ЗАМ. Ж/В.Н.

Вх 32826 л. 70/70

1.020-1/87. 0-3-09ПЗ

4